

Азәрбајҹан ССР Елмләр Академијасы  
Академия наук Азербайджанской ССР

# ХӘБЭРДЭР ИЗВЕСТИЯ

БИОЛОКИЈА  
ЕЛМЛƏРИ  
БИОЛОГИЧЕСКИЕ  
НАУКИ

1

1985

## ПАМЯТКА ДЛЯ АВТОРА

### ОБЩИЕ ПРАВИЛА ОФОРМЛЕНИЯ НАУЧНЫХ СТАТЕЙ, ПОСТУПАЮЩИХ В РЕДКОЛЛЕГИЮ ЖУРНАЛА «ИЗВЕСТИЯ АКАДЕМИИ НАУК АЗЕРБАЙДЖАНСКОЙ ССР СЕРИЯ БИОЛОГИЧЕСКИХ НАУК»

Журнал принимает научные статьи, написанные на азербайджанском и русском языках.

1. Статья, напечатанная на машинке через два интервала на одной стороне стандартного листа при плотности печати не более 28 строк по 58—60 знаков в каждой строке. Объем экспериментальных итоговых работ не должен превышать 10 стр., в обзорных — не более 20 стр. включая таблицы, рисунки и список литературы;

— в начале статьи указывается УДК (слева);

— после фамилий авторов дается название статьи, ниже — название учреждения, где выполнена работа;

— экспериментальные статьи должны излагаться по следующему плану: а) аннотация; б) введение; в) материал и методика; г) результаты и обсуждение;

— при описании методики эксперимента с использованием животных необходимо указывать тип применявшегося обезболивания, способ эвтаназии, вид, линию и количество подопытных особей;

— иллюстрации (рисунки, фото) представляются в 1 экз. На обороте иллюстрации указываются мягким карандашом) фамилия и инициалы автора, сокращенное название статьи и порядковый номер, верх и низ иллюстрации (в случае необходимости); на отдельном листе список рисунков или иллюстраций с названиями (в 2-х экз.)

— цитированная литература приводится общим списком, где помещаются только упомянутые в тексте статьи авторов в алфавитном порядке. В начале списка необходимо привести литературу на азербайджанском или русском языке, а затем на иностранных языках. После порядкового номера (в тексте статьи он ставится в скобках независимо от последовательности цитирования) следует давать фамилию и инициалы авторов, для книг — полное название книги, место и год издания; для журнальных статей — полное название журнала, год издания, номер тома, номер выпуска, страницы;

— статья должна быть подписана всеми авторами. В конце статьи необходимо указать полностью фамилию, имя, отчество авторов, домашний и служебный адреса, телефоны.

2. Титул на азербайджанском языке (если статья излагается на русском) или на русском языке (если статья излагается на азербайджанском) — в 2-х экз., на отдельных листках.

3. Резюме на английском языке — в 2-х экз., на отдельных листках.

4. К статье и краткому сообщению необходимо приложить реферат на русском (в 2-х экз., не более 1000 знаков), оформленный следующим образом: УДК, раздел биологии, инициалы и фамилия авторов, название журнала. В конце реферата следует указать количество таблиц, рисунков, библиографии. После реферата слева в скобках нужно указать научное учреждение, в котором выполнена работа. Реферат должен быть подписан автором(ами).

5. Акт экспертизы и авторская справка — в 1 экз.

6. Решение Ученого совета организации о рекомендации статьи к опубликованию.

7. Направление научного учреждения с описью прилагаемых документов.

Сдано в набор 24. 12. 84. Подписано к печати 21. 02. 85 г.

ФГ 02591. Формат бумаги 70×100<sup>1/16</sup>. Бумага типографская № 1.

Гарнитура шрифта литературная. Печать высокая. Усл. печ. лист 9,75.

Усл. кр.-отт. 9,75. Уч. изд. лист 8,27. Тираж 550. Заказ 736. Цена 1 руб. 20 коп.

Издательство «Элм».

370143 Баку-143, проспект Нариманова, 31, Академгородок,

Главное здание

Типография АН Азербайджанской ССР.

Баку, проспект Нариманова, 31.

АЗЭРБАЙЧАН ССР ЕЛМЛЭР АКАДЕМИЈАСЫНЫН

# Х Э Б Э Р Л Э Р И

# И З В Е С Т И Я

АКАДЕМИИ НАУК АЗЕРБАЙДЖАНСКОЙ ССР

БИОЛОКИЈА ЕЛМЛЭРИ СЕРИЈАСЫ



СЕРИЯ БИОЛОГИЧЕСКИХ НАУК

№ 1

1985

«ЕЛМ» НӘШРИЙЛАТЫ-ИЗДАТЕЛЬСТВО «ЭЛМ»

БАКЫ-БАКУ

УДК 581.131.1:581.193

А. А. МАРДАНОВ, Н. Б. ВЕЗИРОВА

## РАСПРЕДЕЛЕНИЕ КАЛИЯ И КАЛЬЦИЯ В РАСТЕНИИ ТЫКВЫ В ЗАВИСИМОСТИ ОТ УСЛОВИЙ АЗОТНОГО ПИТАНИЯ

Институт ботаники АН Азербайджанской ССР

С прорастанием семян тыквы наблюдается перемещение К и Са из семядолей в корни, обусловливаемое интенсивным ростом корней. Дальнейшее выращивание растений в течение 5, 10 и 15 дней в питательной среде без азота приводит к снижению как концентрации, так и общего количества калия и кальция. На этом фоне общее количество и концентрация калия в корнях азотдефицитных растений заметно повышается, а концентрация кальция снижается. Общее количество Са в корнях азотдефицитных растений значительно превышает его содержание в корнях азотобеспеченных растений. В результате этих качественных изменений отношение содержания калия и кальция в корнях к их содержанию в побегах у азотдефицитных растений по сравнению с азотобеспеченными заметно повышается.

Следовательно, в системе целого азотдефицитного растения корни по сравнению с побегами имеют явное преимущество в отношении обеспечения их калием и кальцием.

Анализ литературных и собственных экспериментальных материалов [1, 2] выявил в ростовой реакции корней азотдефицитных растений 3 фазы: подъема, перехода и спада. Для всех этих фаз характерно повышение величины отношения массы корней к массе побегов. Следовательно, у азотдефицитных растений корни по сравнению с побегами находятся в привилегированном положении в отношении роста и накопления биомассы. Нами уже показано, что такое привилегированное положение корней в системе азотдефицитного растения обеспечивается мобилизацией азота и фосфора в первую очередь для удовлетворения потребностей корней и сохранением относительно нормального соотношения между этими элементами [3].

Как известно, анионы азота и фосфора легко передвигаются внутри организма и, входя в состав белков и нуклеиновых кислот, играют непосредственную роль в процессах роста. Встает вопрос сохранения этой закономерности и в отношении распределения катионов: легко-подвижного калия и трудноподвижного кальция?

Методика проведения опытов подробно изложена в предыдущей работе [3]. В растворе золы содержание калия и кальция определяли на пламенном дотометре.

В первую очередь определено относительное и абсолютное содержание калия и кальция в различных органах семян и проростков тыквы (*Cucurbita* L. сорт Перехватка).

Результаты анализов показывают, что с прорастанием семени общее содержание калия и кальция в проростках по сравнению с исходным заметно уменьшается (табл. 1), что происходит за счет уменьшения содержания этих элементов в семядолях. В корнях же содержание К и Са увеличивается в 3 раза. Следовательно, с самого начала прорастания семян происходит усиленная переброска К и Са из семядолей в корни. На наш взгляд, это связано с интенсификацией накопле-

РЕДАКЦИОННАЯ КОЛЛЕГИЯ: Дж. А. Алиев (главный редактор),  
В. Р. Волобуев, У. К. Алекперов, Г. Г. Гасанов (зам. гл. редактора), Н. А. Касумов,  
М. А. Мамедъяров, М. А. Мусаев, И. Д. Мустафаев (зам. гл. редактора),  
М. Салаев, А. Н. Самедов (ответственный секретарь).

© Издательство «Элм», 1985 г.

Таблица 1

Содержание калия и кальция в различных органах семян и проростков

Орган	Абсолютно сухая биомасса, мг	Мг/г абсолютной массы		Кальций	Кальций	Мг/растение
		калий	кальций			
Исходные семена— семядоли	121,0±2,15	4,3±0,09	4,2±0,10	0,520	0,508	
Исходные семена— зародыш	1,9±0,06 122,9	4,2±0,11 4,3±0,12	3,1±0,09 4,2±0,04	0,008 0,528	0,006 0,514	
Целое семя						
Исходные проростки— побеги	89,7±2,34	2,5±0,08	3,9±0,06	0,224	0,350	
Исходные проростки— корни	6,2±0,41 95,2	3,9±0,03 2,6±0,03	3,3±0,02 3,8±0,03	0,024 0,248	0,020 0,370	
Целый проросток						

Таблица 2

Содержание калия в органах растений тыквы, выращенных в ППС и ПС-Н в зависимости от продолжительности засухного голодания (дни)

Орган и часть растения	5			10			15		
	ППС	ПС-Н	ППС	ППС	ПС-Н	ППС	ППС	ПС-Н	ПС-Н
Листья семядольные	49,3±0,28	21,8±0,12	38,5±0,11	36,0±0,11	31,8±0,13	29,2±0,09	27,7±0,07		
Листья настоящие	45,0±0,19	20,8±0,09	54,3±0,15	43,5±0,12	43,5±0,12	35,0±0,12	33,7±0,10		
Стебель	82,3±0,31	92,2±0,12	67,1±0,17	46,0±0,15	46,0±0,15	46,0±0,15	40,0±0,08		
Корни, базальные, часть	96,6±0,28	88,1±0,21	68,7±0,13	95,5±0,24	58,7±0,13	68,2±0,10			
Корни, апикальные, часть	64,0±0,17	71,7±0,14	65,6±0,17	71,7±0,21	61,7±0,19	70,6±0,12			
Корни, остаток*	77,0±0,12	79,7±0,15	65,1±0,12	75,7±0,12	60,3±0,18	73,3±0,15			
							мг/растение		
Листья семядольные	4,575	1,495	4,116	4,520					
Листья настоящие	0,283	0,118	12,717	2,045					
Стебель	1,671	1,530	3,073	1,766					
Корни, базальные, часть	0,135	0,070	0,096	0,057					
Корни, апикальные, часть	0,090	0,122	0,118	0,165					
Корни, остаток*	1,617	2,279	2,604	3,459					

\* В образец «корни, остаток» входит остатки корней после удаления их апикальной (0—1 см) и базальной (1—5 см) частей, т. е. оставшиеся части корневой системы с недоразвитыми боковыми корнями второго порядка.

Таблица 3

Содержание кальция в органах растений тыквы, выращенных в ППС и ПС-Н, в зависимости от продолжительности азотного голодания

Орган и часть растения	5		10		15	
	ППС	ПС-Н	ППС	ПС-Н	ППС	ПС-Н
мг/г абсолютное сухой массы						
Листья семядольные	16,7±0,11	72,2±0,12	33,1±0,12	66,0±0,15	27,7±0,14	22,5±0,09
Листья настоящие	7,0±0,09	39,7±0,15	22,5±0,10	33,5±0,13	14,5±0,09	16,7±0,11
Стебель	11,3±0,08	40,1±0,12	14,5±0,12	37,6±0,12	15,6±0,11	8,9±0,07
Корни, базальный, часть	4,2±0,02	36,5±0,12	7,8±0,12	9,2±0,08	22,7±0,09	17,7±0,08
Корни, апикальный, часть	2,5±0,02	17,2±0,10	10,3±0,04	28,5±0,10		
Корни, остаток	7,3±0,05	17,5±0,05				
мг/растение						
Листья семядольные	1,146	7,718	2,317			
Листья настоящие	0,040	9,298	1,447			
Стебель	0,187	1,837	0,589			
Корни, базальный, часть	0,028	0,003	0,005			
Корни, апикальный, часть	0,011	0,004	0,021			
Корни, остаток	0,262	0,209	0,700	0,471		

ния последними биомассы, что происходит на фоне почти постоянной концентрации К и Са в корнях.

У растений, выращенных в питательной смеси без азота, с самого начала азотного голодания средняя концентрация калия в целом растении снижается (табл. 2). В начале азотного голодания (через 5 дней после исключения азота из среды) это снижение отмечается в семядольных листьях, а затем (за 10 и 15 дней голодания) и в стебле. В корнях же концентрация калия при этом (за исключением базальной части корней 5-дневных азотдефицитных растений) всегда повышается. Следовательно, корни азотдефицитных растений лучше обеспечиваются калием не только в сравнении с собственными побегами, но и по сравнению с корнями азотобеспеченных растений. Отношение концентрации калия в корнях к концентрации калия в побегах у азотдефицитных растений значительно выше, чем у азотобеспеченных растений (2,301 против 1,286).

Эта закономерность сохраняется и в распределении общего количества калия (мг/растение). В корнях азотдефицитных растений, особенно в их апикальной — растущей зоне, общее содержание калия заметно превышает его содержание в аналогичных участках корней азотобеспеченных растений. Таким образом, в отношении обеспеченности калием корни в системе целого азотдефицитного растения имеют явную привилегию.

Что же касается кальция, что в результате азотного голодания как концентрация, так и общее его содержание во всех органах во все сроки определения явно уменьшается (табл. 3). При азотном голодании

Таблица 4

Баланс калия и кальция (мг/растение) в растениях тыквы, выращенных в ППС и ПС-Н в зависимости от продолжительности азотного голодания

Орган	Прирост, мг/растение			
	за 5 дней		за 10 дней	
	ППС	ПС-Н	ППС	ПС-Н
Калий				
Побеги	6,305	2,919	19,682	6,107
Корни	1,818	2,444	2,794	3,657
Целое растение	8,123	5,366	22,476	9,764
Кальций				
Побеги	2,695	1,023	18,503	4,003
Корни	0,281	0,196	0,762	0,477
Целое растение	2,976	1,219	19,265	4,480

растений концентрация кальция в корнях снижается даже несколько больше, чем в побегах. В результате отношение концентрации кальция в корнях к его концентрации в побегах снижается (0,457 против 0,486), в то время как отношение общего содержания (мг/растение) кальция в корнях к его общему содержанию в побегах у азотдефицитных растений значительно выше, чем у азотобеспеченных (0,157 против 0,099 и 0,114 против 0,041). Следовательно, снижение концентра-

ции кальция должно объясняться высокой интенсивностью его использования в ростовых процессах. Из приведенного, таким образом, следует, что и в отношении обеспечения кальцием корней азотдефицитных растений имеют явное преимущество перед их побегами.

Из балансового расчета (табл. 4) видно, что прирост количества калия и кальция у азотдефицитных растений отстает от азотобеспеченных растений. Однако в случае калия отставание прироста наблюдается только в побегах. В корнях же, наоборот, за период азотного голодаания прирост количества калия в корнях азотдефицитных растений явно преобладает над приростом калия в корнях азотобеспеченных растений.

Прирост количества кальция и в побегах, и в корнях азотдефицитных растений отстает от прироста азотобеспеченных растений. Это отставание резче в побегах, чем в корнях.

Таким образом, в системе целого азотдефицитного растения корни по сравнению с побегами имеют явную привилегию в отношении обеспечения калием и кальцием.

#### Литература

- Марданов А. А. Взаимоотношение корней и побегов растений, выращенных в различных условиях азотного питания, и роль цитокининов в этом процессе. Рукопись депонирована в ВИНИТИ 1. 12. 83 № 6473—83 Деп.
- Марданов А. А. Накопление биомассы корнями и побегами растений в зависимости от условий азотного питания. — Изв. АН Азерб. ССР, серия биол. 1984, № 5.
- Марданов А. А., Вазирова Н. Б. Распределение азота, фосфора и рост растений тыквы в зависимости от условий азотного питания. Изв. АН Азерб. ССР, серия биол. 1984, № 6.

Э. Э. Марданов, Н. Б. Вазирова

#### АЗОТЛА ГИДАЛАНМА ШӘРАИТИНДӘН АСЫЛЫ ОЛАРАГ БАЛГАБАГ БИТКИСИНДӘ КАЛИУМ ВӘ КАЛСИУМУН ПАЙЛАНМАСЫ

Мәраладә көстәрлиләр ки, тәркибиндә азот олмајан гида мәһлүлүнди 5, 10, 15 күн бечәрилмеш балгабаг биткىләринин кекләри онларын јерүстү ниссәләринә нисбәтән калиум вә еләчә дә калсиумда даңа жаҳшы тә'мин олунурлар.

АЗӘРБАЙЧАН ССР ЕЛМЛӘР АКАДЕМИЯСЫНЫН ХӘБӘРЛӘРИ

Биология елмләри сериясы, 1985, № 1

ИЗВЕСТИЯ АКАДЕМИИ НАУК АЗЕРБАЙДЖАНСКОЙ ССР

Серия биологических наук, 1985, № 1

УДК 577.1: 551. 455:581.524.44

А. И. МАИЛОВ, В. В. ҮӘТӘМОВ, З. А. ГАФАРОВА, С. І. МӘММӘДОВ

#### ГОБУСТАНЫН ШИЈАВЛЫГ ФИТОСЕНОЗУНУН ҮЗВИ КҮТЛӘСИНИН, АЗОТУН, КҮЛ ЕЛЕМЕНТЛӘРИНИН КИЧИК БИОЛОЖИ ДӘВРАНЫ ВӘ ЈЕРҮСТҮ КҮТЛӘДӘ ЕНЕРЖИНИН МИГДАРЫ

Азәрб. ССР ЕА ботаника Институту

Тәбиэтдә битки илә торпаг арасындакы эн мүһүм әлагә кичик биологи дәвран васитәсилә јараныр. Ил әрзиндә биткинин јерүстү вә јералты күтләсинин гурујуб төкүлән вә өлмүш ниссәләри торпага гарышараг чүрүнүүжүйе кечир вә торпагамаләкәлә просесиндә иштирак едир.

Мә'лүмдүр ки, биокеосенозларды даңа дәриндән өјрәнмәдән торпаг типләринин эмәлә қәлмәсими, биткиликләрдән сәмәрәли истифадә едилмәсими вә тәбии јем еңтијатларынын мәһсүлдарлығынын артырылмасыны тә'мин едә биләчәк эмәли тәдбиirlәри ишләјиб назырламаг мүмкүн дејилдир. Битки илә торпаг арасында баш верән мүбадилә биологи дәвранын бир тисклини тәшкىл едир. Бу мәсәләнин өјрәнилмәси торпагын эмәләкәлә просесиндә биткиләриңиң чох бөյүк рол ојнадыгыны гијматләндирмәј имкан верир. Торпагларын мүнбитетлијини даңа да артыраг вә биткиләриңи гидасыны зәнкүнләштирмәк мәгсәдилә елми әсаслара истинарад едән практики тәклифләр назырламаг учун кичик биологи дәвранын әсас ганунаујгуулугларыны өјрәнмәк олдугча вачиб бир мәсәләдир.

Гобустанын 800 мин һектара жаҳын олан саһәсинин тәхминән дәрдда бир ниссәсими бозгыр биткилиji типи өртур. Чәнуб-гәрбдә Хәзәр дәниси саһилиндәкі гумлу тәпәләрдә дәнис сәвијјәсендән 20 м јүксәкликтән башлајараг әразинин шимал-гәрб тәрәфиндә 1100 м јүксәклијә гәдәр бу тип битки фитосенозларына тәсадүф олунур. Бутун әрази бою исә жарымсәhra биткилиji фонунда ләкәләр шәклиндә раст қалән бу фитосенозлар шимал-гәрб тәрәфдә бирләшәрәк кениш массивләр эмәлә кәтирир. Лакин бу тәбии јем саһәләриндән дайы сәмәрәсиз истифадә иәтичесинде мәһсүлдарлыг эксәр саһәләрдә олдугча ашағы (5—10 сент/га) душмушшдүр. Буна көрә дә бу саһәләрин мәһсүлдарлығыны вә јем дәјәрлилијинү артыраг биокеосенозларды даңа дәриндән өјрәнмәдән мүмкүн дејилдир. Бу мәгсәдлә дә, биз бичәнәк кими истифадә едилән, демәк олар ки, монодоминант шијавлыг (доминанты Лессинг Stipa lessingiana L. фитосенозунда илк дәфә олараг үзви күтләнин, онун енержисинин вә онуна бирликдә азотун вә күл елементләринин гыса биологи дәвраныны өјрәнмәји гарыша мәгсәд гојмушуг.

Тәдигат Гобустанын шимал-гәрбиндә (Шамахы—Мәрәзә—Алтыагач массивиндә), дәнис сәвијјәсендән 700 м јүксәкликтә эн кениш јајылмыш Лессинг шијавлыг фитосенозунда апарылышыдый. Јерүстү күтлә В. М. Понјатовскијә [3], јералты күтлә М. С. Шалыта [5], јералты күтләнин галығы исә Л. Е. Родин вә башгаларына [4] көрә тә'јин едилмишdir. Јерүстү вә јералты фитокүтләдә азот—Келдал үсулу илә, фосфор—калори-

метрик, калиум, калсиум, натриум вә магнезиум исә аловлу фотометр— «Флафакол»-ла Қалужски методу илә өјрәнилмишdir. Јерүстү күтләнин енержиси (калорилии) исә јемин кимjәви тәркибинә әсасән несабланышды.

Шијавлыг фитосенозу, сасаң, тәпәләрин үстүндә, онларын шимал вә шимал-гәрәб јамачларындакы түнд шабалыды вә бә'зән дә гараторпагларда јаялмышды. Тәдгиг олунан фитосенозда, әсасән, Лессинг шијавы доминантлыг едир. Бә'зән бу битки груплашмаларынын тәркибиндә шович шијавы (*Stipa szovitsianz*), чох надир һалларда исә түкүлү шијав (*S. capillata*) иштирак едир. Боллугларына көрә бу фитосенозда тахылоттулар, бә'зи саһәләрдә исә мұхтәлифоттулар үстүнлүк тәшкіл едир. Она көрә дә бурада, әсасән, мұхтәлифотту—тахылоттулуг (шијавлыг), яхуд тахылотту (шијавлы)—мұхтәлифоттулуг фитосенозларына раст кәлинir.

Полидоминант вә монодоминант шијавлыглар јаялан торпаглар түнд шабалыды вә ja гараторпаг типләри олуб, килли механики тәркибә ма-лиkdir. Бу фитосенозлар даشлы, яхуд даш субстрат үзәриндә 40—70 см-ә гәдәр галынлыгда олан торпаглар үзәриндә јаялыр. Бу фитосенозда көкүн әсас күтласи (76,8%) торпағын 0—20 см-ә гәдәр олан үст гатында јерләшишdir.

Монодоминант шијавлыг фитосенозунун флористик тәркибиндә 34 нөв али чичәкли биткијә тәсадүф олунмушdur. Бунлардан ону (29,4%)—тахылотту, 1 нөвү (2,9% )—паххалы вә 23 нөвү (67,7%) исә мұхтәлифоттуларды. Отлугда Лессинг шијавынын боллуғу 3—4 бал тәшкіл едир. Бу фитосенозда 22 нөв (64,7%) чохиллик вә 12 нөв (35,3%)—бир вә икииллик биткиләр тәсадүф олунур.

Отлуг 2—3 јаруслудур. Биринчи јарус 30—50 см һүндүрлүкдә олуб, бураja 17 нөв битки дахилdir. Бунлардан 7 нөвү тахылотту, галан 10 нөвү исә мұхтәлифоттулара аидdir. Икинчи јарус орта несабла 20 см, үчүнчү исә 3—5 см һүндүрлүкдәdir, ахырынчыларын боллуғу чох аздыр. Отлугун үмуми өртүjү 75—80%-dir.

Бу фитосенозда геjд едилән 34 нөв биткинин 17 нөвү (50%) мал-гара тәрефиндән мұхтәлиf дәрәчәдә јеиләn, 17 нөвү исә (50%) јеилмәjәndir [1].

Илиин јағмурлу кечмәси илә әлагәдар (1981-чи илдә бу әразидә орта иллик јағынтынын мигдары 712 мм олмушdur ки, бу да әvvәлки илләрә мұгајисәдә 2 дәфә чохдур) иjун аյында бу фитосенозун јерүстү фитокүтләси 24,0 сент/ha гуру от тәшкіл етмишdir ки, бу да әvvәлки илләрә нисбәтән 2 дәфә чохдур. Буна көрә дә бу фитосеноздан бичәнәк кими, яхуд ирибүнзүлү мал-гара үчүн отлаг кими истифадә етмәk даha мәгсәдәуj-ғундур.

Бу фитосенозун орта несабла 40 см-лик торпаг гатында олан јералты фитокүтләси иjун айында 264,0 сент/ha тәшкіл етмишdir.

Беләликлә, үмуми үзви күтләси 228,0 сент/ha олан шијавлыгда јерүстү күтлә јералты күтләдәn 11 дәфә аз олмушdur.

Бичәнәк кими истифадә едилән шијавлыг фитосенозунун јерүстү күтләсінин тәхминән 10%-и (2,4 сент/ha), бичимдәn сонра галан јерүстү күтлә, гурујуб торпаг үзәринә төкүлмүш јарпаглар вә от биткиләринин көвдәләри иллик кичик биологи дөврана дахил олур. Л. Е. Родин вә башгалары [4] мүәjжәn етмишdir ки, чохиллик отлардан ибарәт фитосенозларда ил әрзинде јералты күтләнин жалныз  $\frac{1}{3}$  ниссәси чүрүjәrәк тор-

10

паға гарышыр. Мә'лум олмушdur ки, бу фитосенозун hәр hектарында олан јералты күтләдәn ил әрзинде орта несабла 88,0 сентнери чүрүjәrәк дөврана дахил олур.

Демәли, бичәнәк кими истифадә едиләn вә 288,0 сент/ha үмуми үзви күтләси олан шијавлыг фитосенозунда илдә 90,4 сент/ha үзви күтлә чүрүjәrәк јенидәn кичик биологи дөврана дахил олур.

Тәдгиг едилән шијавлыг фитосенозунун јерүстү вә јералты фитокүтләсіндәn көтүрүләn нұмұнәләрдә азоту вә күл елементләrinин: фосфорун, калиумун, калсиумун, натриумун вә магнезиумун мигдары мүәjжәn едилмишdir.

Мә'лум олмушdur ки, шијавлыг фитосенозунун јерүстү күтләсінин тәркибиндә орта несабла 10,9% күл варды. Мигдарча јерүстү күтләдә азот олдугча чохдур (0,88—0,93%), икинчи јери калсиум (0,45—0,48%), сонракы іерләри исә фосфор (0,23—0,25%), калиум (0,21—0,25%), магнезиум (0,056—0,072%) вә натриум (0,010—0,012%) тутур. Буны N>Ca>K>P>Mg>Na ардычыллығы илә дә ифадә етмәk олар.

Јералты күтләдә (көкдә) мигдарына көрә элементләр јерүстү күтләдәn әhәмиjјәтли дәрәчәдә фәргләнир. Јә'ни шијавлығын јералты күтләсіндә кулүн мигдары орта несабла 50%, азот—1,3%, калиум—0,18, фосфор 0,13, калсиум 0,11, магнезиум 0,061, натриум исә 0,010% тәшкіл етмишdir. Буны N>K>P>Ca>Mg>Na ардычыллығы кими ифадә етмәk олар. Јерүстү фитокүтләjә нисбәтәn көкдә азотун мигдары 1,4 дәфә чох олдуғу налда, әксинә калиум—1,3, фосфор—1,9, калсиум 4,2, магнезиум вә натриум исә 1,1 дәфә аз олмушdur.

Бурадан көрүнүр ки, јерүстү күтләдә калсиумун, јералты күтләдә исә калиумун мигдары үстүнлүк тәшкіл едир.

Үмумиjјәтлә, фитосенозларда от гарышынын кимjәvi тәркиби, орада доминантлыг едәn нөвләрин, хүсусәn Лессинг шијавынын кимjәvi тәркибиндәn билаваситә асылыды.

Бичәнәк саһәсіндәки шијавлыг фитосенозунда бичим дөврүндә (ијунда) јерүстү вә јералты үзви күтлә, јә'ни бичилмиш јерүстү күтлә вә онун бичимдәn сонра саһәдә галан ниссәси тә'жин етмишdir. Үзви күтләнин бу ниссәләриндә азот вә күл елементләrinин мигдары мүәjжәn етmiшdir. Нәтичәни несабладыгда ашкар едилir ки, бичим дөврүндә hәр hектар шијавлыгда орта несабла 517 кг азот вә күл елементләrinин ентиjаты топланыр ки, бурада да азотун мигдары 364, калиум—52,5, фосфор—40,2, калсиум—39,0, магнезиум—17,8, натриум исә 2,9 кг тәшкіл едир.

Бу бозгыр фитосенозунда јерүстү күтлә јералты күтләдәn 11 дәфә чох олдуғундан кимjәvi елементләрин мигдары көкдә чох топланыр вә кичик биологи дөвранда көк системи әсас рол оjнаjыр.

Мә'лумдур ки, бичәнәк кими истифадә едиләn фитосенозларын бичилмиш јерүстү күтләси вә бу күтлә илә hектардан он килограмларла азот вә күл елементләри биологи дөврандан чыхыр вә бир даha hәmin саһәләрдәki торпаглara гаjтымыр.

Беләликлә, антропокен факторларын тә'сири нәтичәсіндә торпагда биткиләrә лазым өлан әсас гида маддәләrinин мигдары тәdричәn азаллыр вә бу да илдәn-иilә мәjсулдарлығын азалмасына сәбәб олур.

Җәдәлдәn көрүнүр ки, Лессинг шијавы фитосенозунда hәр hектар торпаға үзви күтлә илә 116,5 кг азот вә 45,6 кг тәmiz күл елементләri гаjтыдыр. Бичилмиш јерүстү күтлә илә исә 18,7 кг азот вә 21 кг-дан артыг

Гобустаны шијавлыг фитосенозуун бир нектарында үзүү күтлөнин, азотун ва қул элементтеринин ишлик кичик биологи дахилданы жана иш

Тәлдиг одуунмушадар	Жерүстү фитокутлалар			Жералты фитокутлалар			Фитосенозун чамы фитокутла- сунда	Нар ил кичик биологи дахил олур
	бийлини күтледе	бичимдөн соңра дастан күтледе	чамы жерүстү күтледе	кекчи чүрүйн ниссесинде	чамы кек күтлэ- сунда			
N	18,70	2,10	20,80	114,4	343,2	364,0	116,5	
P	5,31	0,59	5,90	11,4	34,3	40,2	12,0	
K	4,50	0,50	5,00	15,8	47,5	52,5	16,3	
Ca	9,54	1,06	10,62	9,7	29,0	39,6	10,8	
Na	0,25	0,03	0,28	0,9	2,6	2,9	0,9	
Mg	1,53	0,17	1,70	5,4	16,1	17,8	5,6	
Үзүү күтлээ	21,6	2,4	24,0	88,0	264,0	288,0	90,4	
N ва қул элементтеринин чамы	39,83	4,45	44,30	157,6	472,7	517,9	162,1	
Жалпы эз элементтеринин чамы	21,13	2,35	23,50	43,2	129,5	153,0	45,6	
Енержи	6,7	0,8	7,5	—	—	—	—	

Үзүү күтлэ сентинара, азот ва қул элементтеринин мигдары килограмдарла, енержи исә млрд/калори илэ көстәрмийшидир.

тәмиз күл элементләри, о чүмләдән Ca—9,54; P—5,31, K—4,50, Mg—1,53 вә Na исә 0,25 кг һәмин саһәдәкى биологи дөврандан чыхыр.

Жухарыдан көрүндүјү кими, жерүстү күтләнин тәхминен  $\frac{1}{10}$  һиссәси бичимдән соңра саһәдә галыр вә онун тәркибиндәкі азот ва қул элементләри бу биткиликтә баш верән кичик биологи дөвранда чүзи рол ојнајыр. Бичимдән соңракы жерүстү галыг көк системинин һәр ил мәһв олуб чүрүйән күтләсінә нисбәтән 37 дәфә аз олдуғундан бу фитосенозун азот вә қул элементләринин биологи дөвранында әсас ролу мәһз жералты күтләнин галығы ојнајыр.

Мә'лум олдуғу кими, биткиләр фотосинтез нәтичәсіндә өз инкишафтары дөврүндә мұхтәлиф үзви маддәләр әмәлә кәтирәрәк өз организмләрини жарадырлар. Шұбһәсиз ки, өз векетасијалары дөврүндә һәр нөв вә группа битки организмләриндә мұхтәлиф нөв вә мигдарда үзви маддәләр топланыр. Бу маддәләрин мигдарыны кимјәви тәһлил жолу илә вә ја үзви маддәләрин жандырылмасындан алынан истилик енержисинин мигдары илә тә'јин етмәк мүмкүндүр. Бу истилик енержисини калориметрик бомба аппараты вә ја үзви маддәләрі констант рәгемләре вурмаг жолу илә тапмаг олур [2].

Доминантлығы Лессинг шијавы тәшкіл едән бозғыр фитосенозунун чичәкләнмә фазасында жерүстү күтләнин јем кејфијәти тә'јин едилмиш вә бу күтлә 48 јем ванидинә бәрабәрдир. Бу анализләре әсасен жерүстү күтләдә енержинин мигдары несабланышдыр. Нәтичәдә фитосенозун 1 г отда жерүстү күтләсінин орта несабла 5,7% протеини 256,5 кал. енержиә маликдир, 1,4% яғы—116,5 кал., 36,1% селлүлозасы—1044,0 кал вә 46% азотсуз экстрактив маддәләри исә 1702,0 калоријә бәрабәрдир. Демәли, тәдгиг едилән фитосенозун жерүстү күтләсінин бир грамынын 3118,7 кал. енержиә малик олдуғу мүәյжән едилмишdir. Бир сезла, Лессинг шијавлығынын күтләви чичәкләнмә дөврүндә ил әрзиндә бир нектар саһәдә әмәлә кәтирди күтләдә 7,5 млрд. кал. енержи еһтияты топланыр.

А. Т. Шујншалиев көстәрир ки, фитосенозлар доминантларынын күтләви гөнчәләнмә вә ја чичәкләнмә дөврүндә максимум калорилилијә малик олур [6].

Бичилмиш жерүстү күтлә илә һәмин саһәдән 6,7 млрд. кал/га енержи апарылыр. Төкүлән жарпаглар, көвдәләр вә жерүстү күтләнин бичимдән соңра јердә галан ниссәси исә 0,8 млрд. кал/га енержи јенидән кичик биологи дөврана дахил олур.

Бурадан көрүнүр ки, жерүстү күтләнин бир нектарда аккумулјасија етди 7,5 млрд. кал үмуми енержинин 6,7 млрд. калориси (81%-и) бичилмиш жерүстү күтлә илә һәмин саһәдән антропокен амилләрин тә'сири нәтичәсіндә биологи дөврандан чыхарылыр. Буна көрә дә енержи балансыны таразлашдырмаг үчүн белә екосистемләрдә саһәләрә үзви вә минерал күбрәләр вермәк, отлаг вә бичәнәк дөвријәси жаратмаг лазымдыр. Белә бозғыр отлагларда онларын јүкүнә көрә hejvan отармаг вә бичәнәк кими истифадә едилән саһәләрдә һәр 4—5 илдән бир отлаглара истирахәт вермәк лазымдыр. Чүнки белә мұнасибәт гијметли тәбии јем еһтияларынын вәзијјәтини жахшылашдырар, онларын мәһсүлдарлығыны артырар вә ботаники тәркибини зәнкүнләшdir.

Беләликлә, ашағыдақы нәтичәләрә кәлмәк олар:

1. Лессинг шијавлығы фитосенозунун жерүстү күтләси бир илдә максимум 7,5 млрд. кал/га енержи еһтияты топлајыр. Бунун жерүстү

күтләсінин бир грамында максимум 3118,7 кал. енержи олур. Үмуми фитокутләдә 517 кг азот вә күл элементләри топланып.

2. Ыэр ил шиавлыгда јерусту күтләсінин галығы иле 0,8 млрд. кал/га енержи, үмуми фитокутләнн иллик дөврана дахил олан ниссәсілә 116,5 кг азот вә 45,4 кг күл элементләри торнаға гајыдыр. Бичилмиш яшыл күтлә иле һәмін саһәләрдән 6,7 млрд. кал/га енержи, 18,7 кг азот вә 21 кг күл элементләри биологи дөврандан кәнар едилир.

3. Шиавлыг фитосенозунун яйылдығы саһәләрдә биологи дөврандан кәнар олмуш элементләрин мигдарына уйғын олары, һәр 4—5 илдән бир мұвағиғ мигдарда минерал-құбралар вә пеин ширесі верилсә, итирилмиш енержинин, азотун вә күл элементләринин чатышмазлығының гарышы алынар.

#### Әдәбијат

1. Атамов В. В. Анализ фауры некоторых степных фитоценозов Казахстана. — В кн.: Материалы республиканской научной конференции аспирантов. Баку: Зем., 1981, II кн., с. 6—9.

2. Лукашин Н. А., Тащилин В. А. Зоотехнический анализ кормов. — М.: Колос, 1965.

3. Понятовская В. М. Учет обилия и особенности размещения видов в естественных растительных сообществах. — В кн.: Полевая геоботаника. М.—Л., 1964, т. 3, с. 209—299.

4. Родин Л. Е., Режезов Н. П., Базилевич Н. И. Методические указания к изучению динамики и биологического круговорота в фитоценозах. — Л.: Наука, 1968.

5. Шальт M. C. Методика изучения морфологии и экологии подземной части отдельных растений и растительных сообществ. — В кн.: Полевая геоботаника. М.—Л., 1960, т. 2, с. 474—489.

6. Шудышалиев А. Т. Биологический круговорот энергии, зольных элементов и азота в основных ассоциациях пойменных лугов р. Урала. — Автореф. дис... канд. биол. наук. — Алма-Ата, 1981.

А. И. Маилов, В. В. Атамов, З. А. Кафарова, С. Я. Мамедов

#### МАЛЫЙ БИОЛОГИЧЕСКИЙ КРУГОВОРОТ ОРГАНИЧЕСКОЙ МАССЫ, АЗОТА, ЗОЛЬНЫХ ЭЛЕМЕНТОВ И КОЛИЧЕСТВО ЭНЕРГИИ В НАДЗЕМНОЙ МАССЕ КОВЫЛЬНЫХ ФИТОЦЕНОЗОВ КАЗАХСТАНА

Одним из самых широко распространенных степных фитоценозов Казахстана является ковыльный. Нами в этом фитоценозе при сенокосном его использовании изучен годичный малый биологический круговорот органической массы, азота и основных зольных элементов (P, K, Си, Na, Mg) и аккумулированной подземной массе энергии. Установлено, что в круговороте органической массы, азота и основных зольных элементов на сенокосных участках основную роль играет подземный опад, а надземный — незначительную.

АЗЭРБАЙЧАН ССР ЕДМЛӘР АКАДЕМИЈАСЫНЫН ХӘБӘРЛӘРИ  
Биология ежемлери сериясы, 1985 № 1

ИЗВЕСТИЯ АКАДЕМИИ НАУК АЗЕРБАЙДЖАНСКОЙ ССР  
Серия биологических наук, 1985, № 1

581.167:541.15

А. Д. БАГИРОВА, Е. А. АРШАВА

#### ВЛИЯНИЕ КУМАРИНОВОГО ГЛЮКОЗИДА СЕСЕЛОЗИДА НА РАЗЛИЧНЫЕ ПЕРИОДЫ ПРЕСИНТЕТИЧЕСКОЙ КАЗЫ G<sub>1</sub>, *Grepis capillaris* L.

Институт ботаники АН Азербайджанской ССР

Изучено влияние кумаринового глюкозида сеселозида в концентрации 1·10<sup>-4</sup> мкг/мл на различные периоды пресинтетической фазы G<sub>1</sub>, *Grepis capillaris* L. с использованием в качестве индукторов мутирования старения и радиации. Установлено, что эффективность препарата зависела не только от продолжительности обработки, но и от времени введения его в определенные периоды G<sub>1</sub>. Наибольшая чувствительность к действию препарата наблюдалась в начальных этапах пресинтетической фазы.

В проблеме антимутагенеза, наравне с выявлением и исследованием биологически активных веществ растительного происхождения, важная роль уделяется изучению механизма действия этих веществ. Исследования, проводимые в этом направлении, дали возможность установить, что индуцированное антимутагенами восстановление осуществляется на определенном этапе пресинтетической фазы клеточного цикла [2, 4]. Вместе с тем известно, что процессы восстановления могут происходить специфично в отдельные периоды, что приводит в конечном итоге к ликвидации генетических повреждений [6]. Так, было показано индуцированное -токоферолом и синтетическим антимутагеном ионолом восстановление в начальный период G<sub>1</sub> *Grepis capillaris* [1, 3].

Ограниченностю числа исследований, проведенных в области изучения эффективности антимутагенов на различных этапах митотического цикла, предопределила необходимость расширения числа ингибиторов мутабильности для исследований в этом направлении. В связи с этим изучена эффективность кумаринового глюкозида сеселозида.

В экспериментах использовались семена скерды, повышение уровня мутирования у которых индуцировалось старением (хранились в лаборатории в течение 4,5 лет), а также радиацией (8 Грэй).

В качестве антимутагена был применен кумариновый глюкозид сеселозид-3'-0-β-Д-глюкопиранозил-2',2'-диметил-8-окси-3',4'-дигидропирано-5', 6': 6,7-кумарина, впервые полученный из *Seseli anisoides* L. (Bieb) K. — вид рода *Seseli* в лаборатории химии биоорганических соединений Института ботаники АН Азербайджанской ССР В. Ю. Багировым и М. Б. Белым [5].

В варианте со старением часть семян проращивалась в растворе сеселозида в течение 15 часов. Вторая партия семян первые три часа просла на воде, остальные 12 часов в антимутагене. Третья партия — 6 часов на воде, 12 часов в антимутагене. Остальные варианты проращивались 9 и 12 часов на воде, остальное время в антимутагене.

Опыт с индукцией радиацией проводили по той же схеме, с той

лишь разницей, что ступенчатая обработка антимутагеном проводилась через 2 часа, т. е. первая партия семян обрабатывалась веществом сразу же после облучения; вторая — через 2 часа после проращивания на воде; третья — через 4 часа и т. д.

Во всех вариантах опыта продолжительность обработки антимутагеном составила 12 часов. Параллельно с опытными вариантами ставился контроль на воде.

Через 12 часов после обработки антимутагеном семена переносили на воду, а затем в колхицин в концентрации 0,01% и проращивали в термостате при температуре 25°C. Фиксацию проводили при длине корешков 2 мм в уксусноалкагольной смеси (3:1), затем их окрашивали в ацетокармине и готовили временные давленные препараты, на которых учитывали уровень aberrаций хромосом в метафазных клетках. Статистическую обработку проводили с применением критериев Стьюдента.

Данные, приведенные на рис. 1, показали, что эффективность селозида зависела не только от продолжительности обработки, но и

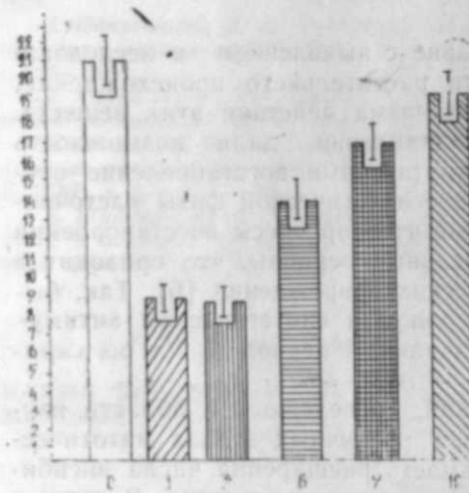


Рис. 1. Модификация спонтанной мутабильности при воздействии селозида на различные периоды пресинтетической фазы *G<sub>1</sub>* *Grepis capillaris* L. по осям а) абсцисс — aberrации хромосом, %; б) ординат — 0 — контроль; 1 — контроль+селозид; 3, 6, 9, 12 — время предварительного замачивания на воде.

от времени введения его в определенные периоды пресинтетической фазы. Так, наибольший эффект наблюдался при проращивании семян в течение 15 часов в антимутагене, а также в варианте с предварительным проращиванием на воде в течение первых 3 часов. При этом антимутагенный эффект как в первом, так и во втором случае составил около 60% ( $p<0.001$ ), т. е. фактически не реализовалось в мутации более половины возникающих потенциальных повреждений. При обработке семян антимутагеном после 6-часового предварительного проращивания их на воде наблюдалось снижение эффективности действия вещества, хотя и в этом случае достоверность антимутагенного действия селозида на скерду весьма высока ( $p<0.001$ ).

Значительное снижение эффекта приходилось на 9-часовой срок предварительного проращивания семян. Но уменьшение действия вещества и в этом случае оставалось достоверным ( $p=0.02$ ). Полное отсутствие эффекта отмечалось в варианте, в котором семена в течение 12 часов предварительно проращивали на воде ( $p>0.1$ ).

Для подтверждения эффективности вещества, приходящегося на определенные часы пересинтетической фазы, проводился эксперимент с индукцией мутаций радиацией.

Результаты экспериментов показали (рис. 2), что наибольший эффект восстановления, как и с индукцией старения, наблюдался при обработке антимутагеном первой партии семян в течение 15 часов. При этом антимутагенная эффективность составила 0,796 ( $p<0.001$ ), т. е. фактически не реализовалось в мутации почти 80% первичных повреждений.

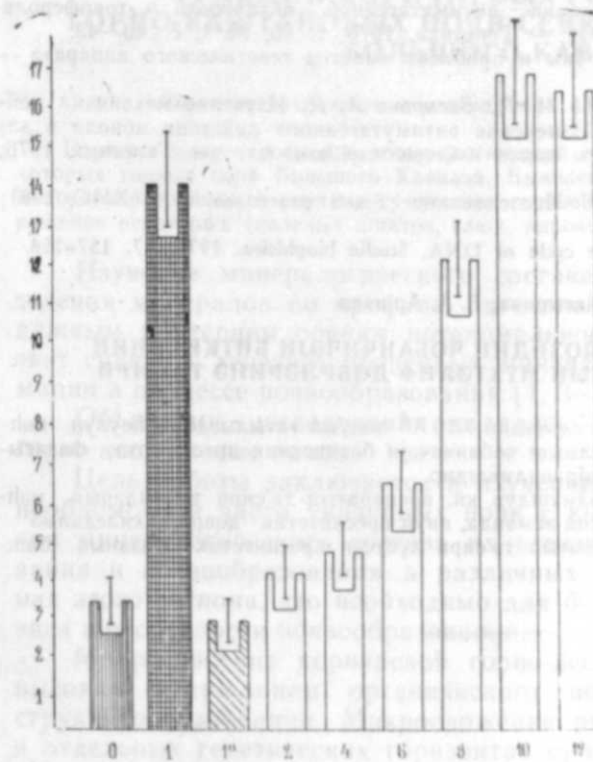


Рис. 2. Модификация мутабильности, селозидом, индуцированной радиацией в различные периоды пресинтетической фазы *G<sub>1</sub>* *Grepis capillaris* L. по осям а) абсцисс — aberrации хромосом, %, б) ординат — 0 — контроль; 1 — облучение; 1a — облучение; + селозид; 2, 4, 6, 8, 10, 12 — время предварительного замачивания на воде.

Наибольшая активность антимутагена наблюдалась также после 2-, 4- и 6-часового предварительного проращивания на воде, где уровень aberrаций хромосом составил соответственно  $4.05 \pm 0.70\%$ , ( $A. \bar{E} = 0.71$ );  $4.6 \pm 0.74\%$  ( $A. \bar{E} = 0.62$ );  $6.30 \pm 0.81\%$  ( $A. \bar{E} = 0.55$ ), т. е. в первом случае в мутации не реализовалось 71%, во втором — 62%, в третьем — 55% первичных повреждений.

Проращивание семян в антимутагене после предварительного замачивания их в воде в течение 8 часов было неэффективным и уровень мутабильности в этом случае составил  $11.97 \pm 1.09$  ( $A. \bar{E} = 0.15$ )  $p>0.1$ . Полное отсутствие антимутагенного эффекта наблюдалось и при 10—12-часовом замачивании семян.

Таким образом, применение различных индукторов, в данном случае старения и радиации, с дальнейшей обработкой антимутагеном клеток, находящихся на различных этапах пресинтетической фазы, показало неоднозначную чувствительность их к действию модифика-

тора. При этом наибольшее снижение под действием препарата наблюдалось в начальные этапы пресинтетической фазы в интервале 2—6 часов. Полное отсутствие эффекта приходилось на середину и ее конец, т. е. в пределах 8—12 часов. Полученные данные подтверждают, что действие модификатора связано не только с продолжительностью обработки, но и с этапами клеточного цикла, на которые он воздействует.

## Литература

1. Алекперов У. К. Модификация антимутагенной активности  $\alpha$ -токоферола введением в различные периоды G<sub>1</sub>. — Генетика, 1976, т. 10, № 1, с. 40—42.
  2. Алекперов У. К. Антимутагены и проблема защиты генетического аппарата. — Баку: Элм, 1979, 122 с.
  3. Алекперов У. К., Абуталыбов М. Г., Багирова А. Д. Изучение механизма действия антимутагенов. Сообщ. II. Изменение антимутагенного действия ионола в зависимости от стадии митотического цикла *Crepis capillaris* L. — Генетика, 1976, т. 12, № 7, с. 47—50.
  5. Багиров В. Ю., Белый М. Б. Исследование *Seseli peucedanoides* ХМС, 1981, № 6, с. 796—797.
  6. Lichick N. V. The chromosome cycle of DNA. Studia biophysica, 1971, 27, 157—154.

А. Д. Багырова, Е. А. Аршавин

КУМАРИН ГЛУКОЗИД СЕСЕЛОЗИДИН ЧОБАНЧЫЧАЈИ БИТКИСИНИН  
ПРЕСИНТЕТИК ФАЗАСЫНЫН МУХТАЛІФ ДӨВРЛӘРИНӘ ТӘСИРИ

Мегаладә кумарин глюкозид сеселозини  $1\cdot10^{-4}$  мкг/мл гатылыгда мәһсүлүн көңілдіктердің азальтасынан аның тәсілдерінен арынан шағындауынан көрсетті.

Тәрүбә нәтижесинде мәлүм олмушдур ки, препараттың тә'сирі тохумларын мәннелудағалама мұддаты иле жаңаша, енди заманда, онун пресинтетик дөвра дахиледілма мұддатындан да асылыдыра. Препараттың тә'сирі хүсусан пресинтетик фазаның башланычында мушаңнда олунур.

# АЗЭРБАЙЧАН ССР ЕЛМЛЭР АКАДЕМИЯСЫНЫН ХЭБЭРЛЭРИ Биологийн елмлэдэрийн серийнч. 1985 № 1

ИЗВЕСТИЯ АКАДЕМИИ НАУК АЗЕРБАЙДЖАНСКОЙ ССР  
Серия биологических наук, 1985, № 1

УДК 631.4:549.905.8

И. Ш. ИСКЕНДЕРОВ, В. А. МАМЕДОВ

## МИНЕРАЛОГИЧЕСКИЙ СОСТАВ КРУПНОДИСПЕРСНОЙ ФРАКЦИИ КОРИЧНЕВЫХ ГОРНО-ЛЕСНЫХ И Горно-каштановых почв северо-восточной части Большого Кавказа

Институт почвоведения и агрохимии АН Азербайджанской ССР

Изучены микростроение и минералогический состав крупнообломочной части некоторых горных почв Большого Кавказа. Выявлено, что в результате выветривания и почвообразования в верхних гумусовых горизонтах наблюдается изменение и разрушение некоторых (полевых шпатов, слюд, пироксенов, амфиболов и др.) минералов

Изучение минералогического состава крупных фракций, распределения минералов по профилю и степени их выветрелости является важным критерием оценки потенциального плодородия почв и позволяет судить о генезисе почвенных минералов, их вероятной трансформации в процессе почвообразования [1, 3—5, 8—10].

Объектами исследования являлись коричневые горно-лесные и горно-каштановые почвы.

Цель работы заключается в изучении минерального состава крупнообломочной части указанных почв с выявлением сходства и различия минералогического состава их изменений под влиянием выветривания и почвообразования в различных почвенно-климатических зонах этого региона, что необходимо для более глубокого познания генезиса и особенности почвообразования.

Микроизменение коричневой горно-лесной почвы характеризуется высоким содержанием органического вещества, которое активно в структурообразовании. Микросложение рыхлое, поры межагрегатные, в отдельных генетических горизонтах ориентированная глина струйчатой формы. Основным механизмом оглинения почвенных горизонтов является внутрипочвенное выветривание *in situ*, наблюдаются глинистые и железо-глинистые новообразования.

Микроморфологические исследования генетических горизонтов горно-каштановой почвы показали, что окраска меняется от серовато-коричневой до серой. Сложение в основном средне-плотное, местами рыхлое. Микроагрегация выражена слабо. Поры межагрегатные, которые резко сокращаются вниз по профилю. Гумус представлен формами moder, иногда gaw humus. Мулевая форма почти отсутствует. Минеральный скелет представлен карбонатами (кальцитами), полевыми шпатами, слюдами (биотит), кварцем и др. Вниз по профилю содержание карбонатов резко увеличивается. Они являются основными цементирующими веществами почвенной массы и активны в структурообразовании.

Минералогический анализ проводился по иммерсионному методу на крупнопылеватых фракциях (0,05—0,01 мм).

Минералогический состав крупнодисперсной фракции  
коричневых горно-лесных почв (разрез 3) на глубине (им)

Минерал	3—15	51—79	79—105
<b>Минералы тяжелой фракции (уд. вес &gt;2,9)</b>			
Гематит	0,55	0,53	0,50
Лимонит	0,11	0,15	0,12
Магнетит	0,21	0,27	0,22
Пирит	0,04	0,05	0,04
Сфен	0,01	0,01	0,01
Роговая обманка	0,02	0,01	0,02
Эпидот	0,01	—	0,01
Пирокон	0,01	0,01	0,02
Авгит	0,01	0,01	0,02
Биотит	0,02	0,01	0,02
Галенит	—	—	0,01
Турмалин	—	—	—
<b>Минералы легкой фракции (уд. вес &lt;2,9)</b>			
Кварц	99,45	99,47	99,50
Полевые шпаты	29,87	33,82	33,83
Халцедон	15,93	13,93	21,89
Ожелезнен. обломки	4,98	2,99	5,97
Обл. кремнистых пород	25,88	22,87	23,88
Разр. трудно опред. минералы	8,96	10,94	6,97
Растительные остатки	5,97	9,95	3,98
Коэф. выветривания	7,96	4,97	2,98
	1,88	2,43	1,55

Примечание: — минерала нет.

Результаты минералогического анализа крупнопылеватых фракций (0,05—0,01 мм) показали, что легкие минералы (с уд. весом меньше 2,9, табл.) слагают основную массу скелета почв: 99,47—99,55%. Во всех частцах господствуют зерна кварца. Они содержатся (20,87—33,83%) в виде бесцветных угловатых, угловато-окатанных зерен. Наблюдается увеличение содержания кварца от верхних горизонтов (А—29,87%) к нижним (С—33,88%). Полевые шпаты находятся в значительном количестве (13,98—21,89%), их содержание уменьшается в иллювиальных горизонтах (13,93%), которые связаны с внутрипочвенным выветриванием. В горизонте С минералы сохранились довольно хорошо, а в гор. А и В в некоторой степени координированы — серicitизированы. Обломки карбонатных пород (6,97—10,94%) в основном имеют кварцевый и кварцево-халцедоновый состав. Форма и угловатая и угловато-окатанная. Халцедон присутствует в небольшом количестве, является продуктом кристаллизации опала. Ожелезненные обломки по профилю изменяются 22,87—25,88%. Разрушенные трудно определяемые минералы содержатся 3,98—8,95%, а растительные остатки составляют 2,98—7,96%. Коэффициент выветрелости минералов в горизонте В высокий (2,43), на горизонте А — 1,88, горизонте С — 1,55.

Тяжелые минералы (10,50—0,60%) с уд. весом больше >2,9 в ос-

новном представлены лимонитом (22,5—27,0%), гематитом (13,5—15,0%), магнетитом (0,04—0,06%), биотитом (0,02—0,04%) и др. Несмотря на небольшое содержание, их набор велик и качественно устойчив по всему профилю. Среди тяжелых минералов выделяются группы минералов разной степени устойчивости к процессам выветривания и в связи с этим по-разному ведущие себя в почвенном профиле.

Устойчивые минералы — циркон, сфен, турмалин имеют низкое содержание (0,01%), незначительно изменяющееся от горизонта к горизонту. Эти минералы всеми исследователями отнесены к группе устойчивых. Слабые изменения, которым подвергаются минералы, выражаются в координации поверхности зерен и в редких железистых пленках. К группе устойчивых минералов можно отнести рудные минералы, лимонит, гематит и магнетит, которые встречаются во всех горизонтах. Лимонит встречается чаще чем магнетит и гематит. Минералы средней степени устойчивости, такие как амфиболы, эпидоты, пироксены, по профилю распространены неравномерно. Амфиболы представлены роговыми обманками, которые в изучаемых почвах содержатся в незначительных количествах — от 0,01 до 0,02%, а их преобразования имеют существенное значение в понимании процессов почвообразования. Минералы эпидот-циозитового ряда представлены в основном сильно выраженным эпидотом. Наряду с интенсивным дроблением во фракциях крупной пыли происходит значительное разрушение эпидота в гор. В, где процесс выветривания наиболее активизирован. Разрушение выражается в отсутствии эпидота в этих горизонтах, тогда как максимальное содержание этого минерала (0,03%) наблюдается в гор. С, где процессы разрушения относительно замедлены.

Аналогичные исследования проведены для горно-каштановых почв. Анализ минералогического состава этих почв выявил, что на легкую фракцию приходится 99,40—99,5% минерала почв. Основную часть легкой фракции составляют кварц (29,85—31,81%), полевые шпаты (12,93—14,95%), обломки различных пород (26,80—42,78%), разрушенные и трудно определяемые минералы (5,96—13,92%).

Кварц распределен по профилю неравномерно. В составе фракции, выделенной из верхнего и среднего горизонтов, его меньше. С глубиной профиля содержание его значительно уменьшается. Полевых шпатов больше в верхнем и нижнем горизонтах и меньше в средней части профиля. В составе материнской породы их количество постепенно увеличивается. Обломки пород в составе фракций генетических горизонтов распределены неравномерно: их меньше в средних горизонтах и больше в верхней и нижней части профиля. Разрушенные трудно определяемые минералы по профилю варьируют 5,96—13,92%. Вниз по профилю содержание растительных остатков резко уменьшается (6,96—1,99%).

Показатель выветрелости (кварц, полевые шпаты) в верхних и средних горизонтах выше, чем в подстилающих породах, что свидетельствует о слабой выветрелости материнских пород по сравнению с почвой. Следовательно, выветривание минеральной части почв происходит за счет разрушения и изменения полевых шпатов, биотита и частично обломков различных пород.

Минералы тяжелой фракции в составе исследуемой крупнопылеватой фракции составляют 0,50—0,60%. Они представлены многими наименованиями, которые по профилю распределены неравномерно — их больше в основной и нижней частях профиля горно-каштановых почв. Основную часть составляют устойчивые и неустойчивые минералы.

Указанное дает основание считать, что в результате выветривания и почвообразования в верхних гумусовых горизонтах наблюдается интенсивное изменение и разрушение легких минералов — полевых шпатов и слюд, а также минералов тяжелой фракции — пироксена, эпидота, амфиболов и др. Несущественные изменения претерпевают устойчивые минералы: кварц, турмалин, циркон и др.

Минералогический состав крупнопылеватой фракции коричневых горно-лесных почв характеризуется как полевошпатово-кварцевый, горно-каштановых почв — карбонатно-полевошпатово-кварцевый со значительным участием железосодержащих и разрушенных трудно определяемых минералов.

#### Литература

1. Алексеев В. Е. Минералогический состав и эволюция глинистой части черноземов Молдавии — Почвоведение, 1977, № 2.
2. Гаель А. Г., Хабаров А. В. Закономерности распределения минералов в песчаных почвах Терского песчаного массива. — Почвоведение, 1969, № 4.
3. Иванов В. В., Шоба С. А. Изучение преобразования первичных минералов при оценке продуктивности песчаных подзолистых почв. Всесоюз. конф. Современные методы исследования почв. — М., 1983.
4. Искендеров И. Ш. Петрографическая характеристика почв Кура-Араксинской низменности. — Изв. АН Азерб. ССР, серия биол. наук, 1969, № 6.
5. Мильнер Г. Б. Петрография осадочных пород. — М.: Недра, 1968.
6. Плакхина Д. М., Фридланд В. М. Преобразования первичных минералов в железистом подзоле. — Почвоведение, 1978, № 8.
7. Рубилина Н. Е. Микроморфологический состав дерново-подзолистых почв на морене. Автореф. дисс. М., 1975.
8. Садаев М. Э. Почвы Малого Кавказа. — Баку, 1966.
9. Сұлтабаев Е. А. Минералогический состав обыкновенных черноземов северного Казахстана — Почвоведение, 1979, № 6.
10. Фридланд В. М. О роли выветривания в создании почвенного профиля и о разделении почвенной массы. — Почвоведение, 1955, № 12.

И. Ш. Искендеров, В. Э. Маммадов

#### БЕҮҮК ГАФГАЗЫН ШИМАЛ-ШӘРГИНДӘ ІАЙЫЛМЫШ ГӘЙВӘЛИ ДАҒ-МЕШӘ ВӘ ДАҒ-ШАБАЛЫДЫ ТОРПАГЛАРЫН ИРИБОЛУУ ҮНССӘЛӘРИНИН МИНЕРАЛОЖИ ТӘРКИБИ

Мәгәләдә Беүүк Гафгаз аразисинде кениш жаңылмыш гәйвәни даг-мешә вә даг-шабалыды торпагларын ирибојду үнссәләринин минераложи сөчинүүсү верилмишdir.

Тәдигатын нәтичәләрни торпагларын мәңшәйинин мүәјҗәнлөшдүрүлмөсүндө мүнбитетли тә'мин едән ба'зи гида вә күл элементләринин минераложи тәркибла алагасин асаасландырыр.

АЗЭРБАЙЧАН ССР ЕЛМЛӘР АКАДЕМИЯСЫНЫН ХӘБӘРЛӘРИ

Биология елмлари сериясы, 1985 № 1

ИЗВЕСТИЯ АКАДЕМИИ НАУК АЗЕРБАЙДЖАНСКОЙ ССР

Серия биологических наук, 1985, № 1

УДК 595.7—15

С. И. ГУСЕИНОВ

#### ВЛИЯНИЕ ФОТОТЕРМИЧЕСКИХ УСЛОВИЙ НА РАЗВИТИЕ СОВКИ С-ЧЕРНОЕ

Институт зоологии АН Азербайджанской ССР

Установлено, что длительность развития и темп роста гусениц азербайджанской популяции совки с-черное (*Amathes C-nigrum L.*) зависит от фототермических условий. При 25° влияние фотопериода на развитие гусениц проявляется слабо. При сочетании короткодневных фотопериодов (10 и 12 ч света) с пониженными температурами (15 и 20°) наблюдаются удлинение сроков развития и задержка в темпах роста гусениц, в последующем диапаузирующих.

Среди представителей подгрызающих совок (Noctuidae, Agrotinae) наибольшее хозяйственное значение имеет совка с-черное, которая является серьезным вредителем технических, овощебахчевых, кормовых культур, а также виноградной лозы. В Азербайджане она распространена повсеместно и в годы массового размножения наносит ощущимый ущерб [2, 3]. На основании литературных данных по экологической регуляции развития подгрызающих совок можно судить о наличии у них особого адаптивного механизма, отличающегося от обычных для большинства насекомых [4, 6, 8].

Известно, что у большинства чешуекрылых изменение длины дня определяет наличие и отсутствие диапаузы, но слабо сказывается на интенсивности роста и сроках развития. Однако работы ряда авторов показали, что у подгрызающих совок, зимующих на стадии гусениц, фотопериод оказывает сильное влияние на упомянутые параметры развития [5, 6, 11]. Поэтому при проведении настоящей работы мы уделяли большое внимание изучению особенностей развития и темпов роста гусениц совки с-черное при разных фототермических условиях.

Зимующие гусеницы совки с-черное собирались в хозяйствах Шамхорского района Азербайджанской ССР на участках, где высеваются различные овощебахчевые, технические и кормовые культуры. Гусеницы содержались в холодильнике при температуре +3°, +5°C в течение 2,5 месяцев (холодовая реактивация), затем для возобновления активного развития переносились в термокамеры с температурой 22±1° и длиной дня 16 ч света в сутки, что способствовало их окукливанию и далее вылету бабочек.

Пойманные в природных условиях бабочки, а также имаго, полученные после реактивации в лабораторных условиях, помещались в 0,5—1,0-литровые банки для откладки яиц. Бабочки подкармливались 5%-ным сахарным раствором.

Опыты по влиянию температуры и фотопериода на рост и развитие гусениц проводились в термостатированных камерах с автоматической регуляцией температуры и длины дня [7]. Схема опытов предусматривала испытание различных температур — 15°, 20°, 25° и фотопериодов — 10, 12, 14, 16, 18, 20 и 24 ч света в сутки.

Гусеницы воспитывались индивидуально в пронумерованных пробирках, что позволяло точно учитывать скорость развития и динамику их веса, а также время прекращения питания. Кормом для гусениц служили листья люцерны и подорожника. В камерах относительная влажность колебалась в пределах 60—75%.

При математической обработке количественных данных вычислялись следующие величины по Е. К. Меркурьевой [9]: средняя арифметическая ( $M$ ), среднее квадратичное отклонение ( $s$ ) и ошибка средней арифметической ( $m$ ).

Работа выполнена в лаборатории экологии и физиологии насекомых Института зоологии АН Азербайджанской ССР за период с 1976 по 1980 гг.

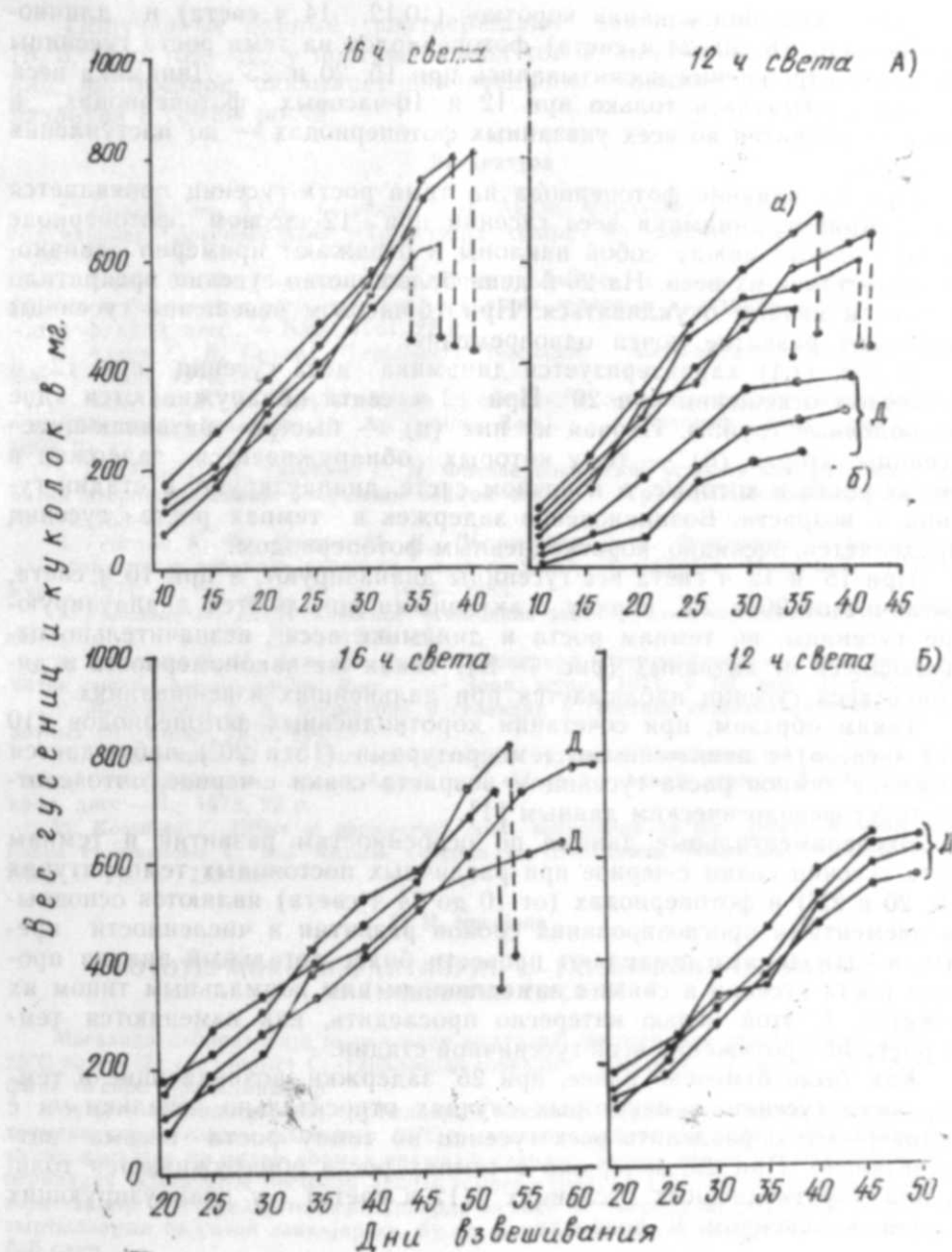
В литературе имеются некоторые материалы, устанавливающие зависимость длительности развития гусениц белгородской, сухумской и польской популяций совки с-черное от фототермических условий [10, 11]. Мы рассматриваем два основные экологические фактора (температура и свет) на длительность развития гусениц азербайджанской популяции совки с-черное (таблица).

Влияние фототермических условий на развитие совки с-черное

Температура	Фотопериоды	Кол-во гусениц в опытах	Длительность развития гусениц в днях ( $M \pm m$ )	Кол-во полученных куколок	Диапауза (%)
25°	10	30	30 ± 0,48	14	75
	12		28,5 ± 0,40	21	25
	14		27 ± 0,33	28	0
	16		24,5 ± 0,34	27	0
	18		25 ± 0,30	25	0
	20		24 ± 0,37	29	0
20°	10	35	25 ± 0,29	26	0
	12		—	—	100
	14		43,5 ± 0,49	13	68
	16		44,5 ± 0,37	21	16
	18		38,5 ± 0,25	33	0
	20		33 ± 0,36	29	0
15°	24	35	35,5 ± 0,29	33	0
	10		36 ± 0,35	31	0
	12		61,5	—	100
	14		85	—	100
	16		67 ± 0,23	19	86
	18		56,5 ± 0,47	17	29
15°	20		55 ± 0,50	22	0
	24		57 ± 0,36	29	0
	10		58,5 ± 0,43	32	0

При 25° различия в длительности развития гусениц при разных фотопериодах незначительны. Так, минимальный срок длительности развития гусениц наблюдается при фотопериоде 20 ч света (24 дня), а максимальный при фотопериоде 10 часов (30 дней). При 20° минимальный срок длительности развития гусениц наблюдается при 18-часовом фотопериоде (33 дня), максимальный при 14-часовом фотопериоде (44 дня).

Опыты при 15° показывают усиление зависимости развития гусениц от фотопериодических условий. При этом максимальный срок



Динамика веса гусениц и вес куколок совки с-черное при 20° (А) и 15° (Б). Д — диапаузирующие гусеницы. Пунктиром показан вес куколок

длительности развития гусениц наблюдается при 12 ч света (85 дней), а минимальный при 18 ч света (55 дней).

Таким образом, длительность развития гусениц совки с-черное обнаруживает зависимость как от фотопериода, так и от температуры. Зависимость длительности развития гусениц от фотопериодических условий наиболее четко проявляется при 15°.

Для выяснения влияния коротко- (10, 12, 14 ч света) и длинно-дневных (16, 18, 20, 24 ч света) фотопериодов на темп роста гусеницы с момента отрождения воспитывались при 15, 20 и 25°. Динамика веса гусениц учитывалась только при 12 и 16-часовых фотопериодах, а сроки их развития во всех указанных фотопериодах — до наступления диапаузы.

При 25° влияние фотопериода на темп роста гусениц проявляется слабо. Кривые динамики веса гусениц при 12-часовом фотопериоде имеют сходные между собой наклоны и отражают примерно одинаковое нарастание их веса. На 26-й день большинство гусениц прекратило питание и начало оккуливаться. При 16-часовом освещении гусеницы завершают развитие почти одновременно.

В рис. ((A) характеризуется динамика веса гусениц при 12- и 16-часовом освещении при 20°. При 12 ч света обнаруживаются две обособленные группы. Первая из них (а) — быстро развивающиеся гусеницы, вторая (б) — те, у которых обнаруживается задержка в темпах роста и которые, в конечном счете, диапаузируют в стадии гусениц V возраста. Возникновение задержек в темпах роста гусениц определяется, очевидно, короткодневным фотопериодом.

При 15° и 12 ч света все гусеницы диапазируют, а при 16 ч света, в отличие от 20 и 25°, наряду с активными появляются диапаузирующие гусеницы, по темпам роста и динамике веса незначительно отличающиеся от активных (рис. — Б). Такая же закономерность в динамике веса гусениц наблюдается при дальнейших взвешиваниях.

Таким образом, при сочетании короткодневных фотопериодов (10 и 12 ч света) с пониженными температурами (15 и 20°) наблюдается снижение темпов роста гусениц V возраста совки с-черное, что соответствует фенологическим данным [1].

Экспериментальные данные по особенностям развития и темпам роста гусениц совки с-черное при различных постоянных температурах (15, 20 и 25°) и фотопериодах (от 10 до 24 ч света) являются основными элементами прогнозирования сроков развития и численности вредителя. Эти данные позволяют провести более детальный анализ процесса роста гусениц в связи с замедленным или нормальным типом их развития. С этой целью интересно проследить, как изменяются темпы роста на протяжении всей гусеничной стадии.

Как было отмечено ранее, при 25° задержки, возникающие в темпах роста гусениц, в некоторых случаях относительно невелики и с достоверностью разделить всех гусениц по темпу роста весьма затруднительно. При 20° задержка в темпах роста обнаруживается только при короткодневных условиях (12 ч света), у диапаузирующих гусениц в основном V возраста.

Более определенные результаты дает анализ темпов роста при 15°. Так, при длиннодневных фотопериодах (16 ч света) средний темп роста за первые 20 дней составляет 45,5% в сутки для одной группы гусениц (развивающихся с задержкой) и 54% для активно развивающихся гусениц. Таким образом, различия между двумя типами развития гусениц (с задержкой и без задержек) возникают с самого начала. При короткодневных фотопериодах (12 ч света) все гусеницы развиваются со значительными задержками в темпах роста, и в конечном счете диапаузируют.

Полученные данные подтверждают заключение ряда авторов [5, 6, 8] о том, что у подгрызающих совок, зимующих на стадии гусениц, фотопериод оказывает значительное влияние на длительность развития и темпы роста.

#### Литература

1. Абдинбекова А. А., Гусейнов С. Н. Анализ фенологии совки с-черное в западных районах Азербайджана. Тр. коорд. совещ. по защите раст. Ереван, 1977, с. 501—502.
2. Алиев С. В. Подгрызающие совки (*Amathes c-nigrum* L. Азербайджана (фауна и биология основных видов, вредящих зерновым культурам и хлопчатнику). Автореф. канд. дисс. — Баку, 1961, 22 с.
3. Алиев С. В. Совки (Lepidoptera, Noctuidae) Азербайджана. Автореф. докт. дисс. — Баку, 1976, 56 с.
4. Ахмедов Р. М. Экологические особенности сезонных циклов подгрызающих совок (*Agrotis exclamationis* L., *Ag. ypsilon* Rott.). Автореф. канд. дисс. — Л., 1969, 21 с.
5. Ахмедов Р. М., Гусейнов С. И. Фотопериодические условия как факторы в развитии азербайджанской популяции озимой совки. — Тр. АзНИИовощеводства, 1981, № 6, с. 163—177.
6. Гейспиц К. Ф., Пенязь М. И., Шашенкова Д. Х. Фотопериод и температура как факторы в развитии совки *Ag. segetum* Schiff. (Lepidoptera, Noctuidae). — Зоол. журн., 1971, т. 50, вып. II, с. 1674—1685.
7. Горышин Н. И. Техническое оснащение экологических исследований в энтомологии. — Л.: изд-во ЛГУ, 1966, 235 с.
8. Горышин Н. И., Ахмедов Р. М. Фотопериод и температура как факторы в развитии совки *Agrotis ypsilon* Rott. — Зоол. журн., 1971, т. 50, вып. I, с. 56—66.
9. Меркурович Е. К. Биометрия в селекции и генетике сельскохозяйственных животных. М.: Колос, 1970, 424 с.
10. Шашенкова Д. Х. Экспериментальное изучение особенностей сезонных адаптаций подгрызающих совок *Agrotis c-nigrum* L., *Agrotis segetum* Schiff. Автореф. канд. дисс.—Л., 1973, 22 с.
11. Kowalska T. Effect of photoperiod and temperature on the growth of owl moths *Euxoa exclamationis* L. and *Rhyacia c-nigrum* L. (Lepidoptera, Noctuidae). — Ecol. polska, 1964, т. 12, р. 235—241.

С. И. Гусейнов

#### ФОТОТЕРМИКИ ШЭРАЛТЛЭРИН С—ГАРАЛЭКЭЛИ СОВКАНЫН ИНКИШАФЫНА ТЭСИРИ

Магадэд лабораторија шэрантиндэ мұхталиф фототермики шэралтларин (15°, 20°, 25°С вә 10—24 saat-ишиг) С—гаралэкэли совканын (*Amathes c-nigrum* L.) инкишафына тэсирі өјрәнилмишdir.

Мүэйжэн едилмишdir ки, тыртылларын инкишаф мүддәти вә бөјүмә сүр'ети фототермики шэралтләрдән асылыдыр. 25°C-дә көстәрилән фотопериодлар тыртыллара зәиф тэсир көстәрир вә онлар нормал инкишаф едиirlәр. Тыртылларын инкишафынын фотопериоддан асылылығы ишбәтән ашагы температурларда (15°, 20°С-дә) даңа ажды изәра чарып. Көстәрилән температурларда вә гыса фотопериодларда (10—12 saat-ишиг) тыртылларын бөјүмәсі ләнкијир ки, бу да силарын диапауза вәзијәтінә кечмәсін сабаб одур.

Алымыш иетиначәләр совканын инкишаф иуддәтләринин вә сај динамикасынын прогностыкасы истифадә олунға биләр.

## МАТЕРИАЛЫ ПО БИОЛОГИИ БЕЛОГО И ЧЕРНОГО АИСТОВ В АЗЕРБАЙДЖАНЕ

Институт зоологии АН Азербайджанской ССР

Приводятся данные по современному распространению, численности, а также некоторым экологическим особенностям белого и черного аистов.

В Азербайджане ежегодно подсчитано 1290 гнездящихся белых аистов, которые стали редкими. Черный аист в настоящее время является исчезающим видом, встречается единичными особями. Выявлены сроки размножения белого и черного аистов, изучено их питание и другие вопросы.

В нашей стране, как и во всем мире, придается большое значение вопросу охраны редких видов животных, в частности редких птиц, в том числе черного и белого аистов. В Азербайджане специальных исследований по белому и черному аистам до сих пор не проводились. Имеются лишь фрагментарные сведения в некоторых фаунистических трудах по Кавказу [1, 2, 3, 5, 8, 9, 12, 13]. В настоящей работе приводятся сведения о современном распространении, численности, а также некоторых экологических особенностях белого и черного аистов по материалам, добытым в 1979—1980 гг. из различных районов Азербайджана.

Белый аист (*Ciconia ciconia ciconia* L.) в Азербайджане гнездится вдоль р. Куры (в Агдашском, Евлахском, Бардинском, Агдабединском, Ждановском районах), вдоль р. Аракса (в Имишлинском, Сабирabadском районах), в пределах Малого Кавказа (в Джебраильском, Зангеланском районах и в Нахичеванской АССР), по побережью р. Акарачай в низменностях до с. Мурадханлы (Кубатлинский район), в северо-восточной части Азербайджана (в Кубинском, Кусарском районах), на Большом Кавказе в пределах Азербайджана (в Куткашенском Закатальском, Исмаиллинском районах) и в Ленкоранской зоне.

Белый аист в Закавказье, в том числе в Азербайджане, — гнездящаяся птица. Весенний прилет начинается рано. В Армению прилетает между 13—25 марта [5]. В восточном Закавказье эта птица наблюдалась 24 февраля [9]. В Ленкоранской зоне белый аист наблюдался 2 февраля [12]. За период наших многолетних наблюдений на территории Азербайджана белый аист зимой вообще не встречался. В Нахичеванской АССР по долине р. Аракса и в низменностях Ленкоранского района белый аист нами встречен 10—15 марта. Аисты сначала прилетают поодиночке, затем стаей. Самцы появляются на 10—15 дней раньше самок. Осенний отлет происходит в июле — середине августа. Осенний отлет происходит в июле — середине августа. Пролет совершается обычно на большой высоте.

Белый аист гнездится в населенных пунктах, на отдельных крупных деревьях или группах деревьев, разбросанных в равнинных мес-

такс, по берегам рек, болот или стоящих водоемов. В Армении, в районе оз. Севан, наблюдалось гнездование белых аистов на высоте 2000 м над ур. м. [5]. Пищу добывают на сырых лугах, болотах, мелководных участках стоящих водоемов. Иногда питается на сухих лугах, посевах. До вылупления птенцов взрослые в течение всего дня питаются на полях. За пищей отлетают на расстояние 6—7 км от гнезда, иногда на 10—11 км. В окрестностях с. Махрызы Кубатлинского района вдоль р. Акарачай нами неоднократно наблюдались 2 гнездящиеся пары белого аиста, которые за кормом отлетали на расстояние 10—11 км в Зангеланский район на пшеничные поля вблизи с. Алыбели и Сарыл, где кормились мышами, змеями, ящерицами и крупными насекомыми.

Результаты наших учетов показывают, что в Ленкоранской зоне и на Большом Кавказе белый аист редок, на Малом Кавказе, в том числе в Нахичеванской АССР, сравнительно многочислен, а вдоль Куры и на северо-востоке — обычен.

В 1979 г. подсчитано 1390 гнездящихся аистов, а в 1980 г. — 1190. По данным двух лет, в Азербайджане в среднем гнездилось 1290 аистов.

Уменьшению численности аистов способствуют: изменение и ухудшение естественных экологических условий для обитания и размножения птиц, стихийные бедствия (сильный ветер, ураган, гроза), разорение гнезд другими животными (хищные птицы) и т. п.

Гнездятся в основном в сельских местностях на крышах жилищ, на складах сена, на высоких деревьях, телеграфных столбах. Нами было 7 гнезд из различных районов Азербайджана. Гнездовый материал состоял: из тонких веточек карагача, тополя, держи-дерева, из высоких однолетних трав, листьев, глины. Лоток выстилается сеном, соломой, тряпками, войлоком, обрывками газет, перьями птиц, шерстью животных и пр. Гнезда, которые используются много лет подряд, ежегодно ремонтируются. В устройстве гнезда участвуют самка и самец. Нами измерены 5 гнезд, которые имели диаметр 0,6—0,9 м. Высота гнезда 0,5—0,6 м.

Количество яиц белого аиста в кладке от 2 до 6 [10], чаще всего 4, в исключительных случаях 1 или 7. По нашим данным, в кладке 2—4 яйца. Размеры яиц ( $n=16$ )  $73,8 \times 53,0$  мм. Белые аисты под Ленкоранью в последней декаде марта уже приступают к устройству гнезд [10], а 1—10 апреля приступают к кладке. По нашим наблюдениям.

в низменных районах Азербайджана белые аисты приступают к кладке в середине апреля, а в горных — в конце апреля. К насиживанию приступают после откладки первого яйца. В насиживании принимают участие самец и самка, которые сменяют друг друга через каждые 2—3 часа. Насиживание продолжается месяц. В низменных районах Азербайджана птенцы вылупляются в середине мая, а в горных местностях — в конце мая. До середины июня птенцы остаются в гнезде. Нами было найдено одно гнездо, в котором было 2 яйца, первый птенец вылупился 15-го, второй — 16-го мая. Однодневные птенцы ( $n=2$ ) весили 102,5 и 103 г.

Сведения о питании белого аиста незначительны. По литературным данным [9], в условиях Закавказья в желудках белого аиста обнаружены 3 маленькие черепахи, четыре водяных ужа и шесть лягуш-

шек. Во время наших полевых наблюдений зарегистрированы случаи поедания ими мелких рыб, земноводных, мелких пресмыкающихся, грызунов, моллюсков и других мелких животных. Кроме визуальных наблюдений по питанию, нами непосредственно изучалось содержимое желудков аистов. При анализе пищевых остатков белого аиста (*n=7*) обнаружено, что насекомые составляют 55,5%, мелкие рыбы — 26,7%, лягушки — 7,8%, мелкие змеи — 8,3%, мышевидные грызуны — 1,7%, всего 90 экз. различных животных. Из анализа питания видно, что основную пищу составляют вредные насекомые. Отсюда следует, что белый аист является полезной птицей и заслуживает охраны.

Черный аист (*Ciconia nigra L.*) в Азербайджане наблюдается в нижнелесном поясе Талышских гор, в Прикуриных лесах и в лесах Исмаиллинского района до высоты 1000 м над ур. м.

В Азербайджане черный аист гнездящаяся птица. Прилет начинается на несколько дней позднее, чем у белого аиста. Черный аист встречен 20 марта в Ленкорани, 15 марта около Куры, а в 1894 г. в конце августа на Ереванской равнине, вблизи Ордубада в болотах и в Минджеванском посту, в нынешнем Зангеланском районе [9]. Нами он наблюдался в середине марта в Ленкоранской низменности. Осенний отлет начинается в августе и сентябре. Образует небольшие летные стаи до 5—6 особей в каждой, редко наблюдается одиночками.

Излюбленными местами гнездования черного аиста являются старые лесные массивы, отдельно стоящие крупные деревья поблизости рек, озер и болот. Чаще всего встречается в лиственных и смешанных лесах. Для гнездования выбирает возвышенные, хорошо освещенные участки леса, а также глухие, редко посещаемые человеком угодья.

Численность черного аиста очень мала. По литературным данным [10], большая плотность наблюдается лишь в восточном Закавказье, между устьями Куры и иранской границей. В 1969 г., во второй половине июня, в среднегорной полосе Талышского леса в течение 5—6 часов нами встречены 2 экз., а в 1978 г., 15, 16, 17 июня, вдоль р. Куры в лесном массиве в течение 6—7-часовой экскурсии нами встречены 4 черных аиста.

Сведения о размножении черного аиста очень скучные. Несмотря на то, что эта птица обитает в труднодоступных местах, нам удалось частично изучить ее размножение. В период наших исследований в среднегорной полосе Талышского леса наблюдалась постройка гнезд черными аистами в середине марта. Одно из гнезд располагалось на высоте 8—12 м от земли, другое (старое) гнездо — на высоте 7—9 м. Аисты новые гнезда устраивают сами, иногда используют старые гнезда, ремонтируют их, откладывают яйца и выводят птенцов. Гнезда имеют полушиаровидную форму. Гнездовый материал состоит в основном из сухих веточек различных деревьев, глины, сухой травы, листьев, шерсти животных, тряпок кусков шкур и др. Нами измерены три новых гнезда, их диаметр достигал 1,3—1,5 м.

Черный аист в начале апреля приступает к откладке яиц и насиживанию. Число яиц в кладке 2—4.

В Порт-Ильиче Ленкоранского района [10] 4 мая 1929 г. в одном гнезде наблюдались 3 маленьких птенца и 2 яйца-болтуна, а в другом гнезде 18 мая — 2 ненасижденных яйца. По нашим наблюдениям, черные аисты приступают к насиживанию с начала апреля. В гнезде си-

дят самка и самец. В первой декаде мая в средней полосе Талышского леса в одном гнезде обнаружены два трехдневных птенца черного аиста.

Черные аисты питаются обычно рыбой, змеями, лягушками и насекомыми. Мы наблюдали, что приносимая ими птенцам пища состояла из лягушек, ящериц, мелких рыб, из большого количества саранчи и других насекомых. Птенцы покидают гнездо примерно в конце июля, но еще некоторое время держатся поблизости гнезда, а вечером прилетают в гнездо на почевку. В августе взрослые птицы со своими птенцами отлетают.

Следует отметить, что черные аисты, как и белые, — полезные птицы.

На основании двухлетних (1979—1980 гг.) исследований мы пришли к выводу, что численность гнездящихся в Азербайджане белых аистов 1290, черных аистов единичные особи. Численность аистов неуклонно сокращается. Выявлены сроки размножения белого аиста. К спариванию приступают в середине марта, начало насиживания 15—19 апреля. Вылупление птенцов происходит 15—16 мая.

#### Литература

- Богданов М. Н. Птицы Кавказа. Труды общества естествоиспытателей Казанского университета, в. 4, 1879.
- Гамбаров К. М. Материалы по орнитофауне восточной части южного склона Главного Кавказского хребта и прилегающей низменности. Тр. Ин-та зоол. АН Азерб. ССР, т. 17, 1954.
- Даль С. К. Животный мир Армянской ССР, т. I. Позвоночные животные. — Ереван, 1950.
- Иванов А. И. Весенние наблюдения над птицами на юго-западном побережье Каспия. Тр. Зоол. ин-та АН СССР, т. IX, вып. IV, 1952.
- Лайстер А. Ф., Сосин Г. В. Материалы по орнитофауне Армянской ССР — Ереван, 1942.
- Лебедева М. И. К биологии черного аиста в Беловежской пуще. — Орнитология, вып. 2, 1959.
- Птицы Советского Союза, т. II—III, 1951.
- Радде Г. И. Орнитологическая фауна Кавказа. — Изд-во Кавказского музея, 1884.
- Сатунин К. А. Материалы к познанию птиц Кавказского края. — Тифлис, 1907.
- Стангенберг Е. П., Судиловская А. М. Класс птицы. В кн.: Животный мир Азербайджана. — Баку, 1951.
- Туаев Д. Г. Материалы по фауне и экологии водоплавающих птиц Кура-Араксинской низменности в современных условиях. — Баку, 1975.
- Тугаринов А. Я., Козлова Е. В. Зимовка птиц в Талыше. Труды АзФАН СССР, серия зоол., т. XXIII, 1935.
- Ханмамедов А. И. Материалы к авиации Нахичеванской АССР. Труды Ин-та зоол. АН Азерб. ССР, т. XXI. — Баку, 1960.

А. И. Ханмамедов, Ф. А. Сафарова

#### АҒ ВӘ ГАРА ЛЕЙЛӘИН АЗӘРБАЙЧАНДА БИОЛОКИЈАСЫНА ДАИР МАТЕРИАЛЛАР

Мәгаләдә ағ вә гара лейләин яјылмасы, сајы вә һәмчинин ба'зи экологи хүсусијәтләrinä дайр материаллар верилир.

Лейләкләrin сајынын дайр азалмасы мушаһидә едилир. Көстәрилir ки, Азәрбайчанда һәр ил 1290 ювалидан аг лейләк һесаба алымышыдыр. Гара лејләк иса тәк-тәк тәсадүф олунир.

Ағ вә гара лейләкләrin чохалма дөврләри мүэjjән едилиши, онларын гидасы вә дикәр масалалар өјрәнилмишидир.

С. И. ИБАДОВА

## ЯБЛОНЕВЫЙ МУЧНИСТЫЙ ЧЕРВЕЦ *Phenacoccus mespili* Sign. И ЕГО ЭНТОМОФАГИ НА АПШЕРОНЕ

Институт зоологии АН Азербайджанской ССР

Яблоневый мучнистый червек (*Phenacoccus mespili* Sign.), в условиях Апшерона являющийся одним из серьезных вредителей плодовых и декоративных насаждений, почти не изучен. Мы изучали распространение вредителя по Апшерону, развитие яиц, личинок, количество поколений, плодовитость и продолжительность жизни имаго, его вредоносность.

Установлено, что в хозяйствах Апшерона яблоневый мучнистый червек развивается в двух полных и одной факультативной генерациях. Первая генерация развивается в течение  $65 \pm 3.4$  дня, а вторая длится  $45.2 \pm 1.85$  дня. Выявлены естественные враги, значительно ограничивающие вредную деятельность мучнистого червека.

Яблоневый мучнистый червек — один из распространенных вредителей плодовых культур на Апшероне, относится к семейству мучнистых червецов *Pseudococcidae*.

За рубежом он зарегистрирован в странах Западной Европы, в СССР — в Ленинградской области, Крыму, на Северном Кавказе, в Закавказье (Армения, Грузия, Азербайджан), Среднем и Южном Поволжье, среднеазиатских республиках (Узбекистан, Туркмения) [3, 7].

В Азербайджане этот вид впервые указан Арутюновой [2] и Рusanовой [5]. Но эти авторы, как и многие другие, считали *Phenacoccus mespili* Sign. синонимом *Phenacoccus aceris* Sign. и лишь спустя несколько лет было установлено, что он является самостоятельным [3]. По данным Рзаевой [4], яблоневый мучнистый червек приносит серьезный вред плодовым культурам в Куба-Хачмасской зоне Азербайджана.

Ареал этого вида на Апшероне очень обширен. Зарегистрирован он в г. Баку и во всех других населенных пунктах Апшерона, где наносит значительный ущерб ряду плодовых культур.

По литературным данным, этот червек живет на ветках и стволах яблони, груши, абрикоса, мишмулы, персика, сливы; в лесах — в трещинах коры стволов и веток ясения.

По данным Аветян [1], в долине Аракса в большинстве случаев он встречается на яблоне, а в лесах Северной Армении — на ясene.

Яснош [9] указывает, что *Phenacoccus mespili* Sign. в Восточной Грузии не является вредителем, хотя встречается единично на многих плодовых культурах: яблоне, груше, сливе, айве, персике. Автором высказано мнение, что этот вид обитал на таких дикорастущих растениях как ясень и дикая яблоня в лесах Восточной Грузии. Со временем он перешел на культурные растения.

В Узбекистане червек был обнаружен в 1938 г., а в 50-х годах стал серьезным вредителем ясения и плодовых культур в Ташкентской

и Самаркандской областях и некоторых районах Ферганской долины. По данным Юлдашевой [8], считается одним из вредоносных видов и наносит серьезный вред в садах Узбекистана.

На Апшероне, по нашим данным, яблоневый мучнистый червек причиняет значительный вред плодовым деревьям — таким как персик, абрикос, айва, алыча, яблоня, вишня, черешня, слива, а из декоративных деревьев сильно повреждает ясень. Из этих растений массовая зараженность отмечена на абрикосе, айве, персике, ясене.

Собираясь большими скоплениями в трещинах, на штамбах, в дуплах, по краям сруба ветвей, у основания черешка листьев, на плодоножках, под отстающей корой ветвей, червецы отсасывают сок из растений. При этом нарушаются омен веществ и сокодвижение в стволе, отмирают побеги, желтеют и преждевременно опадают листья, плоды. На сладкие выделения червеца собираются муравьи, образуются сажистые грибы, что сказывается на качестве плодов. Декоративные деревья теряют свой декоративный вид.

Яблоневый мучнистый червек — двуполый вид. Самки — бескрылые, овальные, розового цвета, сверху покрыты тонким слоем порошковидного воска. Самцы светло-коричневого цвета, имеют пару прозрачных крыльев, ротовой аппарат недоразвит, на конце брюшка две хвостовые нити. Продолжительность жизни самцов очень коротка ( $1.7 \pm 0.2$  дня), погибают после оплодотворения.

Зимуют личинки старших возрастов, под отстающей корой, в дуплах, трещинах, щелях, между ветвями деревьев. Зимующие личинки заканчивают свое развитие в апреле. В конце апреля — начале мая приступают к откладке яиц. При этом взрослые самки выходят из-под коры, собираются по краям дупел, срубов ветвей и трещин стволов. В этот период легко можно обнаружить зараженные деревья, так как основная масса червецов собирается на стволах. Летом они наблюдаются в верхних ярусах деревьев, собираются на развиликах ветвей, на плодоножках. Осенью основная масса опять спускается по стволу и собирается в трещинах, под отстающей корой для зимовки.

Перед яйцекладкой самки выделяют закрепляющее их на местах яйцекладки вещество, которое покрывает всю центральную поверхность тела. После смерти самок пятна от этого вещества долгое время сохраняются в виде белых кружочков. Самки откладывают яйца в яйцевые мешочки. По сравнению с другими видами мучнистых червецов яйцевой мешок (овисак) этого вида не очень большой (около 1м). Он наполнен желтыми яйцами, окружает брюшную часть. На Апшероне массовая яйцекладка происходит в первой декаде мая. Самка откладывает  $32.7 \pm 7.66$  яйца. Личинки первого возраста появляются во второй декаде мая. Отродившиеся личинки покидают яйцевой мешок, при помощи хорошо развитых конечностей активно продвигаются по стволу. Найдя место для питания, личинки присасываются к растению и теряют подвижность. Со второй декады июня личинки расселяются в основном в верхнем ярусе деревьев, что затрудняет их обнаружение. Массовый выход бродяжек наблюдается в третьей декаде мая. В начале июня личинки начинают линять и переходить во второй возраст. Массовый переход во второй возраст происходит во второй декаде июня. В это же время единично встречаются и личинки третьего возраста. Массовый переход в третий возраст падает на конец июня. Пе-

Фенологический календарь развития яблоневого мучнистого червеца и его паразита *Pseudeuphoricus phenacocci* Tash. на Апшероне.

УСЛОВНЫЕ ОБОЗНАЧЕНИЯ: — ЛИНЬКА I ВОЗРАСТА, = ЛИЧИНКА II ВОЗРАСТА, = ЛИЧИНКА III ВОЗРАСТА, + ЯЙЦО, + САМКА, ~~•~~ ВЗРОСЛАЯ СТАДИЯ ПАРАЗИТА, — ЛИЧИНКА ПАРАЗИТА,  $\ominus$  КУКОЛКА ПАРАЗИТА, ( ) ПЕРИОД МАССОВОСТИ.

генерацией червеца —  $65,6 \pm 3,4$  дня. Инкубационный период второй генерации —  $6,5 \pm 0,2$  дня. Выход бродяжек наблюдается в конце июля. В начале августа личинки переходят во второй возраст. Массовый переход в третий возраст происходит в конце августа, во взрослую стадию — в начале сентября, после чего самки откладывают яйца ( $111,2 \pm 11,2$  шт.). Вторая генерация червеца развивается за  $45,2 \pm 1,85$  дня. В середине сентября наблюдается выход бродяжек третьей генерации. Третья генерация червеца неполная, так как личинки второго и третьего возрастов в конце октября — начале ноября идут на зимовку.

На Апшероне яблоневый мучнистый червец дает два полных и одно факультативное поколение (См. фенологический календарь). В Узбекистане, по данным Юлдашевой [8], червец развивается в трех поколениях.

Нами выяснено, что *Phenacoccus mespili* Sing. на Апшероне имеет комплекс паразитов и хищников. Из паразитов выявлены *Pseudaphycus phenacocci* Jasn, *Aphycus hadzibeijli* Trjap. и *Allotropa mecrida* Walk. Из хищников зарегистрированы: *Chilocorus bipustulatus* L., *Chrysopa carnea* Step'я., *Zelcopis alticeps* Czerny. Из паразитов самым перспективным видом является *Pseudaphycus phenacocci* Jasn. Остальные виды паразитов и хищников встречаются единично и не имеют существенного значения в подавлении численности этого вредителя.

По данным Л. М. Рзаевой [4], паразитом яблоневого мучнистого червеца в Куба-Хачмасской зоне Азербайджана является *Aphytus hadzilejii* Trajap.

По данным Яснош [9], причиной слабой вредоносности червецов в Восточной Грузии являются деятельность таких специализированных паразитов, как *Pseudaphycus phenacocci* Jasn., *Aphycus hadzibeij-*и] Тгјар, которые полностью подавляют размножение вредителя. Оба эти вида описаны из Грузии. Они уничтожают от 75,8 до 82,3% личинок и самок яблоневого мучнистого червеца [10]. С учетом большой активности этих паразитов в Восточной Грузии и вредной деятельности яблоневого мучнистого червеца в Узбекистан в 1955—1956 гг. были переселены из Восточной Грузии паразиты яблоневого мучнистого червеца. Во все очаги яблоневого мучнистого червеца Узбекской биолабораторией было расселено около 1,5 млн. паразитов. Акклиматизация и успешное размножение паразита в природных условиях Узбекистана привели к резкому снижению вредоносности червеца, который до этого времени сильно повреждал плодовые культуры и ясень [6].

*Pseudaphycus plenacocci* Jasn. относится к семейству Encyrtidae надсемейства Chalcidoidea, отряда перепончатокрылых. Является перспективным паразитом яблоневого мучнистого червеца на Апшероне, уничтожая его  $73,81 \pm 4,51\%$ . Этот вид — внутренний паразит яблоневого мучнистого червеца, заражающий взрослые стадии личинок и самок. При вскрытии мумий яблоневого мучнистого червеца выяснилось, что в одной мумии развивается  $18 \pm 3,09$  паразита. По данным Яснош [9], в теле одной самки развивается до 46 паразитов. Каждая личинка паразита развивается в отдельных камерах. Зимует в личиночной стадии. В начале апреля личинки переходят в куколоч-

ную стадию. Массовый выход взрослых особей наблюдается в начале июня.

По наблюдениям Яснош [9], самцы этого вида встречаются сравнительно редко и очень похожи на самок. Встречаются как крылатые, так и бескрылые особи этого вида.

Вышедшие взрослые особи этого вида тотчас могут приступить к откладке яиц в тело хозяина. При этом червецы прекращают питание, кожный покров их твердеет и сморщивается. Одна генерация паразита развивается  $24,6 \pm 1,37$  дня. На Апшероне паразит дает 4 полных и 1 факультативное поколение. Полезная деятельность паразита на Апшероне проявляется в конце августа и в сентябре, когда процент поражаемости червеца этим паразитом достигает  $73,81 \pm 4,51\%$ . В первую половину лета степень заражения червеца этим паразитом невысока —  $32,66 \pm 6,62\%$ . Учитывая большую активность этого паразита и вредоносность яблоневого мучнистого червеца, мы планируем расселение паразита в те районы нашей республики, где он отсутствует.

#### Литература

1. Аветян А. С. Вредители плодовых культур в Армянской ССР. — Ереван, 1952, с. 3—181.
2. Арутюнова Е. С. Обзор фауны кокцид Азербайджана. — Баку: Азернешр, 1938.
3. Борхсениус Н. С. Фауна СССР. Насекомые хоботные, VII. — М.—Л., 1949.
4. Рзаева Л. М. Энтомофаги основных вредителей плодовых культур в Азербайджанской ССР. В кн.: Исследования по биологическому методу борьбы с вредителями сельского и лесного хозяйства. — Новосибирск, 1964, с. 175—177.
5. Русанова В. И. Материалы по изучению Coccidae (Homoptera) в Азербайджане. Труды АГУ им. С М Кирова, 1941.
6. Сонина А. К. В биологической лаборатории. — Защита растений, 1967, № 6, с. 50—51.
7. Тер-Григорьян М. А. Fauna Армянской ССР. Насекомые хоботные. Червецы и щитовки. Мучнистые червецы — Ереван, 1973.
8. Юлдашева Х. Ю. Яблоневый мучнистый червь. — Защита растений от вредителей и болезней, 1964, № 10, с. 54—55.
9. Яснош В. А. Переселение полезных насекомых. — Защита растений, 1961, № 3, с. 31—32.
10. Яснош В. А. О значении некоторых энтомофагов мучнистых червецов в Грузии. Материалы сессии Закавказского совета по координации научно-исследовательских работ по защите растений. — Ереван, 1967, с. 457—477.

#### С. И. Ибадова

#### АБШЕРОНДА АЛМА УНЛУ ЯСТЫЧАСЫ! (MURMACOCUS MESPILI SIGN) ВЭ ОНЫН ЭНТОМОФАГЛАРЫ

Мэгләдә көстәримшиздир ки, Абшеронда кениш яјылыш алма унлу ястычысы зәрәрвериши бир сырға мәвә вә базык биткиләри үзәринде геңә алынышдыр. Бүнләрдин эн соҳ зәрәрчәкәни арик, нејва, шафталы вә көјүрүш ағачларыдыр.

Ястыча Абшеронда иккى там вә бир тәрі-там иәсли верир. Бириңчи иәсли иккى шафы  $65 \pm 3,4$  күн, иккىнчи иәсли инишишафы исә  $45,2 \pm 1,85$  күнә баша чатыр.

Нәмчинин алма унлу ястычынын зәрәрли фазлийәттини гаричысы бир сырға си-томофаг тәрәфиндән алыныр ки, бүнләрдан да эн эшамијәтлеси псен-афикус фенакоксия паразитидир. Паразит  $73,81 \pm 4,51\%$  — ястычаны жолухдурур, маһв ед.

АЗӘРБАЙЧАН ССР ЕЛМЛӘР АҚАДЕМИЈАСЫНЫН ХӘБӘРЛӘРИ  
Биологика елмәри сериясы, 1985, № 1

ИЗВЕСТИЯ АКАДЕМИИ НАУК АЗЕРБАЙДЖАНСКОЙ ССР  
Серия биологических наук, 1985, № 1

УДК 597.15

Г. С. АББАСОВ, М. М. СЕИД-РЗАЕВ, Х. М. АСКЕРОВА

#### УЧЕТ И РАСПРЕДЕЛЕНИЕ МОЛОДИ ПРОМЫСЛОВЫХ РЫБ В МИНГЕЧАУРСКОМ И ВАРВАРИНСКОМ ВОДОХРАНИЛИЩАХ

Институт зоологии АН Азербайджанской ССР

В статье даются материалы, собранные за 1981—1983 гг., о колебании численности молоди, изменениях их массы по годам на единицу площади (100 кв. м) Мингечеаурского и Варваринского водохранилищ. Отмечаются сезонные изменения видового состава, качественного и количественного составов улова молоди и численное преобладание промысловых рыб.

Интенсивное развитие народного хозяйства теснейшим образом связано с регулированием стока рек и созданием водохранилищ различного назначения. В настоящее время неотложной задачей является рыбохозяйственное освоение всех типов водоемов, в том числе водохранилищ. К последним относятся уже давно созданные Мингечеаурское и Варваринское, которые неплохо изучены [1—5, 7—9].

Ихтиологические исследования проводились по общепринятой методике [10].

Одним из существенных условий рационального использования водоемов является правильное прогнозирование улова рыбы, что невозможно без знания видового состава, характера распределения отдельных видов, их количественного учета, а также учета урожайности молоди по годам.

Изучение качественного и количественного составов, а также распределения молоди в глубоководном, с колеблющимся уровенным режимом (до 15 м в году) и незаросшем Мингечеаурском водохранилище за 1981—1983 гг. показало, что из числа промысловой молоди в улове отмечены лещ, вобла, шемая, судак, сазан, жерех. Молодь таких видов как усач-ченари, сом, храмуля, белоглазка отсутствовала. Как и всегда, по урожайности доминировала молодь леща, второе и третье места делили между собой шемая и вобла. Остальные три вида составляли скромную долю улова. Так было в 1981 и 1983 гг., а в 1982 г. урожайность шемая по сравнению с двумя указанными годами снизилась катастрофически и стала почти на уровне численности жереха (табл. 1). То же самое наблюдалось при рассмотрении соотношения массы молоди из улова волокущей с берега.

Разница в численности и массе молоди может быть объяснена тем, что многочисленные виды оказались биологически более приспособленными к колеблющемуся уровенному режиму Мингечеаурского водохранилища. Этому способствовало также, кроме некоторых других равнозначных факторов (характер икрометания, отношение к субстрату и т. п.), совпадение срока откладки икры леща со сроком повышения горизонта воды в водохранилище и благодаря этому большее образование нерестовых участков, ранний нерест леща по сравнению даже с малочисленными видами (кроме судака), при котором значи-

тельно улучшается обеспеченность пищей; летний нерест шемаи, когда из-за отсутствия промыслового улова и заметного ослабления всяких других видов вылова в икрометании участвует максимальное количество маточного поголовья, самый ранний нерест воблы, хотя это происходит при низком уровне воды в водохранилище но, безусловно, влияет на повышение эффективности ее икрометаний, которая по характеру размножения относится к фитофильным рыбам.

К сказанному о разнице между численностью молоди леща, шемаи, воблы и сазана следует добавить, что имеющиеся сведения о количестве молоди сазана не соответствуют истинной численности этой рыбы. Низкий улов его молоди связан с особенностью поведения и неудовлетворительной уловистостью береговых активных орудий улова в водоеме с особым колеблющимся водным режимом.

Как видно из табл. 1, кроме молоди леща, воблы и шемаи, в количественном учете значатся еще 3 вида: жерех, судак и сазан. При анализе количественных данных бросается в глаза больше чем заметная малочисленность названных трех видов по сравнению с предыдущими. Среди малочисленных видов преобладает то молодь судака, то молодь жереха. Молодь сазана была представлена в улове в самом скромном количестве, что связано с указанными причинами.

При рассмотрении количественного распределения молоди по отдельным участкам водохранилища наибольшая концентрация молоди, по материалам 1981 г., отмечается на среднем и Алазанском участках Мингечаурского водохранилища, затем в Ханабадском заливе, на последнем месте стоит Куринский участок, где обычно отмечалась большая концентрация молоди за счет нереста рыб в Куре со ската молоди на этот участок. По материалам 1982 и 1983 гг., отмеченный характер распределения молоди несколько нарушается. Наибольшая концентрация за 1982 г. наблюдается на Алазанском участке, затем на расположенному рядом Куринском участке и в Ханабадском заливе, составляющем отдельный участок в нижней — противоположной части водохранилища. Срединный участок, занимающий первое место по урожайности по уловам 1981 г., оказался скучным. Результаты волокушечного улова 1983 г. показали иные данные. Наиболее богатым оказался улов в Ханабадском заливе, затем на Куринском и Алазанском участках. Улов на срединном участке, как и в 1982 г., оказался сравнительно низким (табл. 2).

Что касается видового распространения молоди рыб по отдельным участкам водохранилища, то молодь самой многочисленной рыбы — леща за 1981—1982 гг. доминировала на Алазанском участке, а в Ханабадском заливе и в средней части водохранилища, по данным 1981 г., отмечалась примерно в одинаковом количестве, в то время как по данным 1982 г. наименьший улов молоди леща отмечался на срединном участке водохранилища, а в Куринском участке улов был богаче, нежели в Ханабадском заливе (табл. 2). По материалам 1983 г., наибольшее скопление молоди леща зарегистрировано в Ханабадском заливе и Алазанском участке, Куринской и Срединный участки мало отличались между собой.

Видовое распределение других видов молоди иллюстрируется данными табл. 2, и вряд ли есть необходимость останавливаться над объяснением причин разной их численности и распространении по от-

Таблица 1

Количество и общая масса молоди промысловых видов рыб в Мингечаурском водохранилище

Вид	Общее кол-во молоди на 100 м <sup>2</sup> , 963			Общая масса молоди на 100 м <sup>2</sup> , г			Соотношение с другими видами, %					
	1981 г.		1932 г.	1981 г.	1932 г.	1933 г.	1981 г.		1932 г.	1981 г.	1932 г.	
	1981 г.	1932 г.	1933 г.	1981 г.	1932 г.	1933 г.	масса	кол-во	масса	кол-во	масса	кол-во
Лещ	1398	1464	1490	18090	27622	26150	63,6	55,4	74,6	74,8	50,0	62,5
Вобла	474	344	354	4270	4460	5538	15,0	18,8	17,5	12,2	10,5	15,0
Шемая	522	54	394	1428	192	17124	5,0	20,6	2,8	5,3	32,6	16,6
Жерех	48	58	54	1580	2618	1478	5,6	1,9	3,0	7,0	2,8	2,2
Судак	72	28	88	2458	238	1756	8,7	2,8	1,5	0,5	3,0	3,6
Сазан	12	10	6	640	770	10	2,1	0,5	0,6	0,2	1,0	0,1
ВСЕГО	2526	1958	2386	28466	35900	52046	100,0	100,0	100,0	100,0	100,0	100,0

Таблица 2

Количественное распределение молоди промысловых видов рыб на различных участках Мингечаурского водохранилища, экз.

Вид	Алазанский		Куринский		Средний		Ханабадский		Всего	
	1981 г.		1982 г.		1983 г.		1983 г.			
	1981 г.	1982 г.	1982 г.	1983 г.	1981 г.	1982 г.	1981 г.	1982 г.		
Лещ	230	335	205	120	202	140	180	85	120	
Вобла	15	75	52	20	42	68	54	25	7	
Шемая	11	50	27	39	25	95	58	14	60	
Жерех	4	12	10	2	5	5	3	7	2	
Судак	7	8	14	3	3	15	—	6	5	
Сазан	2	2	1	—	3	—	—	—	2	
Усац	1	—	—	—	—	—	—	—	1	
ВСЕГО	270	502	309	184	280	323	295	137	196	
Кол-во молоди на единицу орудий лова, %	8,2	15,2	9,4	5,5	8,6	9,8	8,9	4,1	5,9	
									100,0	

дельным участкам водохранилища, во-первых, в связи с их малочисленностью, во-вторых, в связи с тем, что разная урожайность и неравномерное распространение молоди обуславливается прежде всего нестабильным уровенным режимом Мингечаурского водохранилища.

В отличие от Мингечаурского Варваринское водохранилище является мелководным, заросшим и неглубоким, за исключением самой русловой части (до 15—20 м). В нем обитают 30 видов и 2 гибрида рыб [6].

За период исследований в уловах волокушки было отмечено 10 видов рыб, из коих 6 видов промысловых (лещ, вобла, сазан, шемая, судак, жерех), 4 вида непромысловых и сорных (куринская и закавказская уклейки, густера, горчак).

Обычно принято считать, что заросших, не очень больших ( $21,4 \text{ км}^2$ ), в основном мелководных водоемах сорные рыбы развиваются интенсивнее промысловых, поэтому и здесь численность их должна была быть высокой. Но в Варваринском водохранилище численное превосходство имеет молодь промысловых видов, которая за период исследований преобладала над непромысловыми и сорными в 1,5—5 раз.

Количественное и качественное соотношения молоди промысловых с непромысловыми и сорными рыбами, выловленных мальковой волокушей, приводятся в табл. 3, откуда видно, что весной в уловах было отмечено 9 видов рыб. Качественный состав молоди промысловых, непромысловых и сорных рыб был почти равным (промысловых на 1 вид больше), а по количественному составу промысловые преобладали в 1,2 раза. Среди молоди промысловых видов основную массу (97,4%), как и в Мингечаурском водохранилище, составляет молодь леща, затем воблы. Разница в численности молоди леща и воблы в Варваринском водохранилище гораздо слабее по сравнению с Мингечаурским. Молодь остальных видов отмечена в незначительных количествах. Среди непромысловых и сорных рыб ведущим оказались куринская и закавказская уклейки, а густера и горчак отмечены единичными экземплярами.

Летом общая численность молоди в пересчете на один замет по сравнению с весной несколько уменьшилась, в то время как численность молоди промысловых рыб, наоборот, увеличилась, преобладая над непромысловыми более чем в 4 раза. Видовой состав увеличился на один вид — в единичных экземплярах появилась шемая. В уловах за лето, как и весной, ведущее место по численности занимает молодь леща, молодь воблы отмечено в 2 раза меньше. Значительно увеличилась численность молоди жереха. Молодь сазана, шемая и судака отмечены в скромном и одинаковом количестве.

Среди непромысловых и сорных рыб в противоположность весне, когда доминировала куринская уклейка, летом несколько превалировала закавказская уклейка, третье место занимают горчак и густера. Осенью, как и следовало ожидать, уменьшились видовой состав (на 3 вида) и численность молоди. Из промысловых отмечены лещ, вобла, единичными экземплярами — сазан и жерех, а из непромысловых и сорных рыб отсутствует густера.

Как и в другие сезоны года, осенью численно (более 5 раз) преобладала молодь промысловых видов, среди которых, как всегда, ведущее место занимает молодь леща, составляя 46,0% от общего улова, 55,0% от промысловых видов. Второе место приходилось на долю молоди воблы, которая составляла 36,0% от общего улова и 44,3% от промысловых рыб. Молодь сазана и жереха отмечена единичными экземплярами.

Среди непромысловых и сорных рыб ведущей была закавказская уклейка, а куриная уклейка и горчак выловлены в одинаковом количестве (табл. 3).

Таблица 3

Качественный и количественный состав уловов молоди рыб в Варваринском водохранилище (в пересчете на один замет волокушки)

Вид	Весна		Лето		Осень		Среднее	
	экз.	%	экз.	%	экз.	%	экз.	%
Лещ	63,8	30,4	97,3	52,3	73,4	46,0	78,2	42,2
Вобла	52,4	24,9	45,0	24,2	59,0	36,9	52,1	28,1
Сазан	1,3	0,6	0,6	0,3	0,4	0,25	0,8	0,4
Шемая	—	—	0,6	0,3	—	—	0,2	0,1
Жерех	1,2	0,6	5,6	3,0	0,4	0,25	2,4	1,3
Судак	0,6	0,3	0,7	0,4	—	—	0,4	0,2
Итого промысловые	119,3	56,8	149,8	80,5	133,2	83,4	134,1	72,3
Куринская уклейка	57,0	27,1	15,7	8,5	7,0	4,4	26,6	14,4
Закавказская уклейка	31,2	14,9	16,6	8,9	12,6	7,9	20,9	10,0
Густера	0,9	0,4	1,0	0,5	—	—	0,6	0,3
Горчак	1,7	0,8	3,0	1,6	6,8	4,3	3,8	2,1
Итого непромысловые и сорные	90,8	43,2	36,3	19,5	26,4	16,6	51,2	27,7
ВСЕГО	210,1	100,0	186,1	100,0	159,6	100,0	185,3	100,0

Таким образом, в Варваринском водохранилище среди промысловых видов многочисленной оказалась молодь леща, среднечисленной — молодь воблы, малочисленной — судака и жереха, редкой — шемая. По характеру размножения виды многочисленные и средней численности относятся к фитофильным рыбам, малочисленные — к фитофильным (судак) и лиофильным (жерех, шемая). Степень соответствия биологии отдельных видов рыб режиму Варваринского водохранилища и определяет их численность. Например, фитофилы многочисленны, а лиофили малочисленны из-за того, что в Варваринском водохранилище фитофильный биоценоз занимает более 75,0% всей площади водоема, а песчано-галечные участки имеются только на верх-

нем небольшом речном участке. Кроме того, малочисленные литофилы (жерех, шемая) в соответствии со своим приходным образом жизни, вероятно, больше уходят из водохранилища в Куру через невысокую плотину Варваринской ГЭС.

Среди сорных видов многочисленными являются куринская и закавказская уклейка, малочисленными — горчак и густера.

По видовому распределению молоди по отдельным участкам Варваринского водохранилища различий между нижней и средней частями водохранилища почти не отмечается, а в верхней части во все сезоны года численно преобладает молодь промысловых видов, в большинстве случаев составляя 2/3 улова. Особенно в самой верхней речной части больше всего вылавливается молодь леща, затем воблы. Малочисленные виды (судак, жерех, шемая) больше всего попадаются в речной части, где всегда имеется течение, грунт галечный, а растительность, за исключением отдельных небольших береговых участков, отсутствует.

#### Литература

1. Аббасов Г. С. Биология воблы в Мингечаурском водохранилище. — Изв. АН Азерб. ССР, серия биол. и сельхоз. наук, 1958, № 4, с. 77—84.
2. Аббасов Г. С. Сезонное распределение молоди рыб Мингечаурского водохранилища. — Изв. АН Азерб. ССР, серия биол. и сельхоз. наук, 1959, № 2, с. 71—78.
3. Аббасов Г. С. Распределение и количественный учет молоди рыб в Мингечаурском водохранилище. Сб.: Биология Мингечаурского водохранилища. — Баку, Изд-во АН Азерб. ССР, 1963, с. 52—64.
4. Аббасов Г. С., Али-заде Х. М. Сезонное изменение количественного и качественного состава молоди рыб в Варваринском водохранилище. — Изв. АН Азерб. ССР, серия биол. наук, 1972, № 1, с. 64—71.
5. Аббасов Г. С., Сеид-Рзаев М. М. Адаптация леща (*Abramis brama orientalis* Berg) в Мингечаурском водохранилище. Тез. Третьего Европейского ихтиологического конгресса (18—25 сентября). — Варшава, 1979, с. 3.
6. Абдурахманов Ю. А. Об экологических особенностях рыб Мингечаурского и Варваринского водохранилищ. Сб.: Биологическая продуктивность Куринского-Каспийского рыболовного района. — Баку: Изд-во АН Азерб. ССР, 1967, с. 198—211.
7. Абдурахманов Ю. А., Сеид-Рзаев М. М. Количественное распределение молоди рыб в Мингечаурском водохранилище. Изв. АН Азерб. ССР, сер. наук о Земле, № 5, с. 57—61, 1976.
8. Абдурахманов Ю. А., Сеид-Рзаев М. М. Распределение и численность рыб Мингечаурского водохранилища. Сб.: Биология Каспийского моря в новых экологических условиях. — Баку, Изд-во АН Азерб. ССР, 1978, с. 149—174.
9. Али-заде Х. М. Количественный учет молоди рыб Варваринского водохранилища. Матер. научно-техн. конф. молодых ученых. Баку, 1970, с. 79—82.
10. Правдин И. Ф. Руководство по изучению рыб. — М.: «Пищевая промышленность», 1966.
11. С. Аббасов, М. М. Сеидрзаев, Х. М. Эскерова

#### МИНКЭЧЕВИР ВӘ ВАРВАРА СУ АНБАРЛАРЫНДА ВӘТӘКӘ ЭҢӘМИЛЛӘТИ ОЛАН ҚӨРПӘ БАЛЫГЛАРЫН ҺЕСАБА АЛЫНМАСЫ ВӘ ЙАЛЫЛМАСЫ

Мәгәләдә Минкәчевир вә Варвара су анбарларында 1981—1983-чү илләрдә қөрпә балыгларын нөв тәркиби вә еңтияты нағтында топланмыш материаллар шәрх едилир. Айры-айры илләрдә Минкәчевир су анбарындан элдә едилемиш материаллар су анбарынын вайни саһәсина дүшән мұхталиф ниссалари үзә, еләә дә бир ов аләтилә тутулма мигдарына эсасан жазылмышдыр. Варвара су анбарында да һәмни нөвләрин олдуғу, вәтәкә эңәмилләти олан нөвләрин чохлуғу, су анбарынын мұасир һидробиологи режимларын алагәли сурәтдә изағ едилир. Бурада вәтәкә эңәмилләти олмайсан балыглар нағтында да элдә едилемиш материаллар вәтәкә эңәмилләти оланларла мұгаисәли сурәтдә вәрилмишиләр.

Т. Р. АЛИЕВ, Ф. Р. ГАНИЕВ

**РАСПРОСТРАНЕНИЕ И ЭКОЛОГО-МОРФОЛОГИЧЕСКИЕ  
ОСОБЕННОСТИ СТЕПНОЙ ГАДЮКИ—*Vipera ursini* Bonaparte,  
1835 В АЗЕРБАЙДЖАНЕ**

Институт зоологии Академии наук Азербайджанской ССР

На основе обработки собранных материалов и коллекционных фондов Зоологического института АН СССР выяснена географическая изменчивость степной гадюки. Экологические особенности вида изучены на основе данных, собранных с 1971 по 1983 г. в различных природных зонах Азербайджана.

Из нескольких известных подвидов степной гадюки на Кавказе, в частности, в Азербайджане встречается восточный подвид *Vipera ursini renardi* Christoph, 186.

Результаты наших исследований наружных морфологических признаков 64 особей из различных районов Азербайджана и Калмыкии (коллекционные материалы Зоологического института АН СССР) приведены в таблице.

По нашим данным, максимальные размеры половозрелых самцов достигают 490 (в среднем 362 мм), самок — 510 (в среднем 381 мм). Отношение длины тела к длине хвоста у самцов и самок соответственно равно в среднем 8 и 9,3. Половой диморфизм обнаруживается в числе брюшных щитков (у самцов 127—169, в среднем 147; у самок 137—171, в среднем 153) и в числе пар подхвостовых (у самцов 23—51, в среднем — 36; у самок — 27—43, в среднем 37). В других признаках чешуйчатого покрова особых различий не наблюдается.

Сравнение некоторых признаков степных гадюк из Азербайджана и Калмыкии показало наличие у этого вида в пределах изученного нами ареала определенной географической изменчивости. Так, число брюшных и подхвостовых щитков у особей из Калмыкии заметно ниже, чем в Азербайджане (таблица).

**Распространение.** Степная гадюка в пределах Азербайджана распространена в северо-восточной, северной и юго-восточных частях.

**Кадастр к рис. 1**

1 — Карагата Шекинского района (Никольский, 1916); 2 — Шемахинский район (без точного указания места находки, Верещагин, 1938); 3 — окр. Шемахи (Алекперов, 1978); 4 — с. Дамирчи Шемахинского района (эксп. АзФАН, VII, 1937, по Джабарову, 1948); 5 — окр. Шемахи (эксп. АзФАН, 1937); 6 — Ахсу (Шарифов, 1969); 7 — окр. с. Кюю Шахбузского района (эксп. АзФАН, 1947; наши наблюдения); 8 — Шахбузский район (колл. ЗИН АН Арм. ССР, по Алекперову, 1970); 9 — окр. с. Ахмедбейли Шекинского района (колл. Музея Грузии; наши наблюдения); 10 — близ с. Кыз-Юрду (Шелковников, 1910; наши наблюдения); 11 — окр. с. Алтыагач (Р. Эффенди, 1981); 12 — близ с. Келвез (наши материалы); 13 — с. Джони (наши материалы);

**Морфологические признаки степной гадюки—*Vipera ursini* Bonaparte, 1835**

Признак	Азербайджанская ССР		Калмыкская АССР	
	самки $M \pm t_a$	самцы $M \pm t_a$	самки $M \pm t_a$	самцы $M \pm t_a$
L	351±14,8 : 83	362±14,7 : 84	356±12,2 : 72,1	360±18,6 : 87,5
Lcd	35±1,3 : 73	45±5,2 : 30	39±1,4 : 8	47±1,9 : 10
L — Lcd	9,3±0,25 : 1	8±0,32 : 1	9±0,23 : 1	7,7±0,2 : 1,1
Macca	225±12,3 : 68	255±10,0 : 57	—	—
Ventr.	153±1,7 : 0,9	147±2,1 : 1,2	146±0,43 : 2	145±0,6 : 2,9
Sub. ed	37±0,9 : 0,5	36±1,1 : 6	27±0,7 : 4	31,5±0,9 : 4,4
Sgi	27±0,30 : 0,1	23±0,28 : 1	22±0,10 : 0,6	23±0,04 : 0,4
Sgs	20±0,18 : 0,09	20±0,12 : 6	21±0,04 : 0,2	21±0,04 : 0,2
Sga	16±0,09 : 0,05	16±0,07 : 0,4	17±0,05 : 0,3	17±0,02 : 0,1
Lab	8,9±0,07 : 0,04	9±0,7 : 0,3	8,4±0,09 : 0,5	8,7±0,12 : 0,54

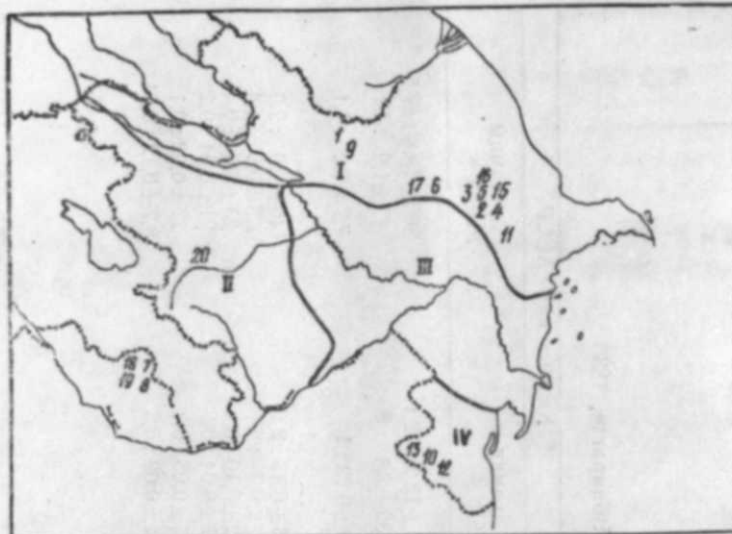


Рис. 1. Природные области: I — Большой Кавказ; II — Малый Кавказ; III — Кура-Араксинская; IV — Ленкоранская.

14 — с. Ханкенд Шемахинского района (наши материалы); 15 — с. Орта-Булаг Шемахинского района (наши материалы); 16 — уроцище Едди-Кумбез того же района (наши материалы); 17 — Ахсунинский перевал (наши материалы); 18 — окр. с. Коланы Шахбузского района (наши материалы); 19 — у оз. Батабат Шахбузского района (наши материалы); 20 — на Малом Кавказе в пределах Кедабекского, Лачинского и Кельбаджарского районов (наши предположения).

**Экология степной гадюки.** Стации и количественные данные: по литературным данным [13], степная гадюка в Калмыцкой АССР, Средней Азии и Монголии обитает в низменных местах. В условиях Азербайджана была встречена нами в кустарниках, на субальпийских и альпийских лугах, в горных редколесьях в зоне 700—1200 м, на каменистых россыпях и в горных степях. В горы поднимается до высоты 2000—3500 м над ур. м.

В Шахбузском районе она придерживается в основном (более 60% встреченных особей) степной зоны, россыпей камней и низкорослых трав, а в Лерикском районе (Кызы-Юрду) — мелких кустарников, пастбищ и скалистых участков. В Шемахинском районе мы находили ее на каменистых склонах.

В зависимости от сезона и наличия кормовой базы змеи перемещаются из одного биотопа в другой. Так, ранней весной (конец марта — начало апреля) мы встречали их обогревающимися на больших камнях группами до 10—12 особей. В летнее время они переходят на травянистые участки, где мы находили их под стогами сена.

Численность степной гадюки на территории Азербайджана невысока. В Шемахинском районе в отдельных биотопах на 10 га площади встречаются 1—2 экз., в редких случаях — до 4—5. В Шекинском районе на такой же площади встречаются в среднем 0,8—1 особь. В окрестностях с. Коланы Шахбузского района на каждый 1 га характерной площади попадается 5—6, иногда — до 10 особей данного вида. В Лерикском районе численность степных гадюк незначительна.

Таким образом, степная гадюка является самой малочисленной из ядовитых змей, обитающих в Азербайджане. Биомасса ее также невысока.

**Сезонный цикл активности:** первые особи степных гадюк наблюдались нами 5 апреля 1971 г. в окр. с. Орта-Булаг Шемахинского района при температуре воздуха 19°C. Температура тела змеи при этом немного превышала температуру воздуха (20°C), а температура почвы достигала 23°C. Массовое пробуждение змей от зимней спячки наблюдалось 15—20 апреля. Последние активные степные гадюки встречены на поверхности 20 сентября 1971 г. в Шахбузском районе Нахичеванской АССР.

**Суточный цикл активности:** начиная с конца марта до последних дней мая степная гадюка активна только днем, с 9—10 часов утра до 17—18 часов вечера (рис. 2). В этот период их можно встретить парами и по 3—5 особей вместе.

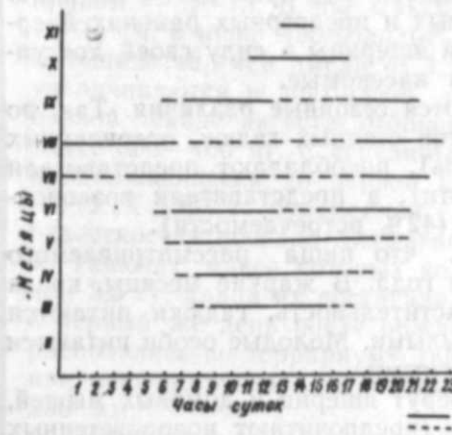


Рис. 2. Суточный цикл активности степной гадюки: 1 — активность; 2 — покой.

В июне гадюки встречаются на поверхности только до 10 и после 18 часов. В июле—августе они переходят на сумеречно-ночную активность, днем встречаются лишь в укрытиях или после продолжительных дождей. В первых числах сентября гадюки снова появляются рано утром (в 8—10 часов) и в зависимости от температуры воздуха остаются активными в течение всего дня. В этом месяце они встречаются на поверхности даже в очень пасмурную погоду.

В октябре гадюки держатся в основном вблизи убежищ, где подолгу лежат, грязясь на солнце. С понижением температуры воздуха уходят на зимовку. Однако не исключено, что голодные и встревоженные змеи могут попадаться на поверхности в любое время года.

**Питание:** сведений по питанию степной гадюки в условиях Азербайджана очень мало. Так, в работах [1, 2] имеются данные о вскрытии 22 экземпляров гадюк, добывших в Шемахинском районе, у которых в желудках были найдены остатки насекомых и комки шерсти грызунов. Достаточно сведений по этому вопросу имеется в других частях ареала, в частности, в Средней Азии [8, 11, 14, 15].

По нашим данным, степная гадюка питается в основном насекомыми — прямокрылыми и жестокрылыми, а также пауками и некоторыми другими беспозвоночными. Из млекопитающих в пище гадюк встречаются в основном мелкие грызуны — полевки (обыкновенная, обще-

ственная и снежная) и лесные мыши. Из пресмыкающихся в рационе данного вида встречены в основном средняя и различные скальные ящерицы, которые поедаются в весенний период.

Как показывает анализ содержимого 30 желудков гадюк, пойманых весной и летом в горных и высокогорных районах Азербайджана, в их рационе преобладают позвоночные животные (встречены в общем в 20 желудках — 69,9%), а беспозвоночные найдены всего в 12 желудках (40% встречаемости). Съеденные насекомые являются наиболее крупными представителями класса, из них саранчевые составляют 10%, кузнечиковые — 13,3%, жуки-чернотелки — 6,6% и прочие насекомые — 10%. В 8 желудках обнаружены ящерицы, составляющие 26,6% от общего количества встреч. Грызуны найдены в 9 желудках, что составляет 30% встречаемости. Представители отряда воробынных встречены всего в 3 желудках (10% встречаемости).

По данным [8], в Средней Азии степная гадюка питается в основном беспозвоночными (98%), а оставшиеся 2% приходятся на долю ящериц. По нашим материалам, в горных и предгорных районах Азербайджана в весенний период грызуны и ящерицы в силу своей доступности поедаются гадюками чаще, чем насекомые.

В рационе данного вида наблюдаются сезонные различия. Так, по анализу 24 желудочно-кишечных трактов степных гадюк, отловленных в летне-осенний период (июнь—октябрь), преобладают представители класса насекомых (79,1% встречаемости), а представители позвоночных обнаружены всего в 10 желудках (42% встречаемости).

Приведенные данные показывают, что пища рассматриваемого вида заметно меняется в разное время года. В жаркие месяцы, когда почти полностью выгорает степная растительность, гадюки питаются многочисленными в это время прямокрылыми. Молодые особи питаются исключительно беспозвоночными животными.

В неволе степные гадюки охотно берут ящериц и домовых мышей, позже привыкают и к белым мышам (предпочитают новорожденных мышат).

Размножение: состав популяции степной гадюки примерно равен 1:1 и меняется в связи с размножением (весной чаще попадаются самцы, осенью — самки). По данным [15], половозрелость у степных гадюк обычно наступает на третьем году жизни при достижении самцами длины тела 305 мм, самками — 310—315 мм, реже — при меньших размерах, что подтверждается и нашими данными в условиях Азербайджана. Спаривание гадюк наблюдается обычно в середине мая. Самое раннее спаривание мы наблюдали 6 мая 1970 г. в Шемахинском районе, а затем — 20 мая в том же районе.

Время спаривания сильно зависит от сроков пробуждения которое определяется климатическими условиями. Например, в 1972 г. до 20—25 мая мы не встречали ни одной степной гадюки, тогда как в последующие годы к этому сроку спаривание уже заканчивалось. Это объясняется холодной и затяжной зимой 1972 г.

В мае максимальные размеры семенников достигали 40×8 мм, минимальные — 15×5 мм. В то же время у 15 степных гадюк, пойманых в июне, максимальные размеры семенников достигали 22×6 мм, а минимальные — 10×4 мм. Этот процесс уменьшения семенников продолжается до начала сентября. С сентября семенники увеличиваются в размерах и достигают максимума в октябре (54×14 мм).

Таким образом, в условиях Азербайджана размеры семенников степной гадюки увеличены дважды: весной (в конце апреля—мае) и осенью (в сентябре—октябре). В остальное время (с июня до августа) семенники имеют минимальные размеры, то есть находятся в состоянии покоя. Во время зимней спячки, продолжающейся 4—5 месяцев, размеры семенников почти не меняются, но в апреле наблюдается значительное их увеличение (до 60×18 мм).

Жировые запасы весной (апрель—май) достигают максимума — 500—568 мг, в июне—июле — уменьшаются до 200 мг (иногда жировых запасов не имеется вовсе), к осени они опять увеличиваются в размерах (до 700—820 мг).

К концу апреля фолликулы самок уже заметно развиты, сохраняя увеличенные размеры с осени. В это время максимальные их размеры 8×5, минимальные 1×1 мм. Количество фолликулов равно 1—20, чаще — 10—13 (у 65%). Как правило, в левом яичнике 1—8 фолликулов, в правом — 3—13. В мае максимальные размеры фолликулов достигали 13×6 мм, в июне наблюдалась оплодотворенные яйца. В подавляющем большинстве змеи имели от 1 до 9 яиц. В конце июня яйца заметно увеличиваются и достигают размеров 18×10 мм. К концу июля — первой декаде августа эмбрионы достигают длины 120—129 мм при массе 300—400 мг. С серединой августа начинается появление молодых, продолжающееся до первой половины сентября.

2.IX 1981 г. беременная самка степной гадюки (пойманная в окрестностях поселка Алтыагач в июне того же года) в неволе родила 19 гадючат, масса которых колебалась в пределах 3,1—4,8 г (в среднем 3,5 г), длина их достигала 142—190 мм (в среднем 150). Гадючата в первый же день после рождения начали линять, а спустя 5—6 дней расползлись по террариуму (видимо, в поисках пищи). После достижения месячного возраста их выпустили в природу при длине тела 228—230 мм.

Линька: у степных гадюк происходит три раза в год: в конце апреля—мае, в июле и в сентябре. Молодые гадючата линяют чаще взрослых. Новорожденные линяют сразу же после появления на свет. Обычно гадюки линяют целиком, больные и голодные змеи сбрасывают кожу кольями. В неволе гадюки линяют чаще, чем в природе.

Поведение и убежища: степная гадюка — относительно быстрая змея. При встрече с человеком старается скрыться в первом попавшемся укрытии (норы грызунов, трещины почвы и т. п.). Если это не удается, пытается защищаться, тихо шипя и выбрасывая переднюю часть тела в сторону врага.

Зимуют почти всегда в одном и том же убежище группами или парами (иногда — с другими змеями, жабами и прочими животными).

К неволе привыкают очень быстро.

В заключение хочется отметить, что степная гадюка в Азербайджане распространена спорадически и численность ее невелика. Поэтому использовать данный вид для производственных целей невозможно. Необходима строгая охрана степной гадюки в пределах ареала.

#### Литература

1. Алексперов А. М. О фауне земноводных и пресмыкающихся окрестностей Шемахи. Труды АГУ им. С. М. Кирова, серия биол., т. IV, 1951.

2. Алекперов А. М. Ядовитые змеи Азербайджана и вопросы состояния их охраны. В сб.: Ядовитые животные и их яды. Материалы среднеазиатской конференции. — Изд-во АН Узбек. ССР, 1970.
3. Алекперов А. М. Земноводные и пресмыкающиеся Азербайджана. — Баку: Элм, 1978.
4. Алиев Т. Р. К изучению некоторых ядовитых змей Азербайджана. В сб.: Вопросы герпетологии. Л., 1973.
5. Алиев Т. Р. Ядовитые змеи Азербайджана (фауна и экология). Автореф. канд. дисс. — Баку, 1974.
6. Андрушко А. М. Методика и техника количественного учета пресмыкающихся. — Вопросы экологии и биоценологии, 1936, № 3.
7. Банников А. Г. и др. Определитель земноводных и пресмыкающихся фауны СССР. — Наука, 1977.
8. Богданов О. П. Экология пресмыкающихся Средней Азии. — Ташкент, 1965.
9. Верещагин Н. К. Отчет экспедиции 1937 года. — Изв. АзФАН СССР, 1938, вып. 3.
10. Джагаров Р. Д. Пресмыкающиеся Азербайджанской ССР (Herpetologia Azerbaidzhanica). Труды Естественно-исторического музея АН Азерб. ССР, 1949, вып. III.
11. Коваленко Г. В. Степная гадюка. Автореф. канд. дисс. — АН Казахской ССР, 1952.
12. Никольский А. М. Пресмыкающиеся и земноводные Кавказа. Изд-во Кавказского музея. — Тифlis, 1913.
13. Терентьев П. В. и Чернов С. А. Определитель пресмыкающихся и земноводных. — М.: Советская наука, 1949.
14. Фомина М. И. О питании степной гадюки в весенне-летний период. — Зоол. журн. АН СССР, 1965, т. XIV.
15. Фомина М. И. Роль жировых накоплений в размножении степной гадюки. В сб.: Ядовитые животные Средней Азии и их яды. — Материалы Среднеазиатской конференции 1—3 октября, 1970.

Т. Р. Элиев, Ф. Р. Ганиев

**АЗЭРБАЙЧАНДА ЧӨЛ КҮРЗЭСИНИН (Vipera ursini Bonaparte, 1853) ЖАЫЛМАСЫ ВӘ МОРФО-ЕҚОЛОЖИ ХҮСУСИЈАТЛЭРИ**

Мәгәләдә илк даға олар өчүн күрзәсінин 10 харичи морфологи әлемдәтләрнин мұғаисасы сурәтдә анализи иәтичесінде чөнграфи дәйишкәнлиji ашқар едилмишdir. Биометрик үсулла тәдгиг олунмуш иәтичаләр чәдвәл шәклинде верилир. Бурада чөл күрзәсінин екологиялық жаылымасы (кадастрында), жашақыш, јери, сағ динамикасы, мөвсүм вә қындалик фәаллышы, сохалымасы, еләңә дә габыг дәжишилмәсі процессын тәдгигатлара әсасен араштырылып.

Інамчинин чөл күрзәсінин гида таркиби физиологиялықтарынан иә ојренилір. Чөл күрзәсінин сақынын кетдикча азалымасы нәзәрә алынараг онун горунымасы төвсізде олунур.

АЗЭРБАЙЧАН ССР ЕДМЛЭР АКАДЕМИЈАСЫНЫН ХӘБӘРЛӘРИ  
Биология елмәрни сериясы, 1985, № 1

ИЗВЕСТИЯ АКАДЕМИИ НАУК АЗЕРБАЙДЖАНСКОЙ ССР  
Серия биологических наук, 1985, № 1

УДК 634.38:14:151

М. О. АЛИЕВ

**ДЕЙСТВИЕ ХИМИЧЕСКИХ ВЕЩЕСТВ НА ИЗМЕНЧИВОСТЬ РЕПРОДУКТИВНЫХ И ВЕГЕТАТИВНЫХ ОРГАНОВ РАЗНОПЛОИДНОЙ ШЕЛКОВИЦЫ**

*Институт генетики и селекции АН Азербайджанской ССР*

Исследовано действие химических веществ алара, тура, янтарной кислоты, эскулена, норена, морена и кинетина на изменчивость параметров различных органов растений. В опыте использовались диплоидные и тетраплоидные шелковицы. Установлено стимулирующее и отрицательное действие различных концентраций этих химических веществ на изменчивость параметров соплодий и листа, а также на процент выхода здоровых семян.

Результаты испытания ростовых веществ как за рубежом, так и в нашей стране показали, что они обладают высокой физиологической активностью и оказывают значительное положительное влияние на изменчивость развития растений, ускоряют цветение, изменяют пол соцветий растений, стимулируют скрещивание между отдельными видами растений [1—16].

Изучались действия водных растворов алара, тура, янтарной кислоты, эскулена, норена, морена и кинетина на изменчивость параметров репродуктивных и вегетативных органов разнопloidных форм шелковицы. Действие этих химических веществ в этом направлении в литературе еще не освещалось. Выявлено, что различные концентрации названных химических веществ действуют на изменчивость параметров соплодий и семян, процент выхода здоровых семян, на изменчивость параметров листа диплоида Ширели-тут и тетраплоида КС 5—72 (таблица).

27 апреля 1982 г. на плантации шелковицы Апшеронской экспериментальной базы Института проводилась обработка генеративных женских соцветий диплоидного сорта Ширели-тут и тетраплоида КС 5—72 водным раствором алара, тура, янтарной кислоты, эскулена, норена, морена и кинетина заданной концентрации (таблица) в фазе массового цветения. Контролем служила вода. Химические вещества любезно представил нам сотрудник Института ботаники АН Азербайджанской ССР М. Р. Курбанов.

Каждый вариант изолировался марлевыми мешочками для полной сохранности созревающих соплодий от высыхания при господствующих на Апшероне ветрах.

8 июня при массовом созревании соплодий проводился одновременно сбор соплодий и листьев для анализа.

**Алар.** Водные растворы влияли на изменчивость параметров соплодия диплоида сорта Ширели-тут: положительно на средний вес соплодия (увеличение от 9,0 до 61,2%) и незначительно улучшали процент выхода здоровых семян, что имеет важное значение в селекции. В связи с ускоренным развитием женских соцветий под воздействием

Таблица 1  
Влияние химических веществ на репродуктивные и вегетативные органы шелковицы

Концен- трация, % сред- ний вес, г	Соплодия			Листья			Здоро- вые семена, %	Масса 1000 шг. семян, г
	% к конт- ролю	д. ш. плодоножки, см	средний вес, г	% к конт- ролю	д. ш. черешка, см			
1	2	3	4	5	6	7	8	9
0,10	2,13	61,2	3,40x1,40—0,97	1,33	33,0	8,87x6,66—3,83	72,0	1,35
0,15	1,60	21,2	2,73x1,53—0,83	1,35	35,0	8,90x6,70—3,85	77,0	1,35
0,20	1,50	13,6	2,90x1,63—0,89	1,65	65,0	6,90x7,00—3,85	77,0	1,35
0,25	1,44	9,1	2,27x1,70—1,17	2,43	143,0	14,9x9,67—3,77	76,0	1,50
Контроль	1,32	—	2,67x1,70—1,17	1,00	—	7,10x6,82—2,24	70,0	0,90
0,10	2,48	24,0	3,30x2,03—0,73	4,33	30,0	14,8x12,2—4,66	72,0	1,40
0,15	2,50	25,0	3,80x1,80—0,73	4,40	32,1	16,4x10,0—5,50	65,0	0,95
0,20	3,65	80,0	3,83x1,90—0,87	7,00	110,0	19,1x17,3—4,43	62,0	1,10
0,25	1,64	22,0	2,00x1,87—0,97	2,16	35,2	9,87x7,77—3,40	46,0	1,10
Контроль	2,00	—	3,57x1,83—0,97	3,33	—	12,7x11,8—4,83	65,0	0,90
0,10	1,25	—5,4	2,40x1,40—0,77	1,40	40,0	11,4x8,82—3,93	81,0	1,30
0,15	1,80	36,3	2,83x1,49—1,03	1,23	23,0	11,0x8,00—3,87	83,0	1,35
0,20	1,82	37,8	2,83x1,47—0,53	1,20	20,0	7,67x5,79—2,43	83,0	1,40
0,25	1,87	41,6	2,93x1,60—1,07	1,15	15,0	7,65x5,75—2,45	68,0	1,55
Контроль	1,32	—	2,63x1,67—0,63	1,00	—	7,10x6,82—2,24	72,0	1,40
0,10	3,44	72,0	3,87x1,80—0,93	6,00	80,1	16,6x15,2—4,63	88,0	1,10
0,15	2,63	31,9	3,63x1,87—0,75	5,33	60,0	15,5x13,5—3,00	86,0	1,10
0,20	2,10	10,5	3,57x1,87—0,87	4,33	30,0	13,8x11,8—3,73	55,0	1,10
0,25	2,08	4,0	3,67x1,83—0,53	4,20	20,1	13,6x12,8—3,80	57,0	1,10
Контроль	2,00	—	3,57x1,83—0,97	3,33	—	12,7x11,8—4,83	65,0	0,90
0,10	2,38	80,3	2,40x1,53—0,83	2,00	100,0	13,35x9,80—4,50	65,0	1,50
0,003	2,68	103,0	3,00x1,58—1,00	1,66	66,0	10,05x7,60—3,50	69,0	1,55
0,005	2,67	103,1	2,93x1,68—1,10	1,60	6,0	7,40x7,66—3,47	65,0	1,55
0,008	2,25	70,3	3,10x1,40—0,93	1,50	50,0	7,30x7,53—1,45	72,0	1,45
Контроль	1,32	—	2,67—1,67—0,63	1,00	—	7,10x6,83—2,24	72,0	1,40
0,001	2,24	11,2	3,70x1,07—0,70	5,50	65,1	17,3x13,1—4,17	60,0	1,55
0,003	2,30	11,5	3,78x1,30—0,60	5,56	66,9	17,7x13,3—4,30	55,0	1,11
0,005	2,26	11,3	3,93x1,70—0,79	6,50	95,0	18,2x17,0—4,67	52,0	1,05
0,008	1,96	—2,0	3,17x1,40—0,77	3,65	9,6	12,0x11,1—5,00	65,0	0,90
Контроль	2,00	—	3,57x1,83—0,97	3,33	—	12,7x11,8—4,83	65,0	1,10
0,01	1,11	—18,9	2,83x1,50—0,83	1,02	2,0	7,52x5,68—2,90	80,0	1,35
0,05	1,49	12,9	3,17x1,60—0,87	1,10	10,0	7,50x5,67—2,83	84,0	1,35
0,08	1,59	20,5	3,20x1,65—0,89	1,01	1,0	7,80x5,90—2,84	72,0	1,35
Контроль	1,32	—	2,67x1,67—0,63	1,00	—	7,10x6,83—2,24	72,0	1,40
0,01	2,00	—	2,79x1,60—0,67	6,67	100,0	15,9x13,5—5,43	60,0	0,90
0,05	2,18	9,0	3,73x7,87—0,83	5,33	60,0	14,3x13,6—3,60	72,0	0,95
0,08	2,72	36,0	3,97x1,80—0,90	5,17	55,2	14,6x7,0—4,50	76,0	0,98
Контроль	2,00	—	3,57x1,83—0,97	3,33	—	12,7x11,8—4,83	65,0	0,90
0,01	1,09	—17,5	2,83x1,83—0,80	1,10	10,0	9,67x8,00—3,17	53,0	1,40
0,05	1,30	—1,6	3,00x1,65—1,00	1,63	63,0	9,00x8,30—3,17	52,0	1,40
0,08	1,34	1,5	3,03x1,70—1,00	1,66	66,6	9,33x6,33—3,17	54,0	1,25
Контроль	1,32	—	2,67x2,67—0,66	1,00	—	7,10x6,83—2,24	72,0	1,40

Продолжение таблицы (1)

1	2	3	4	5	6	7	8	9
0,001	2,38	80,3	2,40x1,53—0,83	2,00	100,0	13,35x9,80—4,50	65,0	1,50
0,003	2,68	103,0	3,00x1,58—1,00	1,66	66,0	10,05x7,60—3,50	69,0	1,55
0,005	2,67	103,1	2,93x1,68—1,10	1,60	6,0	7,40x7,66—3,47	65,0	1,55
0,008	2,25	70,3	3,10x1,40—0,93	1,50	50,0	7,30x7,53—1,45	72,0	1,45
Контроль	1,32	—	2,67—1,67—0,63	1,00	—	7,10x6,83—2,24	72,0	1,40
0,001	2,24	11,2	3,70x1,07—0,70	5,50	65,1	17,3x13,1—4,17	60,0	1,55
0,003	2,30	11,5	3,78x1,30—0,60	5,56	66,9	17,7x13,3—4,30	55,0	1,11
0,005	2,26	11,3	3,93x1,70—0,79	6,50	95,0	18,2x17,0—4,67	52,0	1,05
0,008	1,96	—2,0	3,17x1,40—0,77	3,65	9,6	12,0x11,1—5,00	65,0	0,90
Контроль	2,00	—	3,57x1,83—0,97	3,33	—	12,7x11,8—4,83	65,0	1,10
0,01	1,11	—18,9	2,83x1,50—0,83	1,02	2,0	7,52x5,68—2,90	80,0	1,35
0,05	1,49	12,9	3,17x1,60—0,87	1,10	10,0	7,50x5,67—2,83	84,0	1,35
0,08	1,59	20,5	3,20x1,65—0,89	1,01	1,0	7,80x5,90—2,84	72,0	1,35
Контроль	1,32	—	2,67x1,67—0,63	1,00	—	7,10x6,83—2,24	72,0	1,40
0,01	2,00	—	2,79x1,60—0,67	6,67	100,0	15,9x13,5—5,43	60,0	0,90
0,05	2,18	9,0	3,73x7,87—0,83	5,33	60,0	14,3x13,6—3,60	72,0	0,95
0,08	2,72	36,0	3,97x1,80—0,90	5,17	55,2	14,6x7,0—4,50	76,0	0,98
Контроль	2,00	—	3,57x1,83—0,97	3,33	—	12,7x11,8—4,83	65,0	0,90
0,01	1,09	—17,5	2,83x1,83—0,80	1,10	10,0	9,67x8,00—3,17	53,0	1,40
0,05	1,30	—1,6	3,00x1,65—1,00	1,63	63,0	9,00x8,30—3,17	52,0	1,40
0,08	1,34	1,5	3,03x1,70—1,00	1,66	66,6	9,33x6,33—3,17	54,0	1,25
Контроль	1,32	—	2,67x2,67—0,66	1,00	—	7,10x6,83—2,24	72,0	1,40
0,01	1,09	—17,5	2,83x1,83—0,80	1,10	10,0	9,67x8,00—3,17	53,0	1,40
0,05	1,30	—1,6	3,00x1,65—1,00	1,63	63,0	9,00x8,30—3,17	52,0	1,40
0,08	1,34	1,5	3,03x1,70—1,00	1,66	66,6	9,33x6,33—3,17	54,0	1,25
Контроль	1,32	—	2,67x2,67—0,66	1,00	—	7,10x6,83—2,24	72,0	1,40
0,01	1,09	—17,5	2,83x1,83—0,80	1,10	10,0	9,67x8,00—3,17	53,0	1,40
0,05	1,30	—1,6	3,00x1,65—1,00	1,63	63,0	9,00x8,30—3,17	52,0	1,40
0,08	1,34	1,5	3,03x1,70—1,00	1,66	66,6	9,33x6,33—3,17	54,0	1,25
Контроль	1,32	—	2,67x2,67—0,66	1,00	—	7,10x6,83—2,24	72,0	1,40

Продолжение таблицы (2)

	1	2	3	4	5	6	7	8	9
					KC 5-72 (4n)	Hорен			
0,01	2,50	25,0	3,83x1,76—0,83	4,33	30,0	14,7x7,0—4,70		63,0	0,95
0,05	2,45	22,5	3,70x1,70—0,85	3,50	5,1	12,5x11,0—4,70		55,0	0,90
0,08	2,42	21,0	3,60x1,83—0,93	3,33	—	12,7x11,8—4,83		50,0	0,90
Контроль	2,00	—	3,55x1,83—0,97	3,33	—	12,7x11,8—4,83		65,0	0,90
				Ширели-тут (2n)	Морен				
0,01	1,89	43,2	3,47x2,80—1,10	1,67	67,0	11,3x8,70—3,60		60,0	1,45
0,05	1,80	36,4	3,40x2,50—1,05	1,50	50,0	11,0x8,30—3,30		53,0	1,45
0,08	1,77	34,0	2,58x1,43—0,63	1,40	14,0	10,6x7,00—2,90		65,0	1,25
Контроль	1,32	—	2,67x2,67—0,66	1,00	—	7,10x6,43—2,24		72,0	1,40
				KC 5-72 (4n)	Морен				
0,01	2,10	5,0	4,00x1,53—1,10	6,67	100,0	19,2x12,7—5,60		55,5	0,95
0,05	2,40	20,0	4,40x1,70—1,11	6,67	100,0	18,5x12,0—4,60		45,0	0,92
0,08	3,80	30,0	4,60x1,90—1,13	6,66	100,0	18,3x13,5—4,93		35,0	0,90
Контроль	2,00	—	3,57x1,87—0,97	3,33	—	12,7x11,8—4,83		65,0	0,90
				Ширели-тут (2n)	Кинетин				
0,01	1,96	48,4	3,60x1,70—0,40	1,33	33,0	9,83x7,00—2,80		76,0	1,20
0,05	2,30	74,2	3,75x1,80—0,90	1,40	40,0	9,88x7,35—2,80		76,0	1,35
0,08	2,00	51,5	3,50x2,10—0,61	1,40	40,0	10,3x7,03—4,00		80,0	1,40
Контроль	1,32	—	2,67x2,67—0,66	1,00	—	7,10x6,83—2,24		72,0	1,40
				KC 5-72 (4n)	Кинетин				
0,01	2,96	48,0	3,78x1,90—0,73	6,67	100,0	16,8x16,0—4,17		86,0	1,20
0,05	3,74	87,0	3,70x1,67—0,90	7,00	110,0	17,0x16,0—3,83		85,0	1,10
0,08	5,42	171,0	4,00x1,78—0,79	7,67	130,3	18,7x15,2—4,23		80,0	1,00
Контроль	2,00	—	3,57x1,83—0,93	3,33	—	12,7x11,8—4,83		72,0	0,90

0,10 %-ного раствора алара наблюдается изогнутость соплодий при созревании, они приобретают блестящую поверхность и раньше приступают к созреванию. При малой концентрации заметно уменьшается длина плодоножки, что важно в промышленном значении. С повыше-

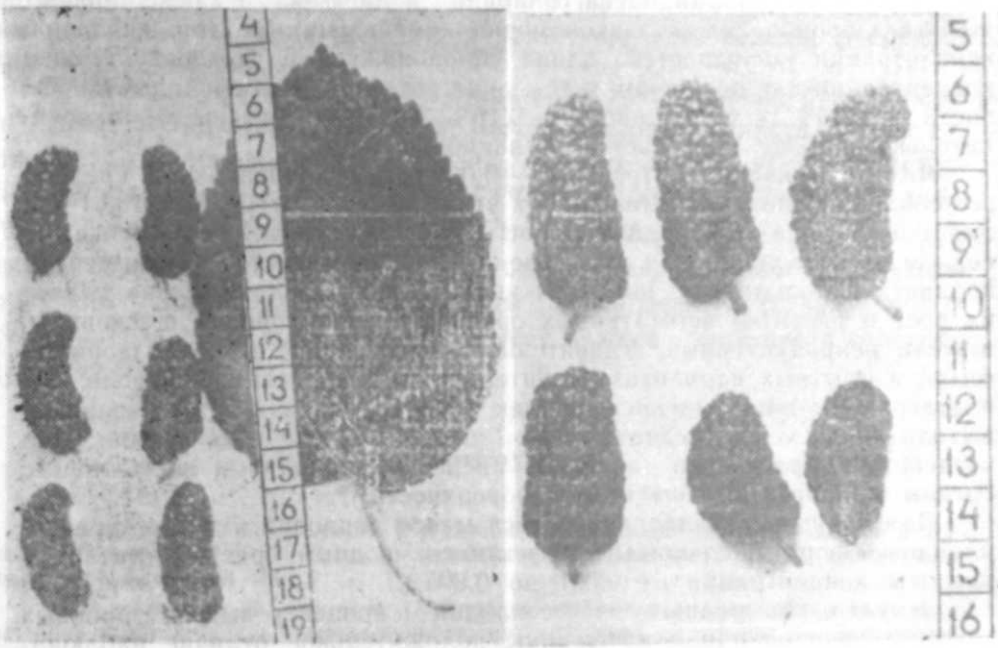


Рис. 1. Соплодия и лист диплоидного сорта Ширели-тут при обработке генеративных органов женских соцветий и вегетативных органов листа.

нием концентраций наблюдается увеличение среднего веса листа (от 33,0 до 143,0%). При высоких концентрациях лист заметно удлиняется, консистенция мягкая, поверхность блестящая. При малой концентрации (0,10%) листья нежные, ярко-зеленые. По-видимому, это может иметь положительное значение при выкормке гусениц тутового шелкопряда. 0,10—0,20 %-ная концентрация оказывает положительное влияние на тетраплоид KC 5-72; увеличивает средний вес соплодий от 24,0 до 40,0% и листа от 30,0 до 110,0%. В отношении увеличения массы соплодия диплоида Ширели-тут лучшей концентрацией является 0,10%, листа — 0,25%, KC 5-72 — 0,20% соответственно.

**Тип.** С увеличением концентрации от 0,15 до 0,25% у диплоида Ширели-тут наблюдается высокая масса соплодия (от 36,3 до 41,6%). Положительное влияние отмечено по проценту выхода здоровых семян. При некоторых концентрациях происходит удлинение плодоножки соплодий. При 0,10—0,25 %-ной концентрации увеличивается масса листа (от 15,0 до 40,0%). Высокие концентрации значительно задерживают рост и развитие листа. На листьях появляются желтые пятна, иногда желтеет половина листа, что объясняется недостатком хлорофилла.

Накануне созревания соплодий желтые пятна на листьях уменьшаются и к осени исчезают. На новых появившихся листьях обработанных туром ветвей желтых листьев не наблюдается.

На тетраплоид КС 5-72 тур действует положительно: увеличивает средний вес соплодий от 4,0 до 72,0% и листа от 20,1 до 80,1%. С увеличением концентрации масса соплодий и листьев, а также процент выхода здоровых семян закономерно уменьшается. При 0,25%-ной концентрации уменьшается длина плодоножки и черешка. Лучшая концентрация для получения у диплоида высокого веса соплодий 0,25%, листа — 0,10%, у тетраплоида — 0,10%. При воздействии туром сравнительно раньше наступает созревание соплодий.

**Янтарная кислота.** При 0,001—0,008%-ной концентрации средний вес соплодий диплоида Ширели-тур увеличивается от 70,3 до 103,1% и листа от 50,0 до 100,0%. Масса соплодий и листа увеличивается в основном за счет удлинения и утолщения плодоножки соплодия и черешка листа. По-видимому, янтарная кислота более положительно влияет на рост и развитие вегетативных органов разнопloidной шелковицы, нежели репродуктивных. Удивительно, что процент выхода здоровых семян в опытных вариантах значительно меньше, чем в контроле, что подтверждает наше мнение, так как в соплодиях за счет уменьшения выхода числа семян незначительно увеличивается масса семян. Под воздействием растворов янтарной кислоты соплодия и вегетативные органы приобретают блестящую поверхность.

Для получения наибольшего веса массы соплодий и листа у разнопloidных форм шелковицы эффективен водный раствор янтарной кислоты концентрации от 0,001 до 0,005%.

**Эскулен.** По среднему весу соплодий и проценту выхода здоровых семян у разнопloidной шелковицы положительное отличие наблюдается при 0,05—0,08%-ной концентрации. Эскулен оказывает более положительное действие на изменчивость роста и развития листа, чем соплодий. Незначительно уменьшается плодоножка у тетраплоида, а у диплоида, наоборот, увеличивается. Под воздействием эскулена в основном черешок листа удлиняется. У диплоида наблюдается уменьшение массы семян. Соплодия сравнительно раньше приступают к созреванию.

**Норен.** У диплоида использование концентрации не дало положительных результатов в отношении изменчивости репродуктивных органов, параметров соплодий и процента выхода здоровых семян. Заметно удлинилась плодоножка. Положительно подействовал на изменчивость параметра массы листа (увеличился от 10,0 до 66,6%), а также на удлинение черешка листа. У тетраплоида КС 5-72 увеличился средний вес соплодий (от 21,0 до 25,0%) и листа (от 5,1 до 30,0%). У тетраплоида женские соцветия и цветки толстые, более опущенные и крепкие, чем у диплоида. Таким образом, они могут быть более устойчивыми к обработке нореном. Возможно, это обстоятельство и дало возможность получить положительные результаты от воздействия нореном. Сравнительно лучшей оказалась малая — 0,10%-ная концентрация. При высоких концентрациях на листовой поверхности возникают шершавость и матовый цвет, что в целом является отрицательным признаком.

**Морен.** У диплоида Ширели-тур применение различных концентраций дало увеличение массы соплодий от 34,0 до 43,2% и листа от 24,0

до 67,0%. С увеличением концентрации наблюдается уменьшение массы соплодий и листа, а также плодоножки и черешка. У тетраплоида КС 5-72 произошло увеличение массы соплодий от 5,0 до 30,0% и листа на 100,0%. Отрицательные результаты получены по показателю процента выхода здоровых семян у разнопloidной шелковицы. Сравнительно положительное влияние у разнопloidной шелковицы морен оказывает на изменчивость параметра вегетативных органов, нежели репродуктивных.

**Кинетин.** У разнопloidной шелковицы установлено положительное действие на изменчивость параметра соплодий и листа. Масса соплодий увеличилась от 48,4 до 51,5%, листа от 33,0 до 40,0%. У тетраплоида соответственно от 48,0 до 171% и от 100,0 до 130,3%. Увеличение среднего веса соплодий идет за счет репродуктивных органов, а у листа за счет листовой пластиинки. Сравнительно лучшие результаты получены у разнопloidной шелковицы по проценту выхода здоровых семян с созревших соплодий, что имеет важное значение в селекции (рис. 1, 2).

## Литература

1. Абдуллаев И. К., Алиев М. О. Влияние гиббереллина на рост, развитие и кормовые достоинства листа сортов шелковицы. — Изв. АН Азерб. ССР, серия биол. наук, 1966, № 4, с. 43—44.
2. Абдуллаев И. К., Алиев М. О. Влияние различных доз колхицина на завязываемость и вес ягод при гибридизации разнохромосомной шелковицы. — Экспериментальный мутагенез растений, т. 2. — Баку, 1974, с. 120—126.
3. Алиев М. О. Влияние НРВ на кормовые достоинства листа сортов шелковицы — Всесоюзное совещание по изучению и применению НРВ в с. х. — Баку, 1966, с. 42—43.
4. Алиев М. О. Влияние гетераукусина на репродуктивные органы тетраплоидной шелковицы. — Изв. АН Азерб. ССР, серия биол. наук, 1971, № 4, с. 42—45.
5. Алиев М. О. Влияние этилметансульфоната на результаты скрещивания разнохромосомной плодовой шелковицы. В сб.: Экспериментальный мутагенез растений, т. 2. — Баку, 1974, с. 138—140.
6. Алиев М. О. Селен в селекции разнохромосомной плодовой шелковицы. В сб.: Селен в биологии, т. 2. — Баку, 1976, с. 26—29.
7. Алиев М. О. Применение химических мутагенов в сочетании с гибридизацией разнопloidных форм шелковицы. — Шелк. — Ташкент, 1977, № 1, с. 7—8.
8. Алиев М. О. Чувствительность пыльцы к сахарам у разнопloidной шелковицы рода *Morus*. — Изв. АН Азерб. ССР, серия биол. наук, 1977, № 6, с. 50—57.
9. Алиев М. О., Александрова Н. С. Влияние различных доз и экспозиций по полиплоидной шелковице. — III симпозиум по полиплоидной шелковице. — Баку, 1978, с. 91—93.
10. Алиев М. О. Применение кинетина в сочетании с гибридизацией разнопloidной шелковицы *Morus*. — Изв. АН Азерб. ССР, серия биол. наук, 1980, № 5, с. 37—48.
11. Алиев М. О. Применение колхицина в сочетании с гибридизацией разнопloidной шелковицы. — Изв. АН Азерб. ССР, серия биол. наук, 1980, № 6, с. 31—40.
12. Алиев М. О. Исследование влияния селена на разнопloidную шелковицу. — Селен в биологии. — Баку, 1981, № 3, с. 25—28.
13. Алиев М. О. Влияние НММ в сочетании с гибридизацией на изменчивость разнопloidных форм шелковицы. — Изв. АН Азерб. ССР, серия биол. наук, 1982, № 1, с. 50—59.

14. Алиев М. О. Влияние ЭМС в сочетании с гибридизацией на изменчивость разнопloidных форм шелковицы. — Изв. АН Азерб. ССР, серия биол. наук, 1982, № 3, с. 59—68.
15. Алиев М. О. Применение ДЭМС в сочетании с гибридизацией в селекции разнопloidных форм шелковицы. — ДАН Азерб. ССР, 1983, т. XXXIX, № 3, с. 63—67.
16. Федоров А. И. Тутоводство. — М., 1954.

М. О. Алиев

**МУХТАЛИФ ПЛОИДЛИ ТУТ БИТКИСИННИҢ РЕПРОДУКТИВ ВӘ  
ВЕКЕТАТИВ ОРГАНЛАРЫНЫН ДӘЛИШИЛМӘСИНӘ КИМЈЕВИ  
МАДДӘЛӘРИН ТӘ'СИРИ**

Мәгаләдә кимјеви маддәләрин алар, түр, јантар туршусу ескулен, норен, морен вә кинетинин мухталиф су мәңгүлларына, кәсафатлара тә'сири өткөннилір, тут биткисинин мухталиф органдарының дәйшилмәсі нағтында жени мәлumat верилір.

Тәчрүбә иетичасында мұајіән олуимуш мүсбәт вә мәнфи тә'сирдичи кәсафатларинин тут киаларинин вә жарнаг мәңсулларының чохалмасына тә'сири, һәмчинин тохумун чы-хышы изан олунур.

АЗӘРБАЙЧАН ССР ЕЛМЛӘР АҚАДЕМИЈАСЫНЫН ХӘБӘРЛӘРИ  
Биология елмләре сериясы, 1985, № 1

ИЗВЕСТИЯ АКАДЕМИИ НАУК АЗЕРБАЙДЖАНСКОЙ ССР  
Серия биологических наук, 1985, № 1

УДК 612.822.3+597.44+612.84+002.637.

Ш. К. ТАГИЕВ, А. А. ИСМАИЛОВ

**ЭЛЕКТРОФИЗИОЛОГИЧЕСКИЕ ИССЛЕДОВАНИЯ ФУНКЦИИ  
ОБОНИТЕЛЬНОЙ ЛУКОВИЦЫ И КОНЕЧНОГО МОЗГА  
ХРЯЩЕВЫХ ГАНОИДОВ В УСЛОВИЯХ ДЕЙСТВИЯ  
НЕСПЕЦИФИЧЕСКИХ ФАКТОРОВ СРЕДЫ**

Институт физиологии АН Азербайджанской ССР

Эксперименты проводились на представителях хрящевых ганоидов (молодь, бе-луга), находившихся в загрязненной различными концентрациями сырой нефти и бу-рового шлама среде в течение 10 суток. Установлено отрицательное влияние среды, загрязненной неспецифическими факторами, на электрофизиологические корреляты, характеризующие функциональное состояние обонятельного анализатора рыб.

Сравнительно-физиологическое изучение роли анализаторов пред-ставляет большой научный интерес в понимании функциональных осо-бенностей формирования и осуществления адаптационно-приспособи-тельных механизмов организма [3, 4, 13].

Среди животных разных классов рыбы занимают особое место по участию обонятия в важнейших поведенческих актах — пищевом, оборонительном, миграционном и др. Высокий уровень развития орга-на обонятия, его медленная адаптация при действии обонятельного сигнала, низкая пороговая чувствительность в восприятии делают рыб одним из важнейших объектов исследования для выяснения влияния и токсичности промысловых отходов и нефтепродуктов на функцию обо-нятельного анализатора.

Анализ литературы показал, что данные, характеризующие дей-ствие различных загрязняющих водную среду факторов, в частности нефти и бурового шлама на организм рыбы (выживаемость, темпы роста, обменные процессы, гематологические показатели и т. д.), изучено недостаточно [5—6, 9]. На современном этапе внимание ис-следователей привлекает электрофизиологическая оценка анализа-торных функций рыб под действием загрязняющих веществ. Однако в этом плане проведено еще мало работ, в основном они отражают крат-ковременное действие токсических веществ на зрительные функции рыб [7, 8, 11].

Поэтому представлялось важным исследовать с применением электрофизиологического метода функцию обонятельного анализатора рыб в зависимости от концентрации и сроков действия неспецифичес-ких факторов среды.

Эксперименты проводились на молоди куринской белуги весом 45—60 г и длиной 17—19 см, содержащейся в среде с сырой нефтью различной концентрации: 50—100 мг/л, взятой с нефтепромыслов Неф-тяные Камни, и бурового шлама: 400 мл/л—1 г/л, взятого с Сангачаль-ского месторождения. Нефть с месторождения Нефтяные Камни, со-гласно ГОСТу 912-46, малосернистая (0,2%), малопарафинистая (0,1), высокосмолистая (акцизные смолы — 24%), селикателевая —

9,9% [1]. В состав бурового шлама, выбуренного со скважин Сангачальского месторождения, входят неорганические вещества  $\text{Na}_2\text{CO}_3$ ,  $\text{Ca}(\text{OH})_2$ ,  $\text{BaSO}_4$  и др. и органические вещества (УЩР, КССБ, ССБ, окзил, нитролигнин и др.). Содержание нефти в выбуренных породах колебалось в широких интервалах: 0,8—5,7% [2]. Пересаженных в загрязненную среду рыб брали на 1—3—5—7—10-е сутки для проведения опытов. Обездвиженных миорелаксантом (Д-тубокуранин, 2 мг/кг) подопытных рыб фиксировали в специальном станке, вмонтированном в пlexигласовый аквариум, который находился в экранированной камере, и создавали ток аэрированной воды через жабры.

Оперативное вмешательство производили под оптическим контролем с увеличением 12—14 раз, что позволяло следить за сохранностью кровообращения мозга. Обнажали конечный мозг (КМ) и обонятельные луковицы (ОЛ). После вскрытия обонятельных нервов на них подводились раздражающие биполярные стальные электроды с расстоянием между концами 0,5—1 мм, на которые подавались прямоугольные импульсы тока от стимулятора ЭСЛ-2, длительностью 0,12 мс и напряжением 12 В. Силу раздражения сохраняли неизменной в течение всего опыта. Индифферентный стальной электрод вкалывали в ростральную часть головы животного. Монополярную регистрацию вызванных потенциалов (ВП) производили стеклянными микрозлектродами, заполненными 2,5 М раствором цитрата натрия. Сопротивление кончика электрода по постоянному току равнялось 1—5 Мом. Усиление электрической активности мозга осуществлялось через катодный повторитель, соединенный со входом двухканального усилителя БПУ 4-01 с полосой пропускания частот 50—2000 Гц. Регистрация усиленного сигнала осуществлялась на фотопленку РФ-3 с экрана осциллографа С-1-18. Во всех опытах отведения ВП с поверхности мозговых структур производилось с одной и той же области (соответственно для каждой структуры). Амплитудно-временные компоненты ВП были подвергнуты статистической обработке.

При раздражении обонятельного нерва в центре ипсолатеральной ОЛ у интактных рыб регистрировался многокомпонентный ВП с латентным периодом  $5,6 \pm 0,1$  мс (рис. 1—А). Первая позитивная волна с амплитудой  $277,5 \pm 2,9$  мкВ регистрировалась с большим постоянством. За ней следует негативная высокоамплитудная ( $1218,3 \pm 17,7$  мкВ) волна, длительность которой составляла  $30,1 \pm 0,1$  мс. Остальные компоненты (позитивно-негативно-позитивные) комплекса при одиночной электрической стимуляции регистрировались четко, однако были менее устойчивы к ритмической стимуляции. У рыб, находившихся в среде с концентрацией нефти 50 мг/л, на первые сутки конфигурация ВП в общих чертах была идентична ВП у контрольных рыб. Амплитуда негативной волны заметно падала, составляя  $712,5 \pm 7,1$  мкВ. Также снижалась амплитуда позитивной волны —  $250,5 \pm 2,6$  мкВ (в контроле  $542,4 \pm 4,1$  мкВ). На третьи — пятые сутки ответы по своей форме существенно отличались от таковых у контрольных рыб. Наблюдалось резкое снижение амплитуды ответов. Так, на пятые сутки амплитуда негативной волны составляла  $405,2 \pm 3,6$  мкВ, на позитивной —  $133,5 \pm 2,1$  мкВ. В указанный срок латентный период возрастал до  $7,4 \pm 0,1$  мс. На седьмые — десятые сутки загрязнения

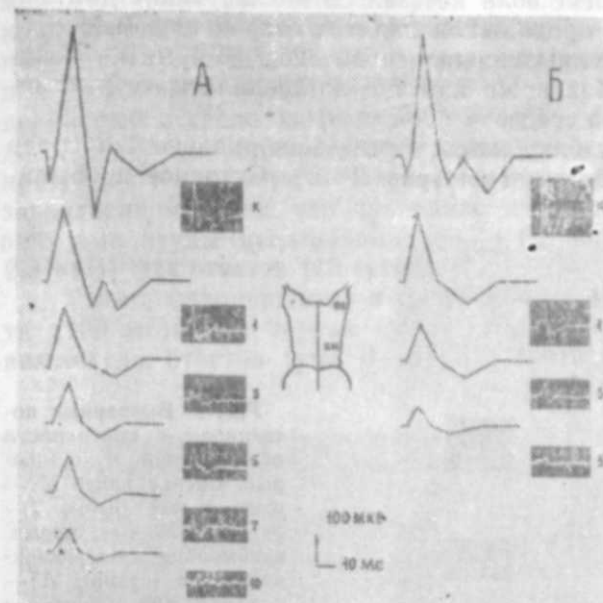


Рис. 1. Вызванные потенциалы с поверхности обонятельной луковицы рыб. Сверху вниз: К — контрольные рыбы, 1—3—5—7—10 — время пребывания в загрязненной среде (сутки). А — концентрация нефти 50 мг/л; Б — концентрация нефти 100 мг/л. В виде графиков изображены усредненные данные, отражающие амплитудно-временные параметры ВП. Масштаб: 100 Мкв, 10 см.

амплитуды ВП продолжала падать и на десятые сутки составляла для негативной волны  $222,5 \pm 2,4$  мкВ, для позитивной  $81,3 \pm 1,4$  мкВ.

Другая группа рыб содержалась в среде с концентрацией нефти 100 мг/л. Здесь у контрольных рыб регистрируемые ВП с ОЛ как по конфигурации, так и по амплитудно-временным параметрам почти не отличались от ответов у контрольных рыб предыдущей группы (рис. 1—Б). Суточное пребывание подопытных рыб в среде с концентрацией нефти 100 мг/л приводило к существенному изменению конфигурации ВП. Ответы упрощались, принимая форму негативно-позитивного колебания. Заметно падала амплитуда ответов, особенно негативной волны, которая составляла  $671,0 \pm 7,1$  мкВ, в контроле  $1154,2 \pm 13,8$  мкВ. Временные параметры также претерпевали существенные изменения. На трети сутки амплитуда ответов еще более подвергалась угнетению. На пятые сутки нахождения подопытных рыб в загрязненной среде амплитуда ВП имела крайне низкие показатели, составляя для негативной волны  $191,3 \pm 2,7$  мкВ, для позитивной  $76,5 \pm 1,6$  мкВ. Дальнейшее пребывание в этой среде приводило к гибели животных.

Следующая серия экспериментов посвящалась выяснению динамики ВП, регистрируемой с ОЛ рыб, находившихся в среде, загрязненной буровым шламом (рис. 2). Суточное нахождение рыб в среде с концентрацией бурового шлама 400 мг/л приводило к заметному снижению амплитуды ответов (рис. 2—А). Отмечалось исчезновение первого позитивного пика, предшествующего высокоамплитудной негативной волне, которая снижалась до  $821,6 \pm 10,5$  мкВ (в контроле  $1409,1 \pm 22,3$  мкВ). На трети — пятые сутки вызванные ответы по своей конфигурации существенно отличались от контроля. Следующий

за негативной волной комплекс волн исчезал. В последующие дни амплитуда вызванных ответов продолжала падать. Так, на седьмые сутки амплитуда негативной волны снижалась до  $325,2 \pm 2,4$  мкВ, позитивной —  $103,7 \pm 1,5$  мкВ. Такая же картина наблюдалась у рыб на десятые сутки в загрязненной среде.

Аналогичная картина наблюдалась у рыб, находившихся в среде с концентрацией бурового шлама 1 г/л (рис. 2—Б). Суточное пребыва-

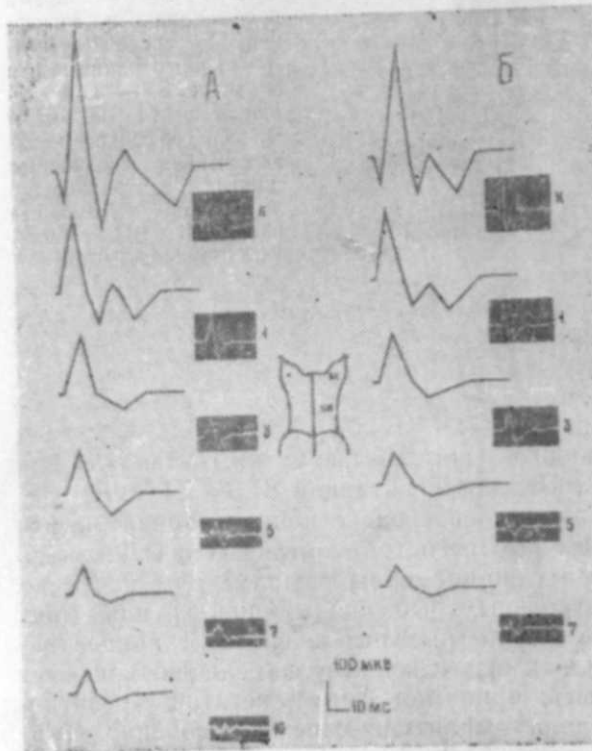


Рис. 2. Вызванные потенциалы с поверхности обонятельной луковицы рыб. Сверху вниз: К — контрольные рыбы, 1—3—5—7—10 — время пребывания в загрязненной среде (сутки). А — концентрация бурового шлама 400 мг/л; Б — концентрация бурового шлама 1 г/л. В виде графиков изображены усредненные данные, отражающие амплитудно-временные параметры ВП. Масштаб: 100 Мкв, 10 мс.

ние в этой среде приводило к исчезновению раннего позитивного компонента, отмечалось снижение амплитуды вызванных ответов. На трети сутки форма ответов упрощалась, образуя негативно-позитивную конфигурацию. В указанный срок отмечалось удлинение временных параметров. На пятые — седьмые сутки вызванные ответы существенно отличались по своей выраженности от ВП контрольных рыб. Амплитуда ВП на седьмые сутки подвергалась еще большему угнетению, где негативная волна снижалась до  $233,1 \pm 2,9$  мкВ (в контроле  $1185,7 \pm 13,5$  мкВ), позитивная —  $92,5 \pm 1,6$  мкВ (в контроле  $346,4 \pm 3,8$  мкВ).

При раздражении обонятельного нерва с поверхности ипсолатерального полушария (каудальная часть) у интактных рыб были получены ВП негативно-позитивной конфигурации с латентным периодом  $13,2 \pm 0,2$  мс. Амплитуда негативного компонента —  $10,38,5 \pm 14,4$  мкВ, длительность —  $26,6 \pm 0,4$  мс, для позитивной волны амплитуда составляла  $397,0 \pm 8,4$  мкВ, длительность  $44,6 \pm 0,3$  мс (рис. 3—А). Вре-

менные параметры ответов у рыб, находившихся одни сутки в среде с концентрацией нефти 50 мг/л, почти не менялись, отмечалось снижение амплитуды ВП, составляя для негативной волны  $662,3 \pm 12,8$  мкВ, для позитивной —  $224,2 \pm 5,5$  мкВ. При трех — пятисуточном нахождении рыб в среде, загрязненной нефтью, латентный период возрастал до  $15,6 \pm 0,1$  мс. Значительные изменения в характере проявления ВП наступали на седьмые — десятые сутки пребывания подопытных рыб в загрязненной среде, что приводило к отчетливо выраженному угнетению амплитуды негативной ( $288,7 \pm 4,2$  мкВ) и позитивной ( $169,4 \pm 2,3$  мкВ) фаз ответов (10 сутки).

У рыб, находившихся в среде с более высокой концентрацией нефти (100 мг/л), на первые сутки наблюдалось существенное снижение амплитуды ответов (рис. 3—Б). На третьи сутки амплитуда ответов

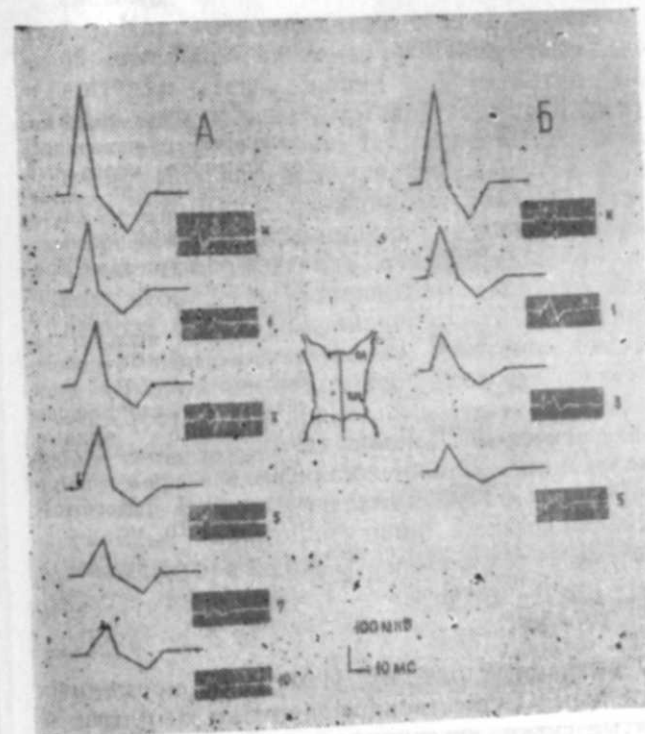


Рис. 3. Вызванные потенциалы с поверхности конечного мозга рыб. Сверху вниз: К — контрольные рыбы, 1—3—5—7—10 — время пребывания в загрязненной среде (сутки). А — концентрация нефти 50 мг/л; Б — концентрация нефти 100 мг/л. В виде графиков изображены усредненные данные, отражающие амплитудно-временные параметры ВП. Масштаб: 100 Мкв, 10 мс.

продолжала падать, составляя для негативной волны  $385,0 \pm 5,2$  мкВ (в контроле —  $987,5 \pm 7,6$  мкВ) для позитивной  $171,3 \pm 3,2$  мкВ (в контроле  $372,6 \pm 5,2$  мкВ). В некоторой степени удлинялись и временные параметры. Значительное падение амплитуды ВП наблюдалось на пятые сутки пребывания рыб в нефтяной среде, где негативная волна снижалась до  $251,1 \pm 3,5$  мкВ, позитивная до  $122,0 \pm 1,8$  мкВ. Ответы по своей конфигурации существенно отличались от контрольных.

В среде с концентрацией бурового шлама 400 мг/л изменения амплитудно-временных характеристик ВП, отводимые с КМ подопытных рыб, происходили несколько иначе (рис. 4—А). Суточное нахождение рыб в этой среде вызывало не столь заметное угнетение амплитуды

вызванных ответов, как это было в нефтяной среде. Изменения временных параметров были не существенны. Дальнейшее пребывание рыб в среде с данной концентрацией бурового шлама, в частности на пятые сутки, наряду с некоторым удлинением латентного периода —  $15,0 \pm 0,1$  мс (в контроле  $12,9 \pm 0,1$  мс), отмечалось снижение амплитуды как негативной —  $570,8 \pm 4,7$  мкВ (в контроле  $978,3 \pm 13,7$  мкВ), так и позитивной —  $212,5 \pm 21,1$  мкВ (в контроле  $363,5 \pm 8,6$  мкВ) волны. На седьмые — десятые сутки выраженность ответов характеризовалась низкими показателями.

Аналогичную картину, но с более существенными изменениями мы наблюдали у рыб, находившихся в среде с концентрацией бурового шлама 1/гл (рис. 4—Б). Уже на первые сутки отмечалось за-

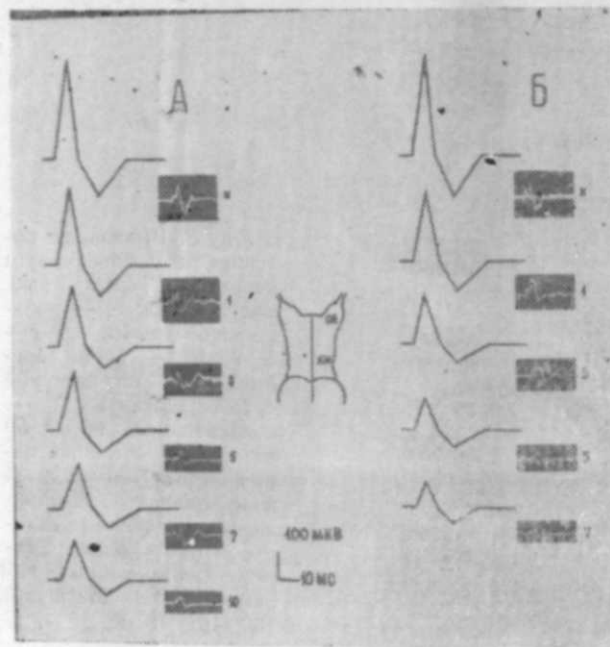


Рис. 4. Вызванные потенциалы с поверхности конечного мозга рыб. Сверху вниз: К — контрольные рыбы 1—3—5—7—10 — время пребывания в загрязненной среде (сутки). А — концентрация бурового шлама 400 мг/л; Б — концентрация бурового шлама 1 г/л. В виде графиков изображены усредненные данные, отражающие амплитудно-временные параметры ВП. Масштаб: 100 мкв, 10 мс.

метное падение амплитуды вызванных ответов. Изменения временных параметров были незначительны. Существенное падение амплитуды ответов происходило на пятые сутки, негативная волна снижалась до  $310,2 \pm 3,4$  мкВ (в контроле  $965,1 \pm 10,2$  мкВ), позитивная  $131,0 \pm 1,5$  мкВ (в контроле  $410,0 \pm 4,1$  мкВ). На седьмые сутки ВП по своим параметрам значительно отличались от контрольных показателей.

Результаты экспериментов показали, что действие нефти и бурового шлама приводит к сужению и упрощению вызванных ответов ОЛ и КМ рыб и происходит это, вероятно, не из-за увеличения скорости протекания процессов и слияния колебаний, а за счет исчезновения некоторых компонентов в результате действия неспецифических факторов среды.

Анализ динамики ВП на фоне действия неспецифических факторов среды показал, что нефть и буровой шлам, особенно высокие концентрации, в большей степени угнетают, а порой и приводят к исчез-

новению позитивных колебаний вызванных ответов, чем негативных. Такая уязвимость позитивного компонента ВП, которая отражает постсинаптические тормозные процессы, протекающие в верхних слоях мозга, вероятно, обусловлена токсическим действием нефти и бурового шлама на функциональную активность глубинных структур ОЛ и КМ.

Подобная закономерность ранее была установлена при изучении температурного влияния на ЦНС рыб [4—15]. Экспериментами показано [12], что самые низкие и самые высокие из использованных температур блокируют ту часть ответа, которая генерируется центральными постсинаптическими структурами луковицы, и не блокируют потенциал действия нерва, который отражает активность периферических, проводящих, пресинаптических структур обонятельной системы.

Как известно, характерной чертой функциональной организации обонятельной системы рыб является медленная адаптация к раздражителям. Исследования [10] большого количества пахучих веществ и ряда натуральных органов и тканей рыб, воды из-под разных видов, экстрактов кормовых организмов показали, что орган обоняния рыб не имеет повышенной чувствительности к какому-либо определенному классу химических и органических соединений. Однако наиболее сильные реакции возникали при действии натуральных раздражителей. Такая избирательная чувствительность к естественным раздражителям и более медленная, чем к другим запахам, адаптация свидетельствуют о большем значении этих раздражителей в химическом общении рыб. Следовательно, угнетение биоэлектрической активности ОЛ и КМ, вызванное токсическим действием этих загрязнителей, может способствовать серьезному нарушению ориентации рыб на источник запахов, что имеет важное биологическое значение. Указанное позволяет прийти к заключению об отрицательном влиянии среды, загрязненной неспецифическими факторами, на электрофизиологические корреляты, характеризующие функциональное состояние обонятельного анализатора рыб.

#### Литература

1. Ашумов Г. Г. Азербайджанские нефти. — Баку: Изд-во АН Азерб. ССР. 1961, с. 631.
2. Гулев Б. А. К вопросу предотвращения загрязнения моря в процессе бурения скважин. — АНХ. 1977, № 3, с. 51—55.
3. Гусельникова К. Г., Гусельников В. И. Электрофизиология обонятельного анализатора позвоночных. — М: МГУ, 1975, 256 с.
4. Карамян А. И. Эволюция конечного мозга позвоночных. — Л: Наука, 1976, 256 с.
5. Касимов Р. Ю., Тагиев Ш. К., Гусейнов Т. И., Крючков В. И., Гиреев Н. Влияние бурового шлама до и после обработки на важнейшие физиологические функции рыб. — Изв. АН Азерб ССР, серия биол. наук, 1982, № 4, с. 107—114.
6. Котов А. М. Сезонная динамика гематологических показателей у некоторых черноморских рыб и их изменение при экспериментальном отравлении нефтепродуктами. — Гидробиол., 1976, т. 12, № 4, с. 63—68.
7. Лукьянов А. С., Никоноров С. И. Данные электрофизиологических исследований кратковременного воздействия водорастворимых фракций нефти на функциональное состояние ЦНС некоторых видов черноморских рыб. В кн.: Проблемы охраны морской среды. Тез. докл. Всесоюз. совещ. Алант. НИРО. — Калининград, 1977, с. 127—128.

8. Лукьянин А. С., Никоноров С. И., Сидоров А. С. Электрофизиологический анализ действий нейротропных загрязнителей водной среды на зрительный анализатор рыб. В кн. Экологическая физиология и биохимия рыб. Тез. докл. IV Всесоюз. конф. — Астрахань. 1979, т. 1, с. 182—183.

9. Мазманиди Н. Д., Ковалева Г. И. Действие растворенных нефтепродуктов на некоторые элементы углеводного обмена рыб и беспозвоночных. — Вопр. ихтиол., 1975, т. 15, № 5/94, с. 904—910.

10. Малюкина Г. А., Девиццина Г. В., Марусов Е. А. Общение на основе хеморецепции у рыб. — Общая биология, 1974, т. 35, № 1, с. 70—79.

11. Никоноров С. И. Передний мозг и поведение рыб. — М.: Наука, 1982, с. 208.

12. Флерова Г. И., Гдовский П. А. Скорость распространения возбуждения по волокнам обонятельного нерва и вызванные ответы обонятельного мозга рыб в условиях изменяющейся температуры. — Вопр. ихтиол., 1976, т. 16, № 1 (96), с. 119—125.

13. Haig T. J. Olfaction in fish. Progr. Neurol., 1975, vol. 5, pt. pp. 271—335.

14. Prosser C. L. Electrical responses of fish optic tectum to visual stimulation: modification and conditioning. — Z. Vergl. physiol., 1965, vol. 50, No. 1, pp. 102—118.

15. Yager D., Buck S., Duncan I. A. Effects of temperature on the visually evoked tectal

potentiale and bridgness perception in Goldfish. Vision res., 1971, vol. 11, No. 6, pp. 849—866; potentiale and bridgness perception in Goldfish. Vision res., 1971, vol. 11, No. 8, pp. 849—860.

Ш. К. Тағыев, А. А. Исмаилов

### ХАРИЧИ МҮНДИТИН ГЕЈРИ-СПЕСИФИК ТӘСИРИ ЗАМАНЫ ГЫГЫРДАГЛЫ БАЛЫГЛАРДА ГОХУ СОҒАНАҒЫН ВӘ АРХА БЕЙНИН ЕЛЕКТРОФИЗИОЛОЖИ ТӘДГИГИ

Тәчүрбәләр 10 күн мүддәттәнә мухтәлиф гатылыгы нефт вә буруг мәһлүлларында сахланылыш көрпә бәләкә балыглары үзәрнә апарылышын. Шуша микроэлектродлар васитасыла гоху соганағындан вә арха беининде эмәлә катирилыш потенциаллар гејда алымышын.

Мүәյҗән едилмишdir ки, мүндигин чиркләнмәс кими гејри-специфик амил балыг беинин електрофизиологи көстәричиларина мәнифи тә'сир көстәрир. Фарз едилir ки, бу балыгын гоху анализаторунун фаалијатинин белә мүндәдә дәјишилмәс илә бағылышы.

### АЗЭРБАЙЧАН ССР ЕЛМЛӘР АКАДЕМИЯСЫНЫН ХӘБӘРЛӘРИ

Биолокија елмләри сериясы, 1985, № 1

### ИЗВЕСТИЯ АКАДЕМИИ НАУК АЗЕРБАЙДЖАНСКОЙ ССР

Серия биологических наук, 1985, № 1

УДК 547.963.3;661.719.62—789

Р. А. САДЫХ-ЗАДЕ, Р. А. БАБАЕВ, Г. Ш. АХМЕДОВА, Т. А. КУЛИЕВ,  
М. И. ДЖАБАРОВ

### ИММУНОЭЛЕКТРОФОРЕТИЧЕСКИЕ ПОКАЗАТЕЛИ БЕЛКОВ СЫВОРОТКИ КРОВИ ПРИ ВВЕДЕНИИ В ОРГАНИЗМ НЕКОТОРЫХ ФИЗИОЛОГИЧЕСКИ АКТИВНЫХ ВЕЩЕСТВ У ИНТАКТНЫХ И ОБЛУЧЕННЫХ ЖИВОТНЫХ

Институт физиологии АН Азербайджанской ССР

Исследованы радиозащитные свойства синтетических соединений селена (препарат № 17 и селенсемикарбазид), низкомолекулярного основного белка (протамин-сульфат 1%) и их влияние на иммунобиологическое состояние организма крыс в норме и в ходе острой лучевой болезни. Установлено наличие более высокого уровня иммунобиологических показателей в сыворотке крови у крыс, предварительно получавших препарат № 17 и селенсемикарбазид.

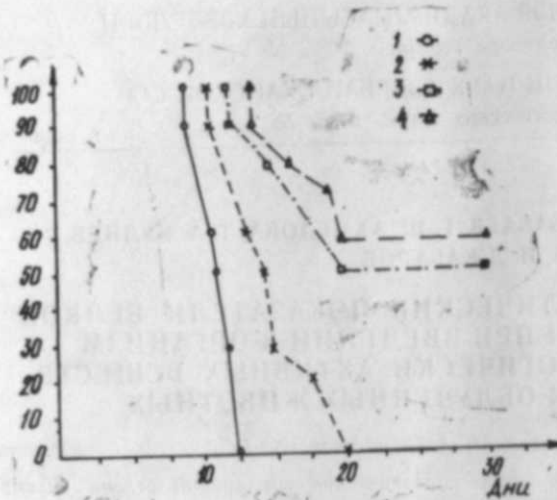
Известно, что свободнорадикальное окисление липидов биологических мембран, инициированное воздействием ионизирующей радиации, приводит не только к возникновению нарушений в морфологических структурах и физиологических функциях, но и к значительному изменению состояния общей реактивности организма [2, 3].

Происходящие при различных патологических состояниях качественные изменения обусловливают перестройку иммунобиологической реактивности организма. Закономерность выявленных при тех или иных заболеваниях изменений белков сыворотки крови позволяет использовать их для оценки нормального функционального состояния организма и в диагностике заболеваний человека и животных [1].

Целью настоящей работы являлось исследование радиопротекторных свойств синтетических соединений селена (препарат № 17 или хлоргидрат-1-фенилселено-4-фенил-4гексаметилен-иминобутин-2 и селенсемикарбазид), низкомолекулярного основного белка (протамин-сульфат 1%) и изучение их иммунобиологической активности в ходе острой лучевой болезни (ОЛБ).

Радиозащитный эффект изучали на 40 белых крысах-самцах линии Вистар, массой 180—200 г. Облучение животных производили на аппарате РУМ-17 при следующих параметрах: напряжение 180 кв, мощность тока 15 мА, КФР — 30 см, фильтры 0,5 ММ Cu+1 мм Al, суммарная доза облучения 6,22 Гр. Эффективность препаратов оценивалась по проценту выживаемости облученных животных к 30 суткам опыта и по средней продолжительности жизни. Результаты опытов обрабатывались статистически [4, 5] (рис.).

На группах интактных и облученных животных в сравнительном аспекте проводилось изучение влияния испытуемых соединений на иммунобиологическую реактивность. Опыты велись в двух сериях на 160 белых крысах-самцах линии Вистар, массой 180—200 г. Животные 1 серии были разбиты на 4 группы по 20 голов в каждой. 1 группа животных служила контролем. Животным 2, 3 и 4 групп вводили однократно



Зависимость крыс, облученных в дозе 622 рад, при введении препарата № 17 селенсемикарбазида и протамин-сульфата 10. 1 — контроль; 2 — протамин-сульфат; 3 — селенсемикарбазид; 4 — № 14.

но внутримышечно испытуемые соединения в следующих концентрациях: препарат № 17—195 мг/кг, селенсемикарбазид — 4 мг/кг, протамин-сульфат 1% из расчета 0,5 мл на животное. Вторая серия опытов проводилась аналогично первой, только испытуемые соединения вводились внутримышечно за 40 минут до облучения летальной дозой — 6,22 Гр. Иммуноэлектрофорез проводился по методу [6] с применением микрометода [7] с некоторой модификацией. Животных забивали на 3,7 и 12-е сутки, сыворотку крыс использовали в качестве антигенного материала. Для иммуноэлектрофоретического анализа использовали гетероспецифические гипериммунные кроличьи нормальные преципитирующие антисыворотки к белкам сыворотки крыс с титром 1:40000; общее химическое окрашивание фореграмм проводили по схеме [8] амидочерным 10 и азокармином.

Как видно из рис., наиболее сильным радиозащитным действием обладают препарат № 17 и селенсемикарбазид, которые увеличивают выживаемость животных до 60 и 50%, а среднюю продолжительность жизни — до  $25,6 \pm 1,99$  и  $25,8 \pm 1,9$  суток соответственно. Препарат протамин-сульфат 1% радиозащитным эффектом не обладал (несколько удлинялась средняя продолжительность жизни по сравнению с контрольными животными —  $12,4 \pm 0,6$ ).

Известно, что одним из основных факторов, определяющих защиту организма, является его иммунобиологическое состояние, которое в наших опытах характеризовалось иммуноэлектрофоретическими показателями.

Анализ результатов исследований действия испытуемых соединений у интактных и облученных животных позволил установить разнохарактерные сдвиги иммуноэлектрофоретических показателей белков сыворотки крови. Как видно из табл., препарат № 17, введенный в организм интактных животных, оказывает положительное действие на его иммунобиологическое состояние. Выявляется 10 интенсивных дуг преципитации, каждая из которых соответствует различным системам антиген-антитело. На 3-й день после облучения регистрируется некоторое понижение иммунобиологических показателей белков сыворотки крови. Уменьшается электрофоретическая подвижность, число преципитативных дуг (6 д.), задерживается скорость образования реак-

#### Иммуноэлектрофоретические показатели белков сыворотки крови

Препаратор дня регистрации	Протамин-сульфат 1%											
	Селенсемикарбазид дни регистрации						После облучения					
	До облучения			После облучения			До облучения			После облучения		
3	7	12	3	7	12	3	7	12	3	7	12	
Альбумин	+++	+++	+++	+++	+++	+++	++	++	++	++	++	+++
$\alpha_1-0$	—	—	—	—	—	—	—	—	—	—	—	—
$\alpha_1-1$	+	+	+	+	+	+	+	+	+	+	+	+
$\alpha_1-2$	++	++	++	++	++	++	++	++	++	++	++	++
$\alpha_2-1$	+	+	+	+	+	+	+	+	+	+	+	+
$\alpha_2-2$	++	++	++	++	++	++	++	++	++	++	++	++
Глобулины	—	—	—	—	—	—	—	—	—	—	—	—
$\gamma_1-1$	+	+	+	+	+	+	+	+	+	+	+	+
$\gamma_1-2$	+	+	+	+	+	+	+	+	+	+	+	+
$\gamma_1-3$	+	+	+	+	+	+	+	+	+	+	+	+
$\gamma_2-1$	+	+	+	+	+	+	+	+	+	+	+	+
$\gamma_2-2$	+	+	+	+	+	+	+	+	+	+	+	+
$\gamma_2-3$	+	+	+	+	+	+	+	+	+	+	+	+
$\gamma_1-1$	+	+	+	+	+	+	+	+	+	+	+	+
$\gamma_1-2$	+	+	+	+	+	+	+	+	+	+	+	+
$\gamma_1-3$	+	+	+	+	+	+	+	+	+	+	+	+

(—) — отсутствие дуг на иммунофорограммах;  
(+) — слабозаметное присутствие дуг на иммунофорограммах;  
(++) — дуги имеют вид интенсивных и отчетливых линий;  
(++) — дуги не отличаются от аналогичных дуг контролльных животных.

ции антиген-антитело, что свидетельствует о понижении интенсивности процессов синтеза и нарушении иммунобиологической структуры сывороточных белков. Этот эффект нивелируется на 12-й день облучения, что выражается в увеличении скорости и интенсивности реакции пропитации; количество дуг пропитации несколько приближается к контрольным показателям [8]. Появляются и усиливаются  $\beta_{2-1}$ ;  $\beta_{2-2} \gamma_2$  - глобулиновые фракции. С усилением интенсивности реакции образования глобулиновых фракций, являющихся иммуноглобулинами и несущими на себе защитные функции организма, отмечается повышение иммунобиологической реактивности организма. Данные иммуноэлектрофорограмм сыворотки крови животных, получавших селенсемикарбазид, показали, благоприятное воздействие его на уровень белкового синтеза и иммунобиологических показателей. На всем протяжении опыта регистрируется 10–12 дуг пропитации. На 3-й день после облучения в сыворотке крови выявлено 8 белковых фракций повышенной интенсивности (особенно иммуноглобулиновые), тогда как в контроле – 4 истощенных дуги. При сравнении данных 3 и 12-го дней опытов видно, что часть глобулиновых фракций, идентифицированных вначале ( $\beta_{2-1} \beta_{2-2} \gamma_1 \gamma_2$  - глобулины), к концу исследований полностью отсутствует. При применении протамин-сульфата 1% эффект в иммуноэлектрофоретической картине белков менее значителен по сравнению с препаратами № 17 и селенсемикарбазид. У интактных крыс – протамин-сульфат 1% способствует усилению синтетического процесса образования белков с транспортосвязывающими функциями. Такого благоприятного эффекта мы не наблюдали у крыс в ходе ОЛБ, так как число, интенсивность, а также проявления дуг пропитации резко понижается.

Анализ полученных данных позволяет заключить, что препарат № 17 и селенсемикарбазид оказывают радиозащитный эффект, выражающийся в поддержании иммунобиологической реактивности облученного организма, тогда как протамин-сульфат 1% такого действия не оказывает.

#### Литература

1. Афонский С. И. В кн.: Биохимия животных.—М., 1970.
2. Клемпарская Н. Н., Шальнова Г. Н. В кн.: Аутофлора как индикатор радиационного поражения организма. — М., 1966.
3. Петров Р. В. В кн.: Иммунология лучевого поражения.—М., 1962.
4. Плохинский Н. А. В кн.: Биометрия. — Новосибирск: СО АН СССР, 1961.
5. Рокицкий П. Ф. В кн.: Биологическая статистика. — Минск: Высшая школа.
6. Grabar P. U., Williams C. A. Biochem. Biophys. Acta, 1767, 1955.
7. Sheidegger J. J. Internat. Arch. Allergy Appl. Immunol. 7, 109, 1955.
8. Werblstrom R. G., Wilson O. E. J. Animal Sci. 18, N 1, 1955.

Р. Э. Садыхзадэ, Р. А. Бабаев, К. Ш. Энисадова, Т. А. Гулиев, М. И. Чаббаров  
**ОРГАНИЗМЭ БЭЗИ ФИЗИОЛОЖИ ФЭАЛ МАДДЭЛЭР ЙЕРИДИЛДИКДЭ  
ИНТАКТ ВЭ ШУАЛАНЫШ ҮЕВАНЛАРЫН ГАН ЗЭРДАБЫ ЗУЛАЛЛАРЫНЫН  
ИММУНОЕЛЕКТРОФОРЕТИК КӨСТЭРИЧИЛЭРИ**

Мэгэлэдэ үејванлар үзэриндэ апарылан тэчүүрбэлээрда селенин синтетик үзви бирлэшмэлэрийн ва кичик молекул чөкли эсас зулалын радиомудафна хүснүүлэлтэри өөрнэйлиши, онларын нормада ва кэсийн, шүа хасталижи дөврүндэ үејван организмын иммунологи һалына тэсир ижтэрилжидир. Мүүжээн едилмийшидэри ки, эввалчадэн 17 №-ли препарат ва селенсемикарбазид алмыш синчовулларын ган зэрдабында иммунобиологи көстэричилээр јүкээ сэвийжээ олур. Селенсемикарбазид ва 17 №-ли препарат յеридилиши үејванларын ган зэрдабыннын иммуноэлектрофореграммларынын көстэричин тэсир етдиини билдирир.

М. Ф. ГУМБАТОВ

## ВЫЯВЛЕНИЕ ОПТИМАЛЬНЫХ ТЕМПЕРАТУРНЫХ УСЛОВИЙ ДЛЯ ГИПОФИЗАРНЫХ ИНЬЕКЦИЙ И СОЗРЕВАНИЯ ПРОИЗВОДИТЕЛЕЙ БЕЛОГО АМУРА, ПЕСТРОГО ТОЛСТОЛОБИКА И КУРИНСКОГО САЗАНА

Институт физиологии АН Азербайджанской ССР

Были установлены оптимальные температурные условия при проведении гипофизарных инъекций производителям белого амура, пестрого толстолобика и куринского сазана для заводского воспроизводства молоди этих видов рыб. Одновременно установлены дозировка и кратность введения инъекций.

В связи с акклиматизацией в Азербайджане растительноядных рыб и разработкой научной основы товарного рыбоводства представляется важным изучение их адаптационных возможностей в отношении температурного фактора. При этом определенный интерес имеет выяснение влияния разной градации температур на созревание и нерест производителей.

Температура воды играет важную роль при получении половых продуктов методом гипофизарных инъекций.

При оптимальных температурах и правильном определении дозы гипофизарных инъекций от одной пары производителей можно получить икру и молоки значительно больше и лучшего качества, чем при крайних температурах и несоответствии дозы гипофизарных инъекций. Известно, что оптимальной температурой для получения половых продуктов от сезана является 17–22°C [1, 3], а для белого амура и пестрого толстолобика 20–25°C [2, 4, 5]. Однако, как показывают наши наблюдения, в результате акклиматизации температурные границы созревания гонад могут несколько смещаться.

Исходя из сказанного, в нашу задачу входило определение оптимальных температур для гипофизарных инъекций, уточнение дозы и кратности их у всех трех видов (белый амур, пестрый толстолобик, куринский сезон) и влияние снижения температуры во время созревания гонад на процессы нереста.

Опыты проводились на Куринском производственно-экспериментальном осетровом рыбозаводном заводе (КПЭОРЗ) Нефтечалинского района. Объектами исследования служили: производители куринского сезана, белого амура и пестрого толстолобика.

Были взяты зрелые производители, т. е. готовые по внешним признакам для гипофизации самки и самцы, которым при различных температурах инъецировалась суспензия гипофиза сезана.

Всем самкам гипофизация проводилась двукратно. Предварительная доза (0,5–1 мг на самку) способствует подготовке организма к нересту и применяется в рыбоводстве [2]. При определении размаха взятых доз учитывали вес и размеры обхвата тела растительноядящей рыбы.

ядных видов рыб [2, 5]. Дозу разрешающей инъекции брали в различных вариантах (2, 3, 4 и 5 мг/кг веса самок). Опыты проводились на всех трех видах рыб при температурах 18—19, 20—21, 24—25°C.

Опыты показали, что в пределах температуры 18—19°C у белого амура при дозе гипофизарных инъекций 2,0 мг/кг ни одна самка не созревала (табл. 1). При этой же температуре, но при дозе гипофиза 3,0 мг/кг созревало только 20% инъецированных производителей, а при дозах 4,0—5,0 мг/кг — 50% самок. При различных дозах гипофизарных инъекций лучшие показатели созревания самок белого амура наблюдались в пределах температуры 24—25°C. Однако при этом в случае гипофизации 2,0 мг/кг созревало небольшое число самок (30%), а при гипофизации 3,0—4,0 мг/кг — 80% инъецированных самок белого амура.

Таблица 1

Влияние дозы гипофизарных инъекций на созревание производителей

Вид рыбы	Темпе- ратура, °C	Созреваемость самок (%) при различных дозах (мг/кг) разрешающей инъекции			
		2,0	3,0	4,0	5,0
Белый амур	18—19	0	20,0	50,0	50,0
	20—21	20,0	60,0	80,0	50,0
	24—25	30,0	80,0	80,0	70,0
Пестрый толстолобик	18—19	0	0	10,0	10,0
	20—21	10,0	20,0	50,0	60,0
	24—25	0	70,0	70,0	80,0
Курийский сазан	16—17	40,0	50,0	90,0	90,0
	20—21	60,0	90,0	100,0*	80,0*
	23—24	85,0	90,0	90,0	90,0

\* Икра имела низкое качество оплодотворяемости.

Пестрый толстолобик при инъектировании гормоном гипофиза в пределах температуры 18—19°C почти не созревал. При дозе гипофиза 4,0—5,0 мг/кг созревало только 10% самок. При этом овулировалась не вся икра, имеющаяся в ястыках.

Высокие показатели созревания при гипофизарных инъекциях самок пестрого толстолобика наблюдались в пределах температуры 24—25°C при дозах 3,0—5,0 мг/кг.

Для курийского сазана оптимальной являлась температура 20—21°C и доза гипофиза 3,0—4,0 мг/кг, так как в этих градациях наблюдались высокие показатели созреваемости самок.

Таким образом, исследования показали, что оптимальной температурой для получения половых продуктов методом гипофизарных инъекций являются для белого амура и пестрого толстолобика от 21 до 25°C, а для курийского сазана — 19—21°C. Оптимальной дозой гипофизарных инъекций для белого амура и пестрого толстолобика являются предварительная — 0,5—1,0 мг на самку разрешающая 3,0—4,0 мг/кг на самку. При этом необходимо учитывать и обхват тела. Для сазана предварительная доза 0,5 мг/кг, а разрешающая — 3,0—4,0 мг/кг. При увеличении дозы гипофизарных инъекций наблюдается снижение рыбоводного качества икры.

Самцы инъецировались однократно. Однако исследования показали, что при этом самцы давали молоки порциями и при получении икры от самок их не всегда хватало для оплодотворения. Кроме того, при частном выдавливании самцы травмируются и вместе со спермой на икру попадает кровь, что также снижает оплодотворяющую способность живчиков.

Учитывая это, в ряде серий опытов самцов сазана и толстолобика инъецировали квакратно: предварительная доза — 0,5 мг/кг и разрешающая — 0,5—1,0 мг/кг. В результате количество спермы, получаемой от каждого самца, значительно увеличивалось — до 10—15 мл против 2—4 мл, получаемой при однократной гипофизации.

Разрешающая инъекция как самкам, так и самцам производилась спустя 12—18 часов после предварительной.

После установления оптимальных доз гипофизарных инъекций были проведены исследования по выявлению оптимальных температур для созревания и нереста производителей после разрешающей инъекции. С этой целью брали по пять пар производителей от каждого вида и при различных температурах производили гипофизарную инъекцию по установленной нами дозе.

Опыты показали (рис. 1), что самки белого амура и пестрого толстолобика при температуре 14—15°C и 16—17°C при гипофизации

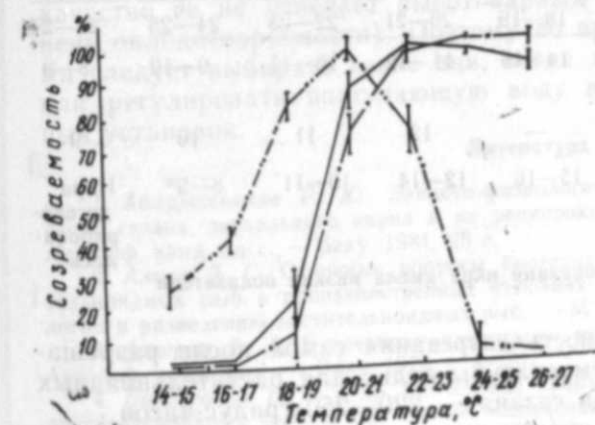


Рис. 1. Действие различных температур на созреваемость производителей при гипофизарных инъекциях: (—) — белый амур; (—·—) — пестрый толстолобик; (—·—) — курийский сазан.

гормоном независимо от дозы и кратности инъекций не созревают икра не овулируется. Из инъецированных самок сазана при температуре 14—15°C созревало 25% самок, а при 16—17°C — 40%. В пределах температуры 18—19°C созревало 10% инъецированных самок пестрого толстолобика, 20% — белого амура и 85—87% самок курийского сазана. Оптимальной температурой для сазана, при которой наблюдался наиболее высокий процент созревания и нереста производителей, являлась температура 20—21°C, созревало свыше 90% инъецированных самок. Для производителей белого амура и пестрого толстолобика оптимальной температурой для получения половых продуктов методом гипофизарных инъекций является 22—25°C, а в ряде опытов для пестрого толстолобика 24—27°C, так как в пределах этих градаций температур наблюдались высокие показатели созревания половых продуктов.

Работая с производителями сазана, белого амура и пестрого толстолобика, необходимо было установить и время созревания икры после разрешающей гипофизарной инъекции. Данный показатель имеет важное значение, так как своевременно полученная икра обладает лучшими рыбоводными качествами, чем созревшая с опозданием.

Опыты показали (табл. 2), что производители белого амура и пестрого толстолобика созревают спустя 240 градус-часов, т.е. после разрешающей инъекции при температуре 18—19°C созревание наступает через 14—15 часов, при 20°C — через 12 часов, а при 24°C — спустя 10 часов и т.д. Куриный сазан при температуре 16—17°C после разрешающей инъекции созревал спустя 16—18 часов, при 20—21°C — через 12—14 часов, при 22—23°C — через 10—11 часов. Гипофизация самок и самцов в пределах температуры 24—25°C не дала положительного результата, так как полученная икра была очень разнообразной. Обнаруживались дегенерированные — перезрелые икринки с белыми верхушками и при оплодотворении выяснилось, что они имеют низкие показатели оплодотворяемости (20—30%).

Таблица 2

Продолжительность созревания самок в различных температурах после разрешающей инъекции

Вид рыбы	Продолжительность созревания (ч) самок после разрешающей инъекции в различных температурах, °C						
	14—15	16—17	18—19	20—21	22—23	24—25	26—27
Белый амур	—	—	14—15	11—12	10—11	9—10	8—9
Пестрый толстолобик	—	—	—	12	11	10	9
Куриный сазан	—	—	16—18	15—16	12—14	10—11	8—9*

\* Часть самок созрела, а овулированная икра имела низкие показатели оплодотворяемости.

Как видно, продолжительность созревания самок после разрешающей инъекции зависит от температуры воды: для растительноядных рыб — 240 градус-часов, а для сазана — 220—250 градус-часов.

В рыбоводной практике куриных хозяйств часто наблюдается снижение температуры во время северных ветров, что вызывает нарушение созревания и нереста производителей. Однако вопрос, в какой степени снижение температуры является недопустимым и приводит к потере рыболовной икры, остался неизученным. Поэтому во время северных ветров регистрировалась температура до и после разрешающей инъекции и анализировались данные со степенью и продолжительностью созревания, по показателям оплодотворяемости икры у самок, созревавших при различных уровнях перепада температур.

Опыты показали, что белый амур и пестрый толстолобик более чувствительны к перепаду температуры, чем сазан, так как после разрешающей инъекции снижение температуры на 4—6°C от оптимума приводит к нарушению созревания производителей — не созрела ни одна самка (рис. 2). Для производителей сазана снижение температуры на 2°C не приводило к каким-либо изменениям в созревании и не-

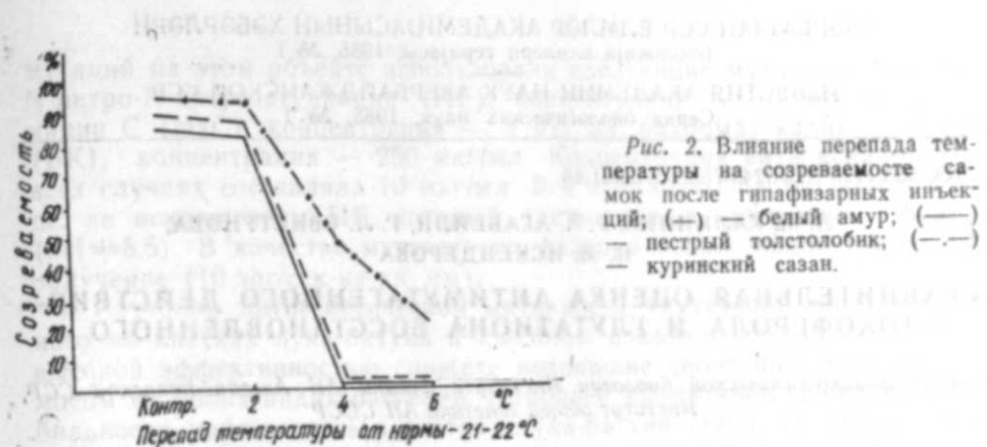


Рис. 2. Влияние перепада температуры на созреваемость самок после гипофизарных инъекций: (—) белый амур; (—) пестрый толстолобик; (—) куриный сазан.

зрещает производителей. При перепаде температуры на 4—6°C часть производителей не созревала и показатели оплодотворяемости были значительно ниже, чем контрольные.

Таким образом установлено, что во время гипофизарных инъекций перепад температуры больше 2°C нецелесообразен, так как приводит к нарушению процесса нереста и овуляции икринок, при этом определенное количество самок не нерестится, а в случае получения икры качество ее не отвечает рыболовным критериям (снижается степень оплодотворяемости). Поэтому во время работы с производителями следует выбирать такие дни, когда не ожидаются северные ветры или регулировать поступающую воду при помощи терморегуляционных установок.

#### Литература

- Абдурахманов Р. Ю. Эколого-физиологические особенности развития куриного сазана, зеркального карпа и их реципрокных гибридов в раннем онтогенезе. Автореф. канд. дисс. — Баку, 1981, 25 с.
- Алиев Д. С. Основные вопросы биотехники искусственного разведения растительноядных рыб в производственных условиях. В сб.: Новые исследования по экологии и разведению растительноядных рыб. — М.: Наука, 1968, с. 24—35.
- Аскеров Т. А. Биотехника заводского метода разведения куриного сазана. Автореф. канд. дисс. — Баку, 1970, с. 3—21.
- Виноградов В. К. и др. Биотехника промышленного разведения и выращивания растительноядных рыб. В сб.: Новые исследования по экологии и разведению растительноядных рыб. — М.: Наука, 1968, с. 35—48.
- Касимов Р. Ю. Методические указания по разведению и выращиванию белого амура в Азербайджане (на азерб. языке). — Баку: Элм, 1975, с. 3—29.

М. Ф. Һұмбетов

КҮР ЧӘКИСИ, АҒ АМУР ВӘ АЛАБӘЗӘК ГАЛЫНАЛЫН ТӨРӘДИЧИЛӘРИНИН ҺИПОФИЗАР ИНЪЕКСИЈА ВӘ ЖЕТИШМӘЛӘРІ ҮЧҮН ОПТИМАЛ ТЕМПЕРАТУР ШӘРАЛТИНИН МҰЭЖІЛӘШДИРИЛМЕСІ

Магаләдә Күр чәкиси, Ағ амур вә Алабәзәк галыналын төрәдичиләринин һипофизар инъексија вә жетишмәсі үчүн лаңым олан оптимал температур шәралының өјәннилмеш дир. Ма'лум олмушдур ки, Күр чәкиси төрәдичиләринин һипофизар инъексијасы үчүн иса 21—25°C оптимал температур 19—21°C, биткијејән балыгларын төрәдичиләрүү үчүн иса 2—2°C-дан чох дир. Һипофизар инъексијаны апарын заман температурарын оптимал савијәдән 2°C-дан чох ениб-галхмасы мәксуда уйғын дејиллар.

Һипофизар инъексијадан соңра төрәдичиләрни жетишмә мүддәти Күр чәкисинде 220—260 дәрәча/саат биткијејән балыгларда иса 230—250 дәрәча/саат олур.

Л. М. КАЛИНИНА, Р. А. АГАБЕЙЛИ, Г. Л. СВИСТУНОВА  
И. М. ИСКЕНДЕРОВА

Сектор физико-химической биологии Института физики АН Азербайджанской ССР,  
Институт общей генетики АН СССР

Установлена способность глутатиона восстановленного ингибировать спонтанную и индуцированную мутабильность в клетках сосудистых растений лука-батуна *Allium fistulosum* Z., пшеницы *Triticum aestivum* Z., сорт Кавказ, а также бактерий *E. coli*.

За последние годы в литературе накапливается все больше сведений о роли природных ферментов окислительно-восстановительной системы в регуляции мутагенеза [1—3]. Исследование генетической активности высокоактивных биологических соединений — витаминов, оксидазных ферментов и кофакторов этой ферментной системы — представляет значительный интерес. Известно, что многие витамины содержатся в форме кофакторов [4, 5] в ряде окислительно-восстановительных ферментов, относящихся к классу оксидоредуктаз. В частности глутатион восстановленный, являясь кофактором ряда ферментов и ферментных систем, представляет интерес для изучения его генетической активности. Глутатион содержится в пищевых продуктах и является одним из главных антиоксидантов в растворимой фракции клеток [6]. По имеющимся данным, пищевой глутатион также является эффективным антиканцерогеном против афлотоксина [7], радиозащитным средством [8].

Целью настоящего исследования явилось изучение генетического действия природного антиоксиданта — глутатиона восстановленного и сравнение его эффекта с  $\alpha$ -токоферолом, антимутагенная активность которого хорошо изучена.

В опытах с сосудистыми растениями — пшеницей *Triticum aestivum* Z.) сорта Кавказа и луком-батуном (*Allium fistulosum* Z.) в качестве мутагенного фактора использовали гамма-лучи. Семена пшеницы облучали на гамма-установке РХМ—20<sup>60</sup>CO Р=0,7 Гр/с в дозе 60 Гр и проращивали в термостате при 25°C в растворах глутатиона восстановленного (фирма „Reanal“) и  $\alpha$ -токоферола. Для получения водных растворов  $\alpha$ -токоферола использовали солюбилизатор твин-60. Проростки длиной 5—7 мм для лука-батуна и 10—12 мм для пшеницы фиксировали в ацетат-алкогольной смеси (1:3), для лука-батуна через 65 ч и для пшеницы 44,48 ч от начала замачивания семян [9]. Готовили давленые временные ацетокарминовые препараты. Пестротики хромосом учищивали по стандартной методике.

В работе также использован бактериальный тест — *E. coli* истамм B/g WP2 trp E . Среды и растворы описаны ранее [11]. Для индукции

мутаций на этом объекте использовали следующие мутагены: N-метил-N-нитро-N-нитрозагуанидин (НГ), концентрация — 10 мкг/мл, митомицин С (МтС), концентрация — 5 мкг/мл, бихромат калия —  $K_2C_2O$  (БК), концентрация — 250 мкг/мл. Концентрация антиоксидантов во всех случаях составляла 10 мкг/мл. Все препараты растворялись в воде, за исключением НГ, который растворяли в цитратном буфере ( $pH=5,5$ ). В качестве мутагенного фактора использовано также УФ-облучение (10 эрг/сек на кв. мм).

Изучение цитогенетической активности глутатиона восстановленного на клетках лука-батуна и пшеницы показало способность его с высокой эффективностью снижать возникшие спонтанно мутации хромосом на обоих видах растений. Наиболее эффективно снижение мутабильности наблюдалось в клетках лука-батуна (табл. 1). Однако и на

Таблица 1

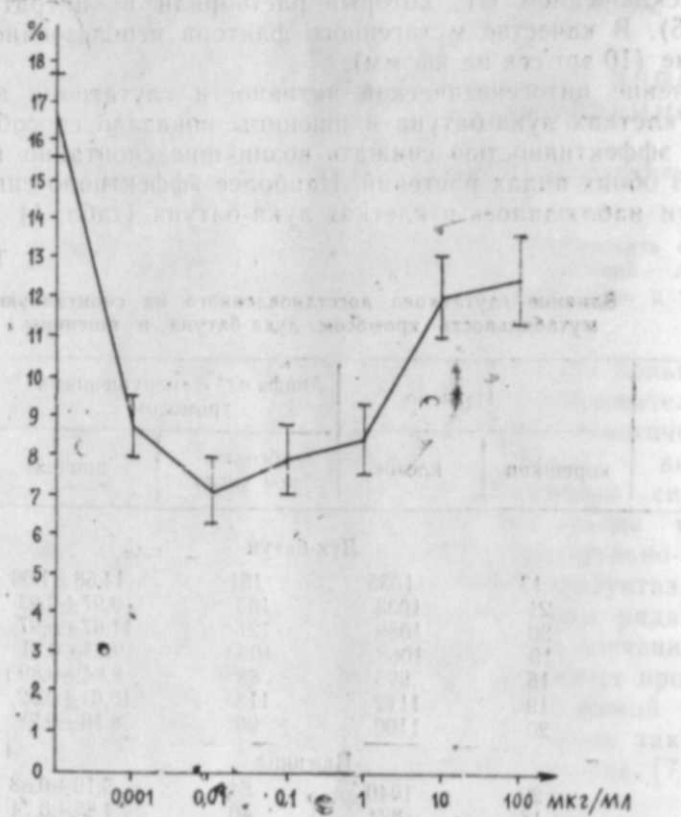
## Влияние глутатиона восстановленного на спонтанную мутабильность хромосом лука-батуна и пшеницы

Концен- трация, мкг/мл	Изучено		Анафазы с нарушениями хромосом		<i>P</i>
	корешков	клеток	абсолют- ное число	процент	
Лук-батун					
Контроль	13	1035	151	14,58±1,09	—
0,001	21	1033	103	9,97±0,93	<0,05
0,01	20	1089	127	11,67±0,97	<0,01
0,1	19	1068	105	9,83±0,91	<0,01
1	15	995	88	8,84±0,89	<0,05
10	19	1112	118	10,61±0,92	<0,01
100	20	1100	90	8,18±0,28	<0,01
Пшеница					
Контроль	20	1040	54	5,19±0,68	—
0,001	14	824	40	4,85±0,74	—
0,01	11	1002	42	4,19±0,63	<0,01
0,1	16	1070	29	2,71±0,49	<0,01
1	19	934	22	2,35±0,49	<0,01
10	15	840	14	1,66±0,44	<0,01
100	22	966	31	3,20±0,56	<0,01

пшенице процесс ингибирования мутабильности протекал интенсивно и глутатион в концентрациях 10,1 и 0,1 мкг/мл снижал количество клеток с aberrациями хромосом соответственно до  $1,66 \pm 0,44$ ;  $2,35 \pm 0,49\%$ ;  $2,7 \pm 0,49\%$  против  $5,10 \pm 0,68\%$  в контроле соответственно ( $P < 0,01$ ). Что касается лука-батуна, то на этом объекте диапазон эффективных концентраций глутатиона значительно шире (табл. 1) и минимальный эффект восстановленного глутатио-

Ранее был показан защитный эффект восстановленного глютатиона при задержке митоза, вызванной супероксидом, образуемым ксантинооксидазной системой в растущей популяции Кл L=5 [12]. В то же время установлено усиление глутатионом мутагенности соединений селена в клетках млекопитающих и мутагенности 1,2-дихлорэтана на сальмонеллу [13, 14]. В связи с этим в настоящей работе изучено влияние глутатиона на индуцированную мутабильность в клетках сосудистых растений.

Результаты исследований показали, что влияние глутатиона в концентрациях 0,1; 0,01 мкг/мл привело к снижению мутабильности хромосом до уровня контроля (рисунок). В то же время надо отметить достоверное снижение мутабильности хромосом, даже при действии самой высокой концентрации — 100 мкг/мл.



Влияние глутатиона восстановленного на индуцированные гамма-лучами мутации хромосом лука-батуна: по оси абсцисс — концентрация, мкг/мл; по оси ординат — измененные клетки, %.

Анализ пролиферативной активности показал, что действие глютатиона приводит к увеличению количества делящихся клеток пшеницы, особенно существенном при действии вещества в концентрациях 0,01 и 0,001 мкг/мл. Аналогичный эффект наблюдается и на луке-батуне, однако наибольшее изменение скорости деления клеток было характерно для более высоких концентраций.

Следует отметить, что модификация уровня мутабильности не коррелирует с изменениями в скорости пролиферации и это свидетельствует о том, что снижение уровня мутабильности при действии глутатиона не является артефактом, связанным с изменением скорости деления клеточной популяции. При анализе спектра структурных мутаций хромосом было установлено, что антимутагенное действие глутатиона не приводит к изменениям в спектре, а проявляется на фоне

общего снижения относительного количества различных типов aberrаций хромосом.

Изучение действия  $\alpha$ -токоферола на радиационноиндуцированные мутации у пшеницы показало, что этот препарат с высокой эффективностью снижает радиационноиндуцированную мутабильность хромосом (табл. 2). Сопоставление эффективности antimутагенного действия глутатиона на высших растениях — луке и пшенице — показало, что оба препарата с одинаковой эффективностью снижают индуцированные радиацией мутации хромосом у растений.

Таблица 2

## Влияние разных концентраций $\alpha$ -токоферола на радиационно-индуцированные мутации хромосом пшеницы

Вариант опыта	Концентрация, мкг/мл доза, Гр	Изучено		Анафазы с нарушениями хромосом		<i>P</i>
		корешков	клеток	абсолютное число	%	
Контроль (вода)	—	15	565	40	7,04±1,15	—
Контроль (твин)	—	14	650	35	5,38±0,88	—
Гамма-лучи	60	15	580	65	11,20±1,31	—
$\alpha$ -токоферол	0,1	20	667	36	5,39±0,91	<0,0
	0,01	20	638	23	3,60±0,73	<0,0
	0,001	21	629	8	1,27±0,43	<0,0

Старение, облучение, действие мутагенных факторов среды на живые организмы вызывает накопление перекисей и свободных радикалов высокоактивных продуктов, которые нарушают целостность клетки и выводят из строя их биологически важные компоненты. Показано [15] изменение ферментов при старении (супероксиддисмутазы, каталазы, глутатионпероксидазы). Большинство организмов имеет систему антиоксидантной защиты, в состав которой входят супероксиддисмутаза, каталаза и пероксидазы, разлагающие перекиси. Восстановленный глутатион участвует в разрушении перекиси и гидроперекиси ненасыщенных кислот, гормонов, нуклеиновых кислот, образующихся в процессе метаболизма [16].

Исходя из этого, можно полагать, что одним из механизмов защитного действия изученных антиоксидантов  $\alpha$ -токоферола и глутатиона восстановленного, являющихся необходимыми компонентами липидно белковых фракций клеточных и субклеточных мембран, проявляющих в низких концентрациях защитный эффект от различных мутагенных воздействий, может являться стабилизация мембран и восстановление окислительно-восстановительных процессов клетки.

В проблеме антимутагенеза одним из важнейших является изучение эффективности ингибиторов мутабильности в отношении различных мутационных тестов — aberrаций хромосом и генных мутаций [17]. В связи с этим были проведены эксперименты с кишечной палочкой. В табл. 3 представлены результаты экспериментов по модифицирующему действию  $\alpha$ -токоферола и глутатиона на спонтанный мутагенез в клетках *E. coli*, из которых можно видеть, что оба препарата с одинаковой и высокой эффективностью снижают спонтанную мутабильность в клетках *E. coli*. Частота мутаций при действии глутатиона снижена до 65%;  $\alpha$ -токоферола — 68%.

Исследование модифицирующего действия глутатиона проводили также в условиях воздействия различных мутагенов — НГ, МтС, БК, являющегося средовым мутагеном, и УФ-лучей. Как видно из результатов, представленных в табл. 4, глутатион ингибирует мутабильность,

Таблица 3

**Модифицирующее действие антиоксидантов на спонтанный мутагенез в клетках *E. coli***

Вариант	Частота мутаций $\times 10^{-5}$	P	% снижение частоты мутаций
Глутатион	1,2 ± 0,6	<0,05	65
$\alpha$ -токоферол	1,1 ± 0,3	<0,05	68
Контроль	3,4 ± 0,8		

Таблица 4

**Модифицирующий эффект антиоксидантов на индуцированный мутагенез в клетках *E. coli***

Мутаген	Частота индуцированных мутаций	Глутатион			$\alpha$ -токоферол		
		Частота мутаций	P	%	Частота мутаций	P	%
НГ	1,4 · 10 <sup>-5</sup> ± 0,2	0,5 · 10 <sup>-5</sup> ± 0,3	<0,01	62	0,4 · 10 <sup>-5</sup> ± 0,3	<0,01	71
МтС	2,5 · 10 <sup>-6</sup> ± 0,5	1,5 · 10 <sup>-6</sup> ± 0,3	>0,05	40	1,3 · 10 <sup>-6</sup> ± 0,3	<0,05	48
БК	2,2 · 10 <sup>-6</sup> ± 0,5	1,0 · 10 <sup>-6</sup> ± 0,2	<0,05	55	0,8 · 10 <sup>-6</sup> ± 0,2	<0,02	64
УФ	1,9 · 10 <sup>-8</sup> ± 0,5	1,5 · 10 <sup>-8</sup> ± 0,2	>0,05	21	1,5 · 10 <sup>-8</sup> ± 0,2	>0,05	21

индуцированную двумя факторами, в частности — НГ и БК. В большей степени модифицируются мутации, вызванные НГ. Принимая во внимание специфику повреждений, вызываемых указанными мутагенами, можно полагать, что глутатион менее эффективен в отношении факторов, вызывающих сшивки ДНК. Однако этот вопрос требует дальнейшего изучения и количественной оценки. Глутатион и  $\alpha$ -токоферол оказались неэффективными в отношении снижения индуцированной МтС и УФ мутабильности, сравнительная оценка antimутагенного действия  $\alpha$ -токоферола и глутатиона на *E. coli* показала почти одинаковую эффективность при модификации спонтанной и индуцированной НГ и БК мутабильности.

Таким образом, впервые выявлена эффективность глутатиона восстановленного в отношении регуляции спонтанной и ингибиции индуцированной мутабильности, что свидетельствует о новых аспектах функциональной значимости глутатиона и его практической перспективе.

**Литература**

- Алекперов У. К. Антимутагены и проблема защиты генетического аппарата. Баку: Элм, 1979, с. 113.
- Гудман М., Морхауз Ф. Органические молекулы в действии. — М.: Мир, 1977, с. 335.

3. Дубинин Н. П., Щербаков В. К., Дубикова Г. Л. и др. Цитогенетический анализ естественного мутационного процесса. — Цитология, 1965, т. 7, № 1, 72—78.

4. Колотилова А. И., Глушанков Е. П. Витамины (химия, биология и физиологическая роль). — Л.: Изд-во ЛГУ, 1976, с. 248.

5. Ленинджер А. Биохимия. — М.: Мир, 1974, с. 957.

6. Мехтиев Н. Х., Агабеили Р. А., Меликова Н. К. Влияние селенита натрия на индуцированные этиленимином и гамма-лучами мутации хромосом. — Генетика, 1980, т. XVI, № 12, 2226—2228.

7. Сардарлы Г. М., Калинина Л. М., Алекперов У. К., Тарасов В. А., Алиев А. А. Генетический контроль antimутагенного действия  $\alpha$ -токоферола при обработке клеток *Escherichia coli* нитрозогуанидином. Молекулярная генетика, микробиология и вирусология. — М.: Медицина, 1983, № 6, 23—31.

8. Тарусов Б. Н., Антонов В. Ф., Бурлакова К. Е. и др. — Биофизика, 1968.

9. Agabeili R. A., Melicova N. K. To the problem of enzymatic regulation of plant mutation process. 11th Annual Meeting of the European Environmental mutagen society. July, 6—11, 4, 1981, Budapest, Hungary.

10. Gershon D., Glass G., Eovill, Rernick, Sbpund S. Enzyme alterations in aging [Dept of Biol, Technion-Israel Inst. of Technology, Haifa, IL] Biol. Cell, 45, N 3, 391, 1982.

11. Kawasaki S., Haschimoto H. Защитный эффект восстановленного глутатиона при задержке митоза, вызванной супероксидом, образуемым ксантил-ксантиноксидазой системой. Нихон ираку хосясан гаккай дзасси, Nippon Acta Radiol.

12. Novi A. M. Regressin of aflatoxin B<sub>1</sub>-induced hepatocellular carcinogens by reduced glutathione. Sciencee, 212, 541, 1981.

13. Nordenson J. Effect of superoxide and catalase on radiation-induced chromosomal aberrations. Dose and cell cycle dependence. Hereditas, 89, N 2, 163—167, 1978.

14. Rannig U., Sundvall A., Ramel C. The mutagenic effect of 1, 2-dichloroethane on *Salmonella Typhimurium*. I. activation through conjugation with glutathione in vitro chem. Biol. Interactions, 20, 1—16. Elsevier/North-Holland Scintific Publishers Ltd, 1978.

15. Sudharssan Raj, Heddle J. A. The effect of superoxide dismutase, \* catalase and Z-cysteine on spontaneous and on mitomycin C induced chromosomal breakage in lankonis anemia and normal fibroblasts as measured by the micronucleus method. Mutat. Res., 78, N 1, 59—66, 1980.

16. Warholm M., Gutenberg C., Mannervik B., C. Von Babr. Purification of a new glutathione S-transferase (transferase, u) from human liver having high activity with benzo(f) pyrene-4,5-oxidase. Biochem. Biophys. Res. Commun., 98, 512, 1981.

17. Whiting R. F., Wei Z., Stib H. F. Enhancement by transition metals of unscheduled DNA synthesis induced by isoniazid and related hydrazines in cultured normal and xeroderma pigmentosum human cells. Mutat. Res., 62, N 3, 1973.

Л. М. Калинина, Р. А. Агабеили, Г. Л. Свищунова, К. М. Искандарова

**α-ТОКОФЕРОЛУН ВЭ РЕДУКСИЈАЛАШМЫШ ГЛУТАТИОНУН  
АНТИМУТАКЕН ТӘ'СИРИНИН МУГАЙСЕСИ**

Мәгарәдә редуксијалашмыш глутатионун,  $\alpha$ -токоферолун *Allium fistulosum* L. *Triticum aestivum* L. (Гағас сорту) али биткіләрни, *E. coli* бактеријаларының  $\text{H}_2\text{O}_2$  нүчејәрәләрнәндә спонтан вэ индуksия едилмиш мутабилити зәйфләтмә ѡоллары көста-рилмишdir.

Глутатионун модификасија тә'сирі мұхталиф мутакенләрнін гамма вэ УФ шулаларының, нитрозогуанидин (НГ), митомицин С (МтС), калиум бихромат (БК) васитасынан тәрәддилмишdir. Ыәмчинин али биткіләрни вэ бактеријаларының нүчејәрәләрнәндә глутатион тәрәддилмишdir. Ыәмчинин али биткіләрни вэ бактеријаларының нүчејәрәләрнәндә глутатион тәрәддилмишdir.

М. Д. САИЛОВ

## ЩЕЛОЧНАЯ ДНК-аза СЕМЕННИКОВ ГУСЕНИЦ ТУТОВОГО ШЕЛКОПРЯДА. I. ВЫДЕЛЕНИЕ, ОЧИСТКА И ЭЛЕКТРОФОРЕТИЧЕСКИЙ АНАЛИЗ ФЕРМЕНТА

Сектор физико-химической биологии Института физики АН Азербайджанской ССР

Из семенников гусениц тутового шелкопряда методами сульфат-аммонийного осаждения, гельфильтрации и ионообменной хроматографии выделена и очищена в 250 раз щелочная ДНК-аза. Электрофоретический анализ фермента в ДНК-полиакриламидном геле показал, что полученная ДНК-аза состоит из двух молекулярных форм фермента, отличающихся по электрофоретической подвижности.

В протекании важнейших генетических процессов на уровне ДНК в клетке принимает участие целый ряд ферментов, наиболее широкую группу которых представляют нуклеазы [8]. Наиболее изученными являются нуклеазы млекопитающих и микроорганизмов [1, 17]. Нуклеазам насекомых посвящено ограниченное количество работ, несмотря на большое видовое разнообразие данного класса организмов и характерную для их тканей высокую активность ферментов метаболизма ДНК [2, 11].

У тутового шелкопряда, хозяйствственно-полезного вида насекомых, ДНК-азная активность выявлена практически на всех стадиях развития [5, 10, 12], но лишь в ряде случаев проводились выделение, очистка и изучение свойств самих ферментов [3, 14, 15].

Изучение ДНК-аз половых клеток гусениц тутового шелкопряда представляет несомненный интерес, поскольку именно в половых клетках ДНК подвергается наиболее интенсивному метаболизму.

В данном сообщении представлены результаты по выделению, очистке и изучению некоторых свойств щелочной ДНК-азы семенников гусениц V-го возраста породы Азад, выведенной в НИИ шелководства Азербайджанской ССР г. Кировабада.

Объектом исследования служили семенники гусениц V-го возраста тутового шелкопряда породы Азад. Извлеченные семенники после промывки в буфере для гомогенизации немедленно замораживались при температуре сухого льда и хранились до употребления при  $-20^{\circ}\text{C}$  в герметически закрытых пробирках.

ДНК выделяли из семенников петуха детергентным методом [4] и обрабатывали последовательно РНК-азой А и проназой (Boehringer, Mannheim, ФРГ) при конечной концентрации 50 и 500 мкг/мл соответственно. После дегроптилизации и последующих спиртовых пересаждений ДНК растворяли в буфере, содержащем 10 мМ трис-HCl pH 7,8; 1 мМ ЭДТА и 20 мМ NaCl, и использовали в качестве субстрата для определения ДНК-азной активности. Денатурацию ДНК проводили нагреванием при  $100^{\circ}\text{C}$  в течение 10 минут и последующим резким охлаждением.

Активность щелочной ДНК-азы на различных этапах ее очистки

определяли спектрофотометрически по приросту кислоторастворимых продуктов гидролиза ДНК [16]. Стандартная инкубационная смесь в объеме 0,5 мл содержала следующие компоненты: 0,25 мл 0,2 М трис-HCl pH 8,5  $37^{\circ}\text{C}$ ; 0,05 мл 0,2% раствора ДНК; 0,05 мл 50 мМ раствора MgCl<sub>2</sub>; 0,1 мл бидистиллированной воды и 0,05 мл раствора фермента. После инкубации в течение 1 часа при  $37^{\circ}\text{C}$  смесь охлаждали в ледяной бане в течение 10 минут, добавляли 1 мл холодного раствора 0,5 НHCl<sub>4</sub> и выдерживали 10 минут при  $0^{\circ}\text{C}$  для осаждения кислоторастворимых продуктов гидролиза ДНК. Осадок отделяли центрифугированием при 5000 xg 10 минут и измеряли оптическую плотность супернатанта на спектрофотометре «Spectromon -204» (МОМ, Венгрия) при длине волны 260 нм ( $A_{260}$ ) против контрольной пробы, в которую фермент добавляли после инкубации. За единицу активности фермента принимали такое его количество, которое вызывает увеличение  $A_{260}$  на 1 единицу за 1 час. Удельную активность рассчитывали в единицах активности на 1 мг белка.

Исходный белковый экстракт получали гомогенизацией размороженной навески ткани в буфере «А» (25 мМ трис-HCl pH 7,5; 2 мМ MgCl<sub>2</sub> 1 мМ ЭДТА, 2 мМ ДТТ, 5 % глицерин, 0,1 мМ ФМСФ) в гомогенизаторе типа тefлон-стекло.

Все продукты очистки проводили при  $+4^{\circ}\text{C}$ . Гомогенат центрифугировали при 20000xg 15 минут, осадок промывали этим же буфером и вновь центрифугировали в этом же режиме; полученные супернатанты объединяли, а образующийся на поверхности липидный слой удаляли фильтрованием.

Белок высыпали сухим сульфатом аммония (80% от насыщения), добавляя 1 Н NaOH из расчета 1 мл на 10 г соли. После полного растворения соли супензию оставляли на холде в течение ночи для формирования осадка. Осадок отделяли центрифугированием при 20000xg в течение 30 минут, растворяли в минимальном объеме буфера «Б» (50 мМ трис-HCl pH 8,14; 2 мМ MgCl<sub>2</sub>, 0,5 мМ ЭДТА, 2 мМ ДТТ, 5 % глицерин) и диализовали против этого же буфера в течение ночи. Диализат центрифугировали 20000xg 15 минут и полученную фракцию использовали в качестве источника фермента.

Исходную фракцию концентрировали ультрафильтрацией через мембранный «Рипор-4» и наносили на колонку с сефадексом G-75 («Farmacia», Швеция; размер колонки 1,5×90 см), уравновешенную буфером «Б». Элюцию проводили этим же буфером со скоростью 12 мл/час, собирали фракции по 3 мл и определяли в них ДНК-азную активность. Активные фракции объединяли.

Дальнейшую очистку проводили на колонке с ДЭАЭ-целлюлозой (ДЕ-23, «Whatman», Англия; размер колонки 2,5×20 см), активированной по прописи фирмы и уравновешенной буфером «Б». Несвязавшийся с колонкой белок отмывали исходным буфером со скоростью 15 мл/час до исчезновения белка в элюате. Далее элюцию проводили градиентом (V=500 мл) с возрастающей концентрацией NaCl от 0 до 0,5 М в буфере «Б». Активные фракции объединяли, концентрировали и хранили в 30% глицерине при  $-20^{\circ}\text{C}$ . Полученную фракцию фермента подвергали электрофоретическому анализу.

Электрофоретический анализ ДНК-азы проводили на пластинке 5% поликариламидного геля (140×140×1 мм) в приборе для вертикального электрофореза. Для выявления активных полос ДНК-азы в

гель заплавляли ДНК до конечной концентрации 35—40 мкг/мл [4]. Электрофорез проводили при напряжении 160 в и силе тока 20 мА на пластинку в течение 5 часов при 5°C. По окончании электрофореза гель инкубировали в буфере, содержащем 40 мМ трис-HCl pH 8,5 при 25°C и 10 мМ MgCl<sub>2</sub>. ДНК окрашивали добавлением бромистого этидия до конечной концентрации 1 мкг/мл. Гель фотографировали в проходящем ультрафиолетовом свете на приборе типа «Ультрахемископ» на пленку «Микрат-300» через светофильтр ОС-12 [4].

Концентрацию ДНК определяли по Спирину [7], концентрацию белка — по Брэдфорду [13], РНК-азную активность — по методу [12].

Как видно из таблицы, ДНК-азная активность в процессе очистки

#### Очистка ДНК-азы из семенников гусениц тутового шелкопряда

Стадии очистки	Белок, мг	Активность, ед.	Удельная активность, ед./мг белка	Степень очистки	Выход, %
Исходный экстракт	250	—	—	—	—
Осаждение сульфатом аммония (80% от насыщения)	160	28,8	0,18	1	100
Гель-фильтрация (сепадекс G-75)	66	21,3	0,323	1,8	74
Ионообменная хроматография на ДЭАЭ-целлюлозе	0,43	19,3	44,8	250	67

возрастала в 250 раз с сохранением 67% исходной активности. Активность ДНК-азы в исходном гомогенате проявлялась слабо, в пределах погрешности используемого метода, что, по-видимому, обуславливается наличием в клеточном экстракте эффективного ингибитора ДНК-азной активности, заметно исчезающего уже после стадии осаждения белков сульфатом аммония.

Гель-фильтрация на сепадексе марки G-75, считающимся наиболее удобным в разделении грубых белковых экстрактов [6], позволила отделить основную ДНК-азную активность, выходящую одним пиком в свободном объеме колонки от большей части балластных белков и сопутствующей ДНК-азной активности (рис. 1). В результате данной процедуры очистки удельная активность фермента увеличилась в 1,8 раз.

Хроматография на ДЭАЭ-целлюлозе является наиболее эффективным этапом очистки фермента. Выбранное значение pH позволяло достичь прочного связывания балластных белков, десорбция которых достигалась лишь при значительном увеличении ионной силы буфера, в то время как основная активность элюировалась при низкой концентрации NaCl (20—40 мМ). Как видно из рис. 2, созданный линейный градиент NaCl и сравнительно низкая скорость элюции позволяли эффективно разделить белковые фракции. Удельная активность полученной фракции фермента возрастала до 44,8 ед. активности/мг белка, что соответствует очистке в 250 раз. Полученный ферментный препарат не содержал примесей РНК-аз и полностью сохранял активность в течение не менее 6 месяцев в 30% глицерине при —20°C.

Электрофоретический анализ очищенного фермента в 5% ПААГ

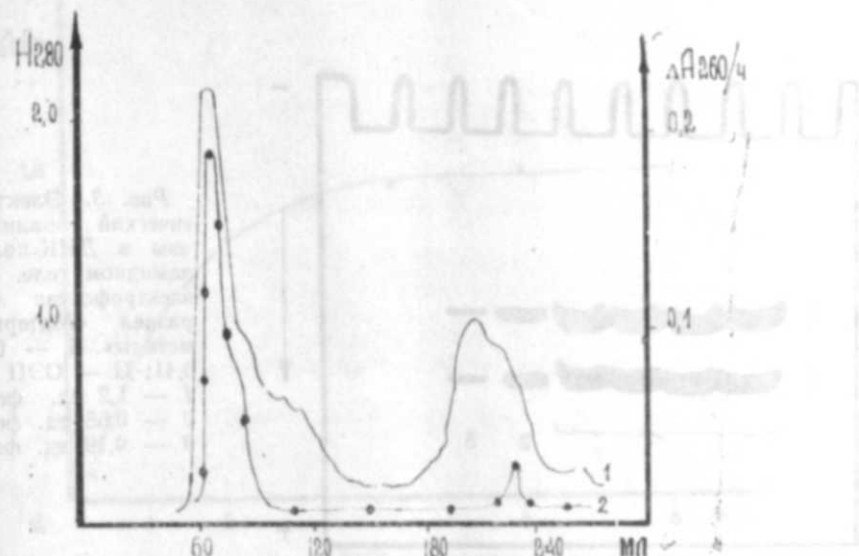


Рис. 1. Гель-фильтрация щелочной ДНК-азы семенников гусениц тутового шелкопряда через сепадекс G-75: 1 — кривая элюции белка; 2 — активность щелочной ДНК-азы ( $A_{260}/\text{м}$ ).

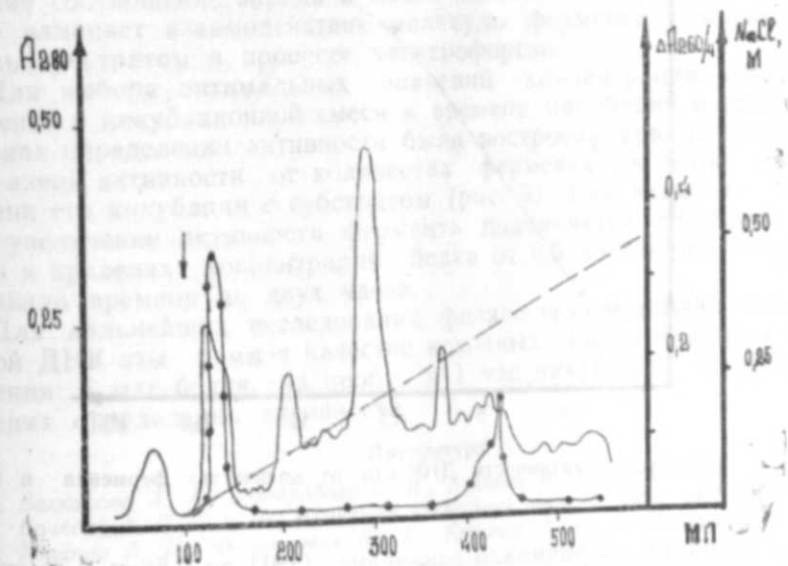


Рис. 2. Ионообменная хроматография на ДЭАЭ-целлюлозе щелочной ДНК-азы семенников гусениц тутового шелкопряда. Условные обозначения те же, что на рис. 1; стрелкой указано начало градиента NaCl —.

показал, что выделенная ДНК-аза, по-видимому, представляет собой смесь двух молекулярных форм, отличающихся по относительной электрофоретической подвижности (ОЭП) — 0,41 и 0,51 (рис. 3). Включение в гель денатурированной ДНК не изменяло ОЭП ДНК-аз, но присутствие в геле с ДНК ненапонного детергента тритона X-100 в 0,1%

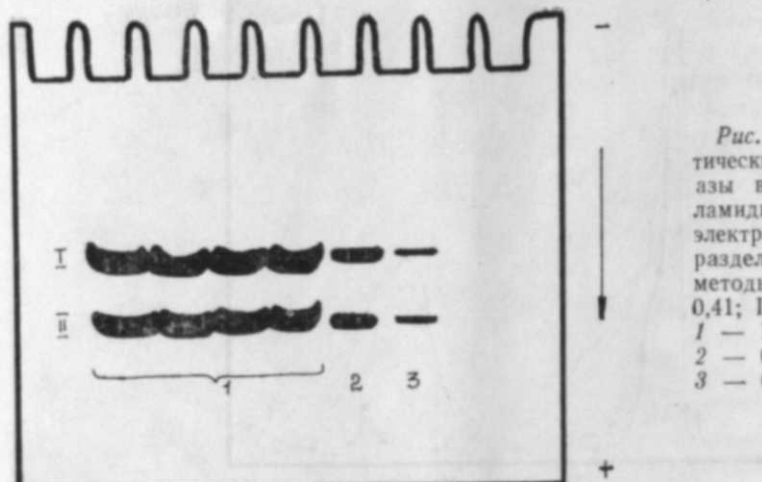


Рис. 3. Электрофоретический анализ ДНК-азы в ДНК-полиакриламидном геле. Условия электрофореза — см. раздел «Материалы и методы». I — ОЭП — 0,41; II — ОЭП — 0,51. 1 — 1,2 ед. фермента; 2 — 0,65 ед. фермента; 3 — 0,19 ед. фермента.

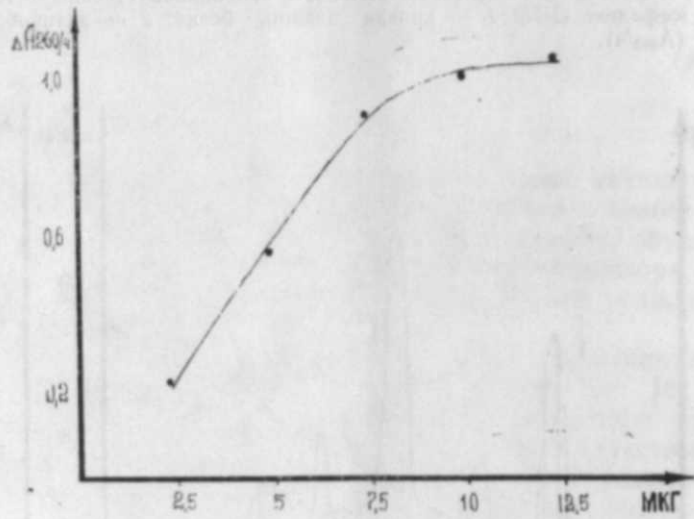


Рис. 4. Зависимость активности ДНК-азы от количества фермента в инкубационной смеси.

ной концентрации увеличивало значение ОЭП до 0,58 и 0,71 соответственно, не изменяя при этом подвижности двух форм ДНК-азы друг относительно друга и характера проявления их активностей. Предварительная инкубация фермента с 1% тритоном X-100 в течение 30 минут на холода также не влияла на подвижность ДНК-азы в ДНК-полиакриламидном геле, содержащем 0,1% детергента. По-видимому, для изменения своей ОЭП молекулам фермента вполне достаточно того количества детергента, которое ими связывается по мере миграции в геле. Влияние на электрофоретическую подвижность ДНК-азы нейтрального детергента тритона X-100, известного своей способностью связываться с гидрофобными участками белковой молекулы [9], можно

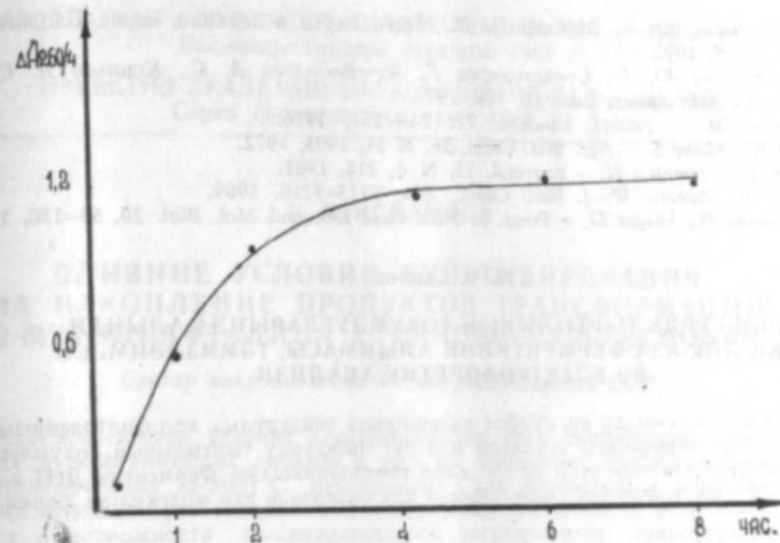


Рис. 5. Зависимость активности ДНК-азы от времени инкубации.

объяснить следующим образом: вероятно, тритон X-100 способствует диссоциации ДНК-азы из какого-то белкового комплекса, тем самым изменяя соотношение заряда к массе белковой молекулы фермента, и (или) изменяет взаимодействие молекулы фермента с заплавленным в гель субстратом в процессе электрофореза.

Для выбора оптимальных значений концентрации очищенного фермента в инкубационной смеси и времени инкубации в стандартных условиях определения активности были построены кривые зависимости ДНК-азной активности от количества фермента по белку (рис. 4) и времени его инкубации с субстратом (рис. 5). Как видно из этих кривых, увеличение активности фермента подчиняется линейной зависимости в пределах концентраций белка от 2,5 до 7,5 мкг на пробу и интервала времени до двух часов.

Для дальнейших исследований физико-химических свойств полученной ДНК-азы нами в качестве исходных были выбраны средние значения: 5 мкг белка на пробу и 1 час инкубации в стандартных условиях определения активности.

#### Литература

- Баскакова А. А., Безбородова С. И., Беляева Н. И. и др. — М.: Наука, 1974.
- Бочкова А. П. — В сб.: Биохимия насекомых, вып. 22, 1980, 48.
- Бочкова А. П., Филиппович Ю. Б., Коничев А. С. — Биохимия, 47, 1982, 489—496.
- Бронштейн И. Б., Шахbazян Г. К., Кафцани К. А. — Биохимия, 48, 1, 1983, 92—103.
- Видута О. Д., Севастьянова Г. А. — В сб.: Биохимия насекомых, 216, 108, 1979.
- Макулин А. И., Филиппович Ю. Б. — В сб.: Биохимия насекомых, 17, 1974, 131—140.
- Спирин А. С. — Биохимия, 23, 656, 1958.
- Татарская Р. И. — Молекулярная биология, 10, № 2—3, 235, 477, 1976.
- Остерман Л. А. Методы исследования белков и нуклеиновых кислот. Электрофорез и ультрацентрифугирование. — М.: Наука, 1981.
- Филиппович Ю. Б., Коничев А. С., Водолесов А. С. — В сб.: Биохимия насекомых, вып. 19, 19, 1977.

11. Филиппович Ю. Б., Минина Н. И. Итоги науки и техники, серия Биологическая химия.—М., 9, 1975.
12. Филиппович Ю. Б., Севастьянова Г. А., Водолеев А. С., Коничев А. С. — В сб.: Биохимия насекомых, вып. 18, 190, 1975.
13. Bradford M. — Analyt. Biochem. 72, 248–254, 1976.
14. Koga K., Akine S. — Agr. Biol. Chem. 36, N 11, 1903, 1972.
15. Mukai J.-i., Jatajci K. — Enzymol. 23, N 4, 214, 1961.
16. Nestle M., Roberts W.-J. Biol. Chem., 244, 5213–5218, 1969.
17. Sirakowska H., Shugar D. — Progr. in Ncl. Acid Res. and Mol. Biol. 20, 59–130, 1977.

М. Ч. Саилов

**ТУТ ИПЭКГУРДУ ТЫРТЫЛЫНЫН ТОХУМЛУГЛАРЫНДА АЛЫНАН  
ГЭЛЭВИ ДНК-АЗА ФЕРМЕНТИНИН АЛЫНМАСЫ, ТЭМИЗЛЭНМЭСИ  
ВЭ ЕЛЕКТРОФОРЕТИК АНАЛИЗИ**

Мэггалдэ көстәрклишидир ки, сульфат аммониумла чөкдүрүлмэ, кел филтратијасы вэ ионмубадилэ хроматографијасы үсуллары илэ тут ипэкгурду тыртылышын тохумлугларындан галави ДНК-аза алымыш вэ 250 дәфэ тэмизлэншидир. Ферментин ДНТ-полиакриламид келн електрофоретик һәрәкәтлилији илэ фәргләнән ики молекуллар формадан ибараэтдир.

АЗЭРБАЙЧАН ССР ЕЛМЛЭР АКАДЕМИЈАСЫНЫН ХӘБӘРЛӘРИ  
Биолокија елмләри серијасы, 1985 № 1  
ИЗВЕСТИЯ АКАДЕМИИ НАУК АЗЕРБАЙДЖАНСКОЙ ССР  
Серия биологических наук, 1985, № 1

576.8.095

Н. М. ИСМАИЛОВ

**ВЛИЯНИЕ УСЛОВИЙ КУЛЬТИВИРОВАНИЯ  
НА НАКОПЛЕНИЕ ПРОДУКТОВ ТРАНСФОРМАЦИИ  
2-МЕТИЛНАФТАЛИНА У CANDIDA GUILLERMONDII**

Сектор микробиологии АН Азербайджанской ССР

Изучено воздействие условий культивирования (рН, температура, внесение органических и неорганических добавок и др.) на накопление продуктов трансформации 2-метилнафталина (2-МН) *C. guilliermondii* как покоящимися клетками, так и в ростовых условиях (на глюкозе и н-гексадекане). Полученные результаты свидетельствуют о возможности целенаправленного регулирования трансформации субстрата в целевые продукты.

Окисление нафталина и его гомологов широко распространено у бактерий [3, 4, 7], изучены основные пути метаболизма [5, 6, 8, 11, 12, 14, 15]. Ранее нами впервые была показана способность к трансформации 2-МН в 4-метилсалциловую кислоту (4-МСК) и 2-нафтойную кислоту (2-НК) различными видами дрожжей *Candida* [2]. 4-МСК является аналогом салициловой и потенциально может обладать физиологически-активными свойствами. В связи с этим задачей настоящей работы было изучение влияния различных параметров культивирования на накопление в среде продуктов трансформации 2-МН культуры *C. guilliermondii*.

Объектом исследования служил музейный штамм *C. guilliermondii* 916. Дрожжи выращивали методом периодического культивирования в колбе на круговых качалках в среде, состав которой описан ранее [1]. Ростовым субстратом служил н-гексадекан (0,8 об. %), в качестве трансформируемого субстрата — 2-МН (0,01—0,02 об. %). Субстрат добавляли к растущей культуре в начале экспоненциальной фазы роста. Трансформацию 2-МН осуществляли также отмытыми в фосфатном буфере (рН 4,6—6,8) клетками.

Продукты трансформации выделяли из подкисленной реакционной среды серным эфиrom и далее обработку осуществляли как описано ранее [1]. Количество 2-НК и 4-МСК — по калибровочным кривым по поглощению в УФ-свете (220—350 нм). Сахара добавляли в среду в концентрации 20 мг/л, витамины (биотин и В<sub>12</sub>) — 0,04—0,16 мл/100 мл среды, НАД-Н<sub>2</sub> — 20 мг/100 мл среды.

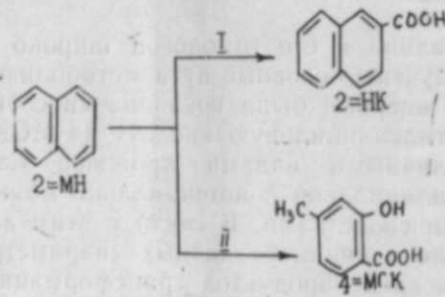
Использовали отечественные слабоосновные и сильноосновные иониты следующих марок: АН-31, АН-1, АН-2-ФН, АВ-17, АВ-16, ЭДЭ-10-П. Иониты в кислой форме, отмытые буфером до рН 5,4, добавляли по 5 мг в колбы с 50 мл среды. Контролем служили колбы со средой без внесения ионитов. После окончания процесса иониты отделяли от среды фильтрованием и подвергали анализу на наличие продуктов трансформации. Продажный 2-МН перед использованием подвергался предварительной очистке с помощью возгонки.

Анализ промежуточных продуктов окисления 2-МН показал, что

Влияние совместного внесения НАД-Н<sub>2</sub> и витамина В<sub>12</sub> на процесс трансформации 2-МН отмытыми клетками *C. guilliermondii* ү16

Вариант	Содержание кофакторов (мг/100 мл)		рН	Продукты трансформации (мг/л)					
	НАД-Н <sub>2</sub>	В <sub>12</sub>		72 ч		94 ч		118 ч	
				4-МСК	2-НК	4-МСК	2-НК	4-МСК	2-НК
НАД-Н <sub>2</sub> +В <sub>12</sub>	2,0	0,02	5,4	66,6	—	240	—	406	—
НАД-Н <sub>2</sub> +В <sub>12</sub>	2,0	0,02	6,0	—	30	—	18	—	14
НАД-Н <sub>2</sub> +В <sub>12</sub>	2,0	0,08	5,4	80	—	176	—	742	—
Контроль	—	—	5,4	102	—	170	—	—	—

2-НК и 4-МСК являются основными промежуточными продуктами трансформации его. Это дает основание предположить наличие у дрожжей двух альтернативных путей окисления 2-МН:



В растущей на н-гексадекане культуре исходный субстрат окислялся только через 2-НК, отмытые клетки независимо от условий культивирования окисляли 2-МН как через 2-НК, так и через 4-МСК. Однако в этом случае I путь окисления является минорным. В среде при использовании отмытых клеток кратковременно накапливается 4-МСК (рис. 1) [2].

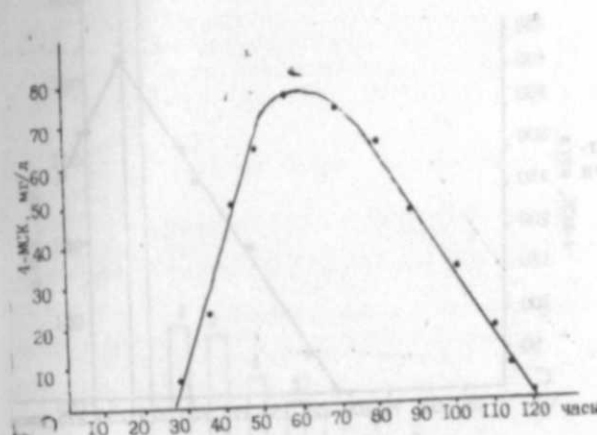
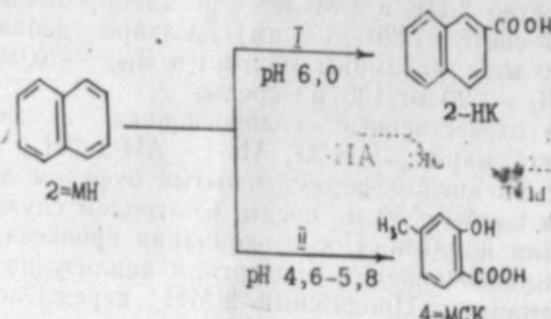


Рис. 1. Динамика накопления 4-МСК отмытыми клетками дрожжей:

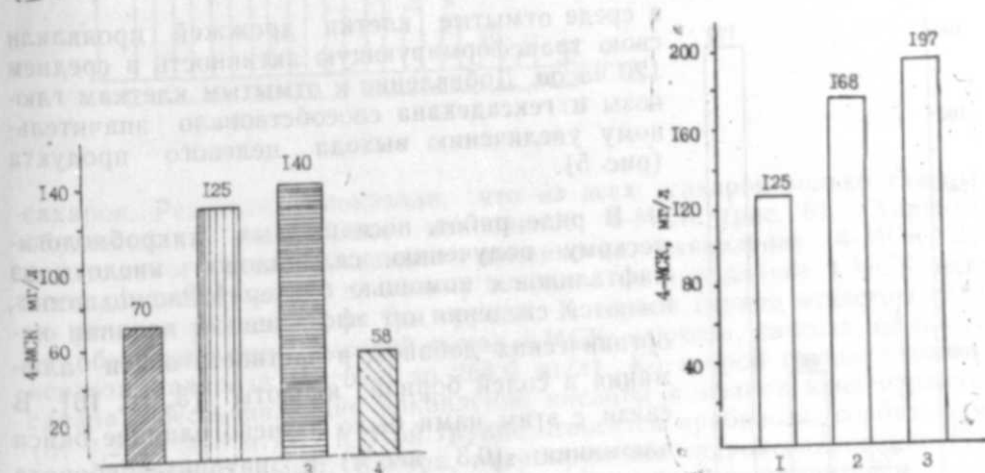


Рис. 2. Влияние температуры на накопление 4-МСК (мг/л среды) отмытыми клетками дрожжей: 1 — 30°; 2 — 34°; 3 — 36°; 4 — 38°.

Рис. 3. Накопление 4-МСК (мг/л) в зависимости от концентрации отмытых клеток в среде: 1 — 2,0 мг/л сухих клеток; 2 — 3,0 мг/л сухих клеток; 3 — 4,5 мг/л сухих клеток

Выявлено, что продукты первичной атаки дрожжами ростового субстрата — жирные кислоты и спирты являются репрессорами ферментов II пути окисления. Уксусная кислота и этанол полностью репрессировали ферментные системы обоих путей окисления.

pH реакционной среды также определяет направленность реакций трансформации 2-МН отмытыми клетками:

Накопление 2-НК в среде в среднем до 90 мг/л обеспечивается при окислении 2-МН отмытыми клетками дрожжей при pH 6,0. Накопление 2-НК в растущей на н-гексадекане культуре низкое — 4–7 мг/л.

Повышение температуры культивирования значительно снижает накопление 4-МСК в среде (рис. 2). Накопление кислоты увеличивалось с повышением плотности клеточной суспензии (рис. 3). Увеличение концентрации 2-МН в среде от 0,1–0,2 до 1% значительно удлиняло индукционный период (рис. 4). В этом случае накопление 4-МСК в

Рис. 4. Накопление 4-МСК отмытыми клетками при концентрации 2-МН в среде 1,0 об%.

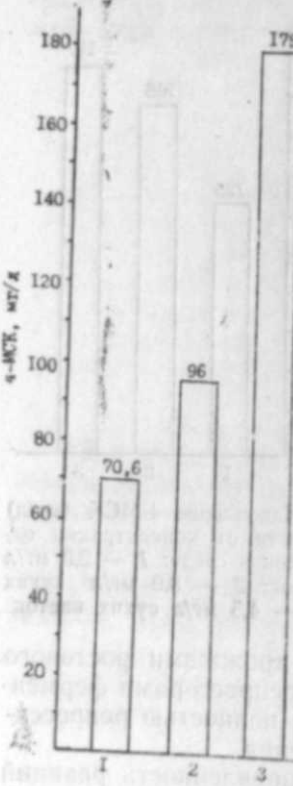
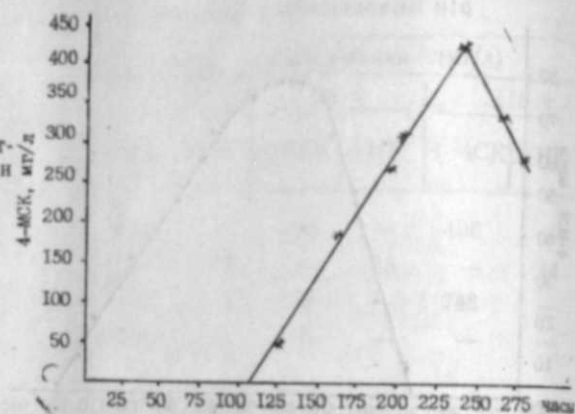


Рис. 5. Накопление 4-МСК (мг/л) отмытыми клетками в присутствии гексадекана и глюкозы: 1 - 2-МН (контроль); 2 - 2-МН + гексадекан; 3 - 2-МН + глюкоза.

В связи с выявленным стимулирующим эффектом глюкозы на накопление 4-МСК было изучено влияние на этот процесс 12 различных

в среде отмытые клетки дрожжей проявляли свою трансформирующую активность в среднем 120 часов. Добавление к отмытым клеткам глюкозы и гексадекана способствовало значительному увеличению выхода целевого продукта (рис. 5).

В ряде работ, посвященных микробиологическому получению салициловой кислоты из нафталинов с помощью бактерий *Pseudomonas*, имеются сведения об эффективном влиянии неорганических добавок, в частности окиси алюминия и солей борной кислоты [3, 10, 16]. В связи с этим нами было изучено влияние окиси алюминия (0,3 вес %) и натрийтетрабората (0,001%). Обнаружено, что указанные соединения значительно сокращают время достижения максимального накопления в среде 4-МСК.

Представляло интерес использовать ионно-обменные смолы с целью непрерывного извлечения из среды целевого продукта и предовращения его вовлечения в последующий метаболизм. Результаты исследования показали, что ни один из испытанных ионитов не оказался эффективным. Целевой продукт не накапливается ни в культуральной среде, ни в ионитах. Вероятно, все испытанные иониты репрессируют энзиматическую активность соответствующих систем.

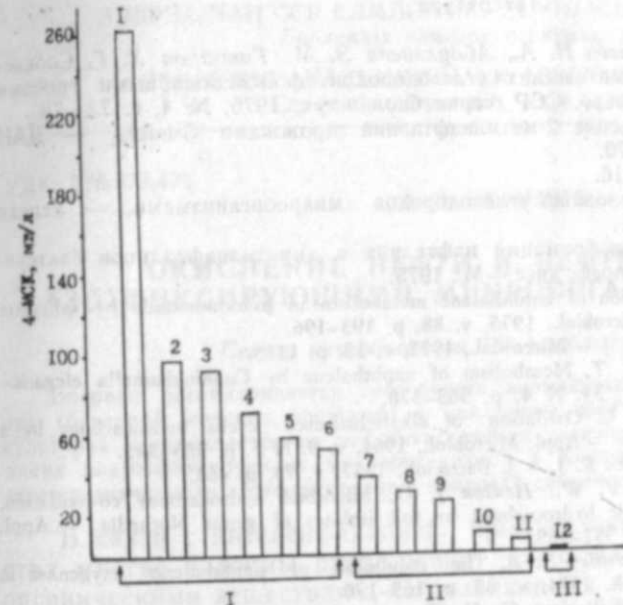


Рис. 6. Влияние сахара на накопление 4-МСК из 2-МН отмытыми клетками дрожжей: 1 - глюкоза; 2 - манноза; 3 - лактоза; 4 - мальтоза; 5 - ксилоза; 6 - сахароза; 7 - инозит; 8 - дульцит; 9 - рамноза; 10 - сорббит; 11 - арабиноза; 12 - галактоза.

сахаров. Результаты показали, что из всех сахаров только глюкоза обеспечивала наибольшее накопление 4-МСК (рис. 6). Характер добавляемого сахара оказывал влияние на накопление 4-МСК. Все исследованные сахара по своему влиянию на накопление 4-МСК можно условно разделить на три группы. К первой группе относены сахара, обеспечивающие высокий выход 4-МСК: глюкоза, лактоза, мальтоза, ксилоза, сахароза (от 52,8 до 264,0 мг/л). Ко второй группе относены сахара, обеспечивающие накопление кислоты в низких концентрациях (от 7,2 до 38,8 мг/л). К этой группе относятся арабиноза, сорббит, рамноза, инозит, дульцит. Сахара, ингибирующие гидроксилирование субстрата, отнесены к III группе. Единственным представителем этой группы является галактоза.

Влияние витаминов и НАД-Н<sub>2</sub> на накопление продуктов трансформации проявлялось по-разному. В присутствии витаминов 4-МСК начала накапливаться в среде после 60 часов культивирования, продолжая накапливаться к 125-му часу. Витамин В<sub>12</sub> по сравнению с биотином оказывал больший стимулирующий эффект на накопление кислоты. Накопление 4-МСК при внесении НАД-Н<sub>2</sub> началось значительно раньше, достигая заметно высокого уровня к 94-му часу, а к 125-му часу она исчезала из среды. Совместное внесение в среду витамина В<sub>12</sub> и НАД-Н<sub>2</sub> способствовало значительному увеличению стимулирующего эффекта на накопление 4-МСК, при этом увеличение концентрации в среде витамина до 0,08 повышало выход кислоты до 78% от заданного субстрата (таблица).

Следовательно, путем подбора соответствующих условий культивирования можно осуществлять не только целенаправленную трансформацию исходного субстрата в целевые продукты, но и обеспечить значительное накопление их в реакционной среде.

Рис. 4. Накопление 4-МСК отмытыми клетками при концентрации 2-МН в среде 1,0 об%.

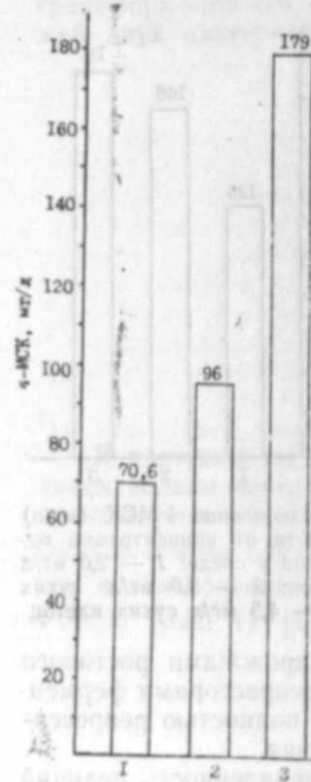
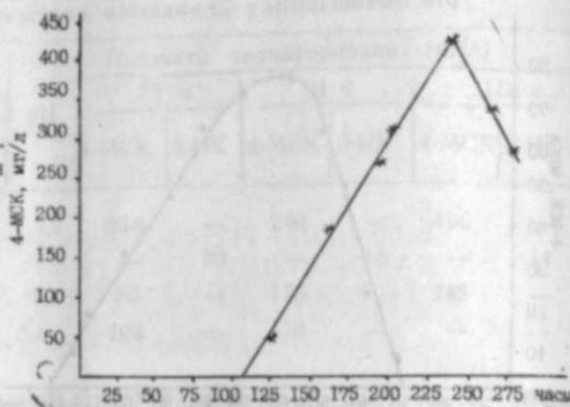


Рис. 5. Накопление 4-МСК (мг/л) отмытыми клетками в присутствии гексадекана и глюкозы: 1—2-МН (контроль); 2—2-МН+гексадекан; 3—2-МН+глюкоза.

В связи с выявлением стимулирующим эффектом глюкозы на накопление 4-МСК было изучено влияние на этот процесс 12 различных

92

в среде отмытые клетки дрожжей проявляли свою трансформирующую активность в среднем 120 часов. Добавление к отмытым клеткам глюкозы и гексадекана способствовало значительному увеличению выхода целевого продукта (рис. 5).

В ряде работ, посвященных микробиологическому получению салициловой кислоты из нафтилинов с помощью бактерий *Pseudomonas*, имеются сведения об эффективном влиянии неорганических добавок, в частности окиси алюминия и солей борной кислоты [3, 10, 16]. В связи с этим нами было изучено влияние окиси алюминия (0,3 вес-%) и натрийтетрабората (0,001%). Обнаружено, что указанные соединения значительно сокращают время достижения максимального накопления в среде 4-МСК.

Представляло интерес использовать ионно-обменные смолы с целью непрерывного извлечения из среды целевого продукта и предовращения его вовлечения в последующий метаболизм. Результаты исследования показали, что ни один из испытанных ионитов не оказался эффективным. Целевой продукт не накапливается ни в культуральной среде, ни в ионитах. Вероятно, все испытанные иониты репрессируют энзиматическую активность соответствующих систем.

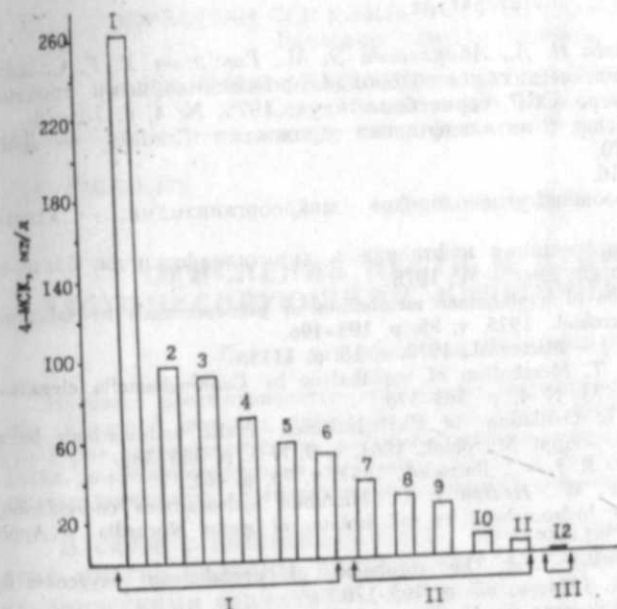


Рис. 6. Влияние сахара на накопление 4-МСК из 2-МН отмытыми клетками дрожжей: 1 — глюкоза; 2 — манноза; 3 — лактоза; 4 — мальтоза; 5 — ксилоза; 6 — сахароза; 7 — инозит; 8 — дульцит; 9 — рамноза; 10 — сорбита; 11 — арабиноза; 12 — галактоза.

сахаров. Результаты показали, что из всех сахаров только глюкоза обеспечивала наибольшее накопление 4-МСК (рис. 6). Характер добавляемого сахара оказывал влияние на накопление 4-МСК. Все исследованные сахара по своему влиянию на накопление 4-МСК можно условно разделить на три группы. К первой группе отнесены сахара, обеспечивающие высокий выход 4-МСК: глюкоза, лактоза, мальтоза, ксилоза, сахароза (от 52,8 до 264,0 мг/л). Ко второй группе отнесены сахара, обеспечивающие накопление кислоты в низких концентрациях (от 7,2 до 38,8 мг/л). К этой группе относятся арабиноза, сорбит, рамноза, инозит, дульцит. Сахара, ингибирующие гидроксилирование субстрата, отнесены к III группе. Единственным представителем этой группы является галактоза.

Влияние витаминов и НАД-Н<sub>2</sub> на накопление продуктов трансформации проявлялось по-разному. В присутствии витаминов 4-МСК начала накапливаться в среде после 60 часов культивирования, продолжая накапливаться к 125-му часу. Витамин В<sub>12</sub> по сравнению с биотином оказывал больший стимулирующий эффект на накопление кислоты. Накопление 4-МСК при внесении НАД-Н<sub>2</sub> начиналось значительно раньше, достигая заметно высокого уровня к 94-му часу, а к 125-му часу она исчезала из среды. Совместное внесение в среду витамина В<sub>12</sub> и НАД-Н<sub>2</sub> способствовало значительному увеличению стимулирующего эффекта на накопление 4-МСК, при этом увеличение концентрации в среде витамина до 0,08 повышало выход кислоты до 78% от заданного субстрата (таблица).

Следовательно, путем подбора соответствующих условий культивирования можно осуществлять не только целенаправленную трансформацию исходного субстрата в целевые продукты, но и обеспечить значительное накопление их в реакционной среде.

## Литература

- Исмаилов Н. М., Мехтиева Н. А., Абдуллаева Э. М., Ганбаров Х. Г. Соокисление низкомолекулярных ароматических углеводородов дрожжеподобными грибами рода *Candida* — Изв. АН Азерб. ССР, серия биол. наук, 1976, № 4, с. 73—78.
- Исмаилов Н. М. Окисление 2-метилнафталина дрожжами *Candida* — ДАН Азерб. ССР, 1977, № 4, с. 68—70.
- Патент США № 3272716.
- Розанова Е. П. Использование углеводородов микроорганизмами. — Успехи микробиологии, 1967, № 4, с. 61.
- Старовойтов И. И. Трансформация нафталина и диметилнафталинов бактериями рода *Pseudomonas*. Автореф. дисс.—М., 1975.
- Barnslau E. A. The induction of naphthalene metabolism in pseudomonads by salicylate and 2-aminobenzoate. — J. Gen. Microbiol., 1975, v. 88, p. 193—196.
- Bollag J. M., Lin S. Y. Can. J. — Microbiol., 1972, v. 18, p. 1113.
- Cerniglia C. E., Gibson D. T. Metabolism of naphthalene by Cunninghamella elegans. — Appl. Environ. Microbiol., 1977, v. 34, N 4, p. 363—370.
- Davis J. B., Raymond R. L. Oxidation of alkylsubstituted cyclohexane hydrocarbons by a Nocardia during growth on n-alkanes. — Appl. Microbiol., 1961, v. 9, N 5, p. 383—388.
- Klausmeier R. B., Strawinski R. J. — J. Bacteriol., 1957, v. 73, p. 461.
- Raymond R. L., Jamison V. W., Hudson J. O. Microbial hydrocarbons co-oxidation. — Oxidation of mono- and dicyclic hydrocarbons by soil isolates of genus Nocardia. — Appl. Microbiol., 1967, v. 15, N 4, p. 357—365.
- Shamsuzzaman K. M., Barnsley E. A. The regulation of naphthalene oxygenase in pseudomonads. — J. Gen. Microbiol., 1974, v. 83, p. 165—170.
- Treccani V., Walker N., Wiltsbire G. H. The metabolism of naphthalene by soil bacteria. — J. Gen. Microbiol., 1954, v. 11, p. 341—348.
- Tsukamura M. — J. Gen. Microbiol., 1965, c. 41, p. 317.
- Williams P. A., Catterall F. A., Murray K. Metabolism of naphthalene, 2-methylnaphthalene, salicylate and benzoate by *Pseudomonas* P.: regulation of tangential pathways. — J. Bacteriol., 1975, v. 124, N 2, p. 679—685.
- Zajic R. Development in Industr. Microbiol., 1965, 6, p. 16.
- Azotobacter agile *Pseudomonas* denitrificans.
- Walker J. D., Colwell R. R. Microbial ecology of petroleum utilization in Chesapeake Bay. In Proc. Joint Conf. prev. and contr. of oil spills, Washington, D. C., Washington, D. C. (S. a.), 1973, p. 685.

Н. М. Исмаилов

### 2-МЕТИЛНАФТАЛИН МАДДЭСИННИН *Candida guilliermondii* КӨБӘЛӘЈИ ТӘРӘФИНДӘН ТРАНСФОРМАСИЯ ОЛУНМАСЫНА МҮХТАЛИФ АМИЛЛӘРИН ТӘ'СИРИ

Магаләдә көстәрілмешdir ки, маја көбәләји *C. guilliermondii* 916 тәрәфиндән 2-метилнафталинин 4-метилсалисил түршусуна чөврилмәси температурдан, pH, үзүн вә жеңи-үзүн бирләшмәләри мүнәтә әлавә олунмасынан соң асылыдыр. Бу амилләрин көмәји илә реаксијаны мәгсәдәүгүн шәкилде апармаг мүмкүндүр.

АЗӘРБАЙЧАН ССР ЕЛМЛӘР АКАДЕМИЈАСЫНЫН ХӘБӘРЛӘРИ  
Биология елмләри сериясы, 1985 № 1

ИЗВЕСТИЯ АКАДЕМИИ НАУК АЗЕРБАЙДЖАНСКОЙ ССР  
Серия биологических наук, 1985, № 1

УДК: 576.577.472

Ф. И. КЕРИМОВ

## ОКИСЛЕНИЕ НЕФТИ И НЕФТЕПРОДУКТОВ АЗОТФИКСИРУЮЩИМИ МИКРООРГАНИЗМАМИ КАСПИЯ

Сектор микробиологии АН Азербайджанской ССР

Впервые рассматривается способность азотфиксаций микроорганизмов Каспия (бактерий морских дрожжей) к окислению нефти и нефтепродуктов в чистых культурах. Сравнивается их нефтеокисляющая активность с таковой у нефтеокисляющих неазотфиксаций микроорганизмов в Каспийском и Черном морях. Особенность значимость азотфиксаторов в вопросах самоочищения водоемов.

В связи с интенсификацией промышленности и сельского хозяйства многие водоемы продолжают загрязняться. Наиболее опасными органическими веществами, загрязняющими их, считается нефть и нефтепродукты. Особенно трудно уберечь от подобных воздействий крупные водоемы. Кроме того, в море издавна известны природные очаги выхода нефти. Являясь трудно минерализуемой органикой, нефть длительное время покрывает пленкой его поверхность, особенно береговую зону. Нефтяная пленка, изменяясь, проникает в водную толщу и оседает на дно, где накапливается в донных отложениях. Кроме того, нефть и особенно продукты ее химического и биохимического окисления как токсиканты [1] представляют серьезную угрозу для большинства гидробионтов. Имеются сведения, что отдельные нефтепродукты в определенных концентрациях токсичны и для некоторых водных микроорганизмов [16].

Таким образом, загрязнение нефтью берегов, поверхности и дна водоемов ведет к обеднению флоры, фауны и в конечном итоге к уменьшению ее рыбопродуктивности, к нарушению естественного равновесия экологических систем водоемов. Поэтому предотвращение загрязнения морей от подобных токсикантов является важной и актуальной проблемой.

Окисление нефти, нефтепродуктов в водоемах зависит от их состава и осуществляется под воздействием различных факторов среды. Из абиотических факторов можно отметить наличие кислорода, ветра, диспергентов, инсолиации, температуры воды, присутствие различных органических веществ и биогенных элементов: фосфора, азота, калия; концентрации поваренной соли и др. Однако решающее значение в трансформации нефти, приводящей к ее полной минерализации, принадлежит различным гидробионтам: бактериям, дрожжам, микроскопическим грибам, водорослям и другим организмам.

К настоящему времени известно достаточное количество работ, посвященных вопросу окисления нефти и нефтепродуктов микроорганизмами в морях и океанах [2, 6, 7, 10, 17, 16 и др.]. Почти все они посвящены бактериям. Однако, учитывая широкое распространение в морях и океанах других групп микроорганизмов, в частности дрожжей

и дрожжеподобных организмов, в последнее время стали обращать больше внимания и на них. Об этом свидетельствуют исследования способности грибов, а также морских дрожжей к окислению нефти, нефтепродуктов и других углеводородов [3, 9, 11].

Факты о наличии у многих азотфиксацирующих микроорганизмов различных физиологических функций [2, 5, 13] наводят на мысль о необходимости широкого изучения представителей азотфиксацирующих микроорганизмов для выявления их нефтеокисляющей активности. Сложилось убеждение, что в окислении нефти, нефтепродуктов в морях и океанах принимают участие представители только определенных систематических групп, составляющих в совокупности специфическую группу нефтеокисляющих, фенолокисляющих и углеводородокисляющих микроорганизмов. Сообразно этому, для их выявления применялись элективные азотсодержащие среды Таусона, Колабиной-Роговской, Ворошиловой-Диановой, а также эти и другие общепринятые модифицированные прописи с добавкой соответствующего углеводорода. Исходя из представления о доминирующей роли микроорганизмов в процессах самоочищения больших водоемов, в частности от углеводородов, а также из отсутствия сведений об участии в них различных физиологических групп микробов, в настоящей работе исследовалась группа азотфиксаторов для выявления их нефтеокисляющей активности.

Микробиологические пробы отбирали из приповерхностного слоя воды черпаком конструкции Л. Н. Пшенина [12] в стерильные химические стаканы емкостью 0,250 л. Все 12 выделенных культур были испытаны на азотфиксацирующую способность после длительного периода пересевов и содержания на жидких и агаризованных средах Федорова с маннитом. Азотфиксацирующая способность культур колебалась в пределах от 2,3 до 9,7 мг на 1 г использованной глюкозы. Признаками роста являлось появление помутнения, пленки, колоний и штрихов. После достижения культурами устойчивого роста и развития на этой элективной среде переходили к определению азотфиксацирующей активности микрометодом Кельдаля. Завершив изучение азотфиксацирующей активности, приступали к выявлению у культуры нефтеокисляющей способности, которое проводили в два этапа. На первом этапе культуры в виде суспензии (6 мл) с концентрацией равной таковой в пробирке стандарта мутности в 10 единиц инокулировали в химические пробирки с 4 мл жидкой среды Федорова. В качестве единственного источника углерода добавляли сырую стерильную нефть Бинагадинского (I), Кара-Чухурского (II), Анастасьевского (III), Малгобекского (IV), Ширванского (V) месторождений и нефтепродукты: мазут (VI), керосин (VII), соляр (VIII). Углеводороды предварительно запаивали в 10-миллилитровые ампулы объемом 5 мл и стерилизовали в автоклаве при 1 атм. в течение 30 минут. На первом этапе углеводороды вводили по одной капле в химические пробирки со средой, на втором этапе — в колбы по 3 капли предварительно отмеренной массы. Суспензии азотфиксацирующих микроорганизмов готовили следующим образом: испытуемые культуры засевали на агаризованную среду Федорова с глюкозой в 5—6 чашках Петри для накопления массы микроорганизмов.

Брали отдельную колбу на 0,5 л с жидким стерильной средой Федорова без углевода, которую доливали в пробирки при приготовлении суспензии микроорганизмов, бравшихся из накопленной массы. Инку-

бирование проводили в течение 30 суток при температуре 20—25°C. Интенсивность роста определяли визуально по мощности пленки.

Для второго этапа отбирали культуры, образовавшие пленку, после чего определение окисления нефти проводили методом Ю. Ю. Лурье, А. И. Рыбниковой [4]. Опыты для количественного определения биодеградации нефти (2-й этап) проводились в 0,5-литровых колбах Эрленмейера, в 3 повторностях в жидкой среде Федорова объемом 100 мл при температурах 4—6° и 20—25°C в течение 30 суток. Контролем служила стерильная среда Федорова. Концентрированные суспензии инкубируемых культур получали в пробирках идентичных пробирке стандарта мутности в 10 единиц, сравнивая их визуально. Для обеспечения минимальной температуры инкубации среды помещали в холодильник. В качестве единственного источника углерода применяли стерильные нефти: Анастасьевская (III), Бинагадинская (I), Кара-Чухурская (II) и мазут (VI). Результаты визуального определения биодеградации (1-й этап) представлены в табл. 1.

Таблица 1

Визуальное определение окисления углеводородов микроорганизмами Каспия

№	Культура	Группа микроорганизмов	Виды углеводородов и биодеградационная способность микроорганизмов								
			сырая нефть					нефтепродукты			
			I	II	III	IV	V	VI	VII	VIII	
1	Дрожжи	+++	+++	+++	+++	+++	+++	+++	+++	+++	+++
4	Бактерии	+++	+++	+++	+++	+++	+++	+++	+++	+++	++
5	Дрожжи	—	+++	+++	—	—	—	—	—	+++	—
6	Дрожжи	—	++	+++	—	—	—	—	—	++	—
8	Бактерии	—	++	—	—	—	—	—	—	+++	—
2 пр.	Бактерии	—	—	—	—	—	—	—	—	—	—
33	Дрожжи	+++	—	—	—	—	—	—	—	—	—
41	Дрожжи	+++	—	—	—	—	—	—	—	—	+++
44	Дрожжи	+++	—	—	—	—	—	—	—	—	+++
52	Дрожжи	+++	—	—	—	—	—	—	—	—	—

Для культур 1, 4, 5, 6, 8, 2 пр., выделенных из юго-западной части Каспия: ++++ — рыхлая пленка с серовато-белыми островками роста, окруженными суспензованными коричневато-желтыми каплями измененной нефти; +++ — серовато-белые островки роста, значительно меньшие по размеру и в меньшем количестве с менее измененными каплями нефти светло-коричневого цвета; ++ — серовато-белых островков роста мало, нефть коричневого или светло-коричневого цвета; — — визуальные признаки роста отсутствуют, нефть коричневого цвета.

Для культур 33, 41, 44, 52, выделенных из Красноводского залива: ++++ — пленка тонкая, в которой серовато-белые зоны роста значительно превалируют над мелко-дисперсированными светло-коричневыми участками измененной нефти; +++ — то же самое, но выраженное в более умеренной форме; — — эксперименты не проводились.

Как видно из табл. 1 культуры 1, 4 способны биодеградации углеводородов, чем 5, 6, 8, 2 проявляют возможностей биодеградации углеводородов, чем 5, 6, 8, 2 проявляют

рачная (2 пр.). Меньшая способность к окислению субстратов наблюдается у культур 5, 6 и самая низкая у культур 8 и 2 пр. Нефть является постоянным и интенсивным загрязнителем морей. Культуры, выделенные из Красноводского залива, испытывались только на биодеградацию нефти (табл. 1). Нефтеокисляющая способность у азотфиксировавших дрожжей, выделенных из Красноводского залива, приблизительно одинакова. Несколько более активна культура 33. По сравнению с другими дрожжами и бактериями, представленными в табл. 1, характер роста этих дрожжей на нефти был иным: рыхлая пленка была более тонкой, мелкодисперсной с преобладанием участков серовато-белого цвета над светло-коричневыми участками деградированной нефти. Из 10 испытанных культур интенсивнее всех окисляют нефть культуры 1, 4 и 33, а четыре обладают способностью избирательно окислять различные нефти и нефтепродукты. Из 9 нефтеокисляющих культур 7 являются дрожжами, а 2 бактериями. Следовательно, из выделенных азотфиксировавших микроорганизмов, участвующих в окислении нефти, примерно 78% составляют морские дрожжи и только 22% бактерии.

Наиболее активные культуры (33, 1, 4, 5, 41, 44, 52, 6) были испытаны на количественное определение биодеградации нефти и мазута (табл. 2). Поскольку опыты по биодеградации нефти проводились впервые, использовалась нефть старейших нефтепромыслов Ашшерона, к которым у испытуемых микроорганизмов могла выработатьсь определенная адаптация. В целях же сравнения и выявления биодеградационных возможностей микробов применялась Анастасиевская нефть, не встречающаяся в Каспии.

Из табл. 2 можно видеть, что скорость окисления Кара-Чухурской нефти максимальна у культуры 33 при температуре 20–25°C и составляет (учитывая время инкубации) примерно 0,66 мг/100 мл в сутки. Активность культур 52, 1, 4 при тех же условиях, но с использованием Бинагадинской нефти также близка к этому значению. По данным А. В. Цыбань и соавторов [14], скорость окисления нефти нефтеокисляющими бактериями (*Pseudomonas*, *Mycobacterium*, *Bacillus*) выделенными с поверхностных микрогоризонтов Каспия, составляла 0,7–30 мг/л в сутки при 22–24°C, а культурами, изолированными из поверхностной пленки Черного моря, — 5–7 мг/л в сутки.

Следовательно, нефтеокисляющая активность примерно половины изученных нами азотфиксаторов — биодеструкторов нефти равна минимальному значению этих показателей у нефтеокисляющих бактерий, изученных упомянутыми авторами. Наши результаты внесут определенные корректизы в экспериментальные данные по Каспию ряда авторов [15], показавших скорость микробного окисления углеводородов нефти, составляющую 2,4 мг/м<sup>2</sup> в сутки, или 240 мг/м<sup>2</sup> за вегетационный период. Кроме того, учитывая тот факт, что в поверхностном горизонте биодеградацию ведут также азотфиксаторы, наши данные внесут поправку и в расчет суммарного количества углеводородов, окисляемых бактерионейстоном за летний период — 9000 тонн [15].

На скорость биодеградации нефти в водоемах, наряду с другими факторами, большое влияние оказывает температура. Полагают, что для развития представителей нефтеокисляющей микрофлоры и интен-

Таблица 2

Номер культуры	Биодеградации углеводородов микроорганизмами, мг/100 мл	Нефть и нефтепродукты при 20–25°C						Нефть и нефтепродукты при 4–6°C						Интенсивность
		I	II	III	VI	I	II	III	VI	I	II	III	VI	
33 Дрожжи	—	71	5,3	7	—	—	—	—	—	71	19,6	28	—	—
52 Дрожжи	69	3,3	5	—	—	—	—	—	—	69	18,3	26	—	—
1 Дрожжи	69	5,0	7	—	—	—	—	—	—	69	16,6	24	—	—
4 Бактерии	69	5,3	8	—	—	—	—	—	—	69	15	22	—	—
5 Дрожжи	—	—	—	—	71	3,6	5	—	—	71	9,6	13	—	—
44 Дрожжи	—	—	—	—	71	4	6	—	—	71	9,3	13	—	—
41 Дрожжи	—	—	—	—	71	3,3	5	—	—	71	8,6	12	—	—
6 Дрожжи	—	—	—	—	—	—	—	—	—	65	3,3	5	—	—

Примечание: — эксперименты не проводились.

сификации процесса самоочищения морской воды от нефти оптимальными являются мезофильные условия ( $20-28^{\circ}$ ). При температуре  $6-15^{\circ}\text{C}$  интенсивность биодеградации нефти снижается в 2,5—4 раза, а при  $37^{\circ}$  рост бактерий ограничивается и процесс замедляется. При  $45^{\circ}\text{C}$  деятельность микроорганизмов полностью угнетается и разложение нефти не происходит [8]. Если исходить из этих общепринятых представлений, полученные нами данные вполне объяснимы. Необходимо лишь добавить, что культуры 33, 1, 4 являются психрофилами, ибо хорошо растут при температуре  $4-6^{\circ}\text{C}$ .

Учитывая изложенное, можно предположить, что биодеградация углеводородов, в частности нефти, среди азотфиксаторов обычна и присуща многим представителям этой физиологической группы. На это указывают также Е. И. Квасников и Т. М. Ключникова [2], обнаружившие среди бактерий и дрожжей поверхностных водных бассейнов виды, обладающие способностью фиксировать молекулярный азот и использовать углеводороды в качестве единственного источника углерода и энергии. Следует также отметить, что в ходе опытов нами не было выявлено корреляции между азотфиксацией и биодеградацией нефти.

Таким образом, опыты показали, что в окислении нефти в Каспии, наряду с нефтеокисляющими микроорганизмами, принимают участие и азотфиксирующие макроорганизмы.

#### Литература

- Богогосян А. Т., Спонти Е. А. О бактериальной деструкции тридекана в природной воде. — В кн.: Материалы 6-го всесоюзного симпоз. по соврем. пробл. самоочищения водоемов и регулирования качества воды, секция 2.4. I, 1979, с. 129.
- Квасников Е. И., Ключникова Т. М. Микроорганизмы — деструкторы нефти в водных бассейнах. — Киев, 1981.
- Коваль Э. З. Основные особенности и закономерности роста мицелиальных грибов на разных углеводородах нефти. — В кн.: Тезисы докладов 4-го Закавказского совещания по споровым растениям. 1974, с. 185—188.
- Лурье Ю. Ю., Рыбникова А. И. Химический анализ производственных сточных вод. — М., 1974.
- Минеева Н. М., Лаптева Н. А. Окисление фенола культурами *Azotobacter agile* и *Pseudomonas denitrificans*. Биология внутренних вод. — Информационный бюллетень, № 23, 1974, с. 10—13.
- Миронов О. Г. Нефтеокисляющие микроорганизмы в море. — Киев, 1971.
- Миронов О. Г., Лебедь А. А. О самоочищении морей северной Европы от нефтепродуктов. — В кн.: Биологическое самоочищение и формирование качества воды. 1975, с. 22—24.
- Морозов Н. В., Николаев В. Н. Влияние условий среды на развитие нефтеразлагающих микроорганизмов. — Гидробиол. журнал, 1978, вып. 14, № 4, с. 55.
- Нижегородцева Л. Е., Зеленинская Л. И., Теплинская Н. Г. и др. Микробиологические исследования некоторых гидробионтов северо-западной части Черного моря. — В кн.: Тезисы докладов 3-го съезда всесоюзного гидробиол. об-ва. т. I, 1976, с. 161—163.
- Новожилова М. И. Нефтеокисляющие бактерии и их роль в самоочищении водоемов. — Вестник АН Казах. ССР, 1975, № 8, с. 27—32.
- Новожилова М. И. Аспорогенные дрожжи и их роль в водоемах. — Алма-Ата, 1979.
- Пшенин Л. Н. Об азотфиксирующих бактериях приповерхностного слоя воды в Черном море. — Тр. Севастопольской биол. ст. т. XV, 1964, с. 3—7.
- Пшенин Л. Н. Биология морских азотфиксаторов. — Киев, 1966.
- Цыбань А. В., Зубакина А. Н., Баринова С. П., Михалева И. М. Процессы окисления нефти и углеводородов морскими бактериями. — Гидробиол. журнал, 1977, вып. 13, № 2, с. 39.

- Цыбань А. В., Симонов А. И. Процессы микробиологического окисления нефти в море. — Океанология, 1978, вып. 4, № 18, с. 695.
- Walker J. D., Colwell R. R. Microbial ecology of petroleum utilization in Chesapeake Bay. In: Proc. Joint Conf. prev. and contr. of oil spills, Washington, D. C., (S. a) 1973, p. 685.
- Zo Bell C. E. Assimilation of hydrocarbons by microorganisms. — Advances in Enzymology and Related subjects of Biochemistry, v. 10, 1950, p. 444—485.

Ф. И. Каримов

#### ХЭЭР ДЭНИЗИНН АЗОТМЭНИМСЭЈЭН МИКРООРГАНИЗМЛЭРИНИН НЕФТ ВЭ НЕФТ МЭҮСУЛЛАРЫНЫ ОКСИДЛЭШДИРМЭСИ

Мэгэлэдээ илр дэфэ олраг тэмиз мүнитдэ нефт вэ нефт мэүсулларынын Хээрдэлан азотманимсэйэн микроорганизмлээрэ оксидлэшмэс хүсүсийжтийн ојрэнгилмийн, хүсүсийн сила азотманимсэйнлэрийн эз-эзүнэ тэмизлэнэмэдэ энэмийжтийн вэ ролу кениш шэрх едилдэшидир.

В. Ю. АХУНДОВ, К. Ф. АХУНДОВ, Т. В. ГРЕКАЛОВА,  
А. А. ИСМАИЛОВ, М. Я. АСАДОВ, Т. А. ГОЛУБЕВА

## ЭКСПЕРИМЕНТАЛЬНОЕ ИЗУЧЕНИЕ ЭФФЕКТИВНОСТИ ПРОМЫВКИ ЗАСОЛЕНИХ ЗЕМЕЛЬ АПШЕРОНСКОГО ПОЛУОСТРОВА СТОЧНОЙ ВОДОЙ г. БАКУ И СТЕПЕНИ ЗАГРЯЗНЕННОСТИ ПОЧВЫ И ФИЛЬТРАТОВ

Азербайджанский ОТКЗ НИИ вирусологии, микробиологии и гигиены им. Г. М. Мусабекова, Азербайджанский НИИ гидротехники и мелиорации

В данной работе поставлена задача изучить в экспериментальных условиях (на модели монолитов) эффективность промывки засоленных земель Апшерона и степени загрязнения почвы и фильтратов на глубине 0—20; 20—40; 40—60; 60—80 и 80—100 см.

Интенсивное развитие промышленности, градостроительства и орошаемого земледелия явилось причиной резкого увеличения водопотребления и дефицита водных ресурсов, в том числе в условиях Азербайджана на Апшеронском полуострове.

Одним из резервов, способным уменьшить дефицит оросительной воды на Апшероне и увеличить производство сельскохозяйственной продукции, могло бы быть использование на орошение сточных вод г. Баку, объем которых к 2000 г. возрастет до 1 млн. м<sup>3</sup>/сутки. Рациональное использование сточных вод г. Баку для этой цели позволит решить одновременно несколько задач: обеспечить доочистку их после искусственной биологической очистки, сократить дефицит воды на орошение сельскохозяйственных культур, осуществить водоохранные мероприятия акватории Каспийского моря и, наконец, использовать все полезные элементы сточных вод, необходимые для выращивания сельскохозяйственных культур.

Для обоснования возможности использования сточных вод г. Баку в сельском хозяйстве Апшерона в течение ряда лет проводилась работа по изучению их состава, химической и бактериальной загрязненности, дана оценка почвы и кормовых культур, выращенных на опытном участке Всесоюзного научно-производственного объединения «Прогресс» в поселке Говсаны. В хроническом токсикологическом эксперименте проведено вскармливание подопытных животных (кролики) указанными кормами вместе с основными в соотношении 1:1 и 0,7:0,3. Установлено, что видимых изменений в организме подопытных животных не произошло.

Целью настоящей работы явилось изучение возможного использования сточных вод г. Баку на промывку засоленных земель Апшерона, которые в перспективе будут вовлечены в дополнительный сельскохозяйственный оборот, и степени загрязнения почвы и грунтовых вод — фильтратов на различных глубинах (0—20; 20—40; 40—60; 60—80 и 80—100 см) на модели монолитов.

Сточные воды г. Баку по химическим показателям пригодны для

регулярного орошения сельскохозяйственных угодий в условиях Апшерона, так как общий минеральный состав их не превышает 1,8 г/л.

Монолиты — прямоугольные сечения ненарушенной структуры почвы, размером 50×50×100 см сооружены Азербайджанским научно-исследовательским институтом гидротехники и мелиорации в поселке Говсаны. Почвы для монолитов, отобранные на Гобустан-Сангачальском массиве, в основном серо-бурые, по механическому составу характеризуются как тяжелые суглинистые с большой плотностью, особенно на глубине 50—150 см. Плотность почв здесь изменяется по профилю от 2,60 до 2,80 г/см<sup>3</sup>. Объемная масса в этих глубинах изменяется в пределах 1,30—1,55 г/см<sup>3</sup>. В верхнем слое 0—50 см эти величины достигают 1,25—1,30 г/см<sup>3</sup>.

Пористость почв в зависимости от структурности, плотности, механического и минералогического состава изменяется в пределах 44—52%. Агрохимическая оценка общей порозности серо-бурых почв для плотного слоя неудовлетворительная.

Степень засоления массива изменяется от слабо засоленных до сильно засоленных. Тип засоления хлоридно-сульфатный и сульфатно-хлоридный (табл. 1).

Таблица 1

Исходное засоление почв монолитов (% мг/экв)

Глубина, см	CO <sub>3</sub>	HCO <sub>3</sub>	Cl	SO <sub>4</sub>	Ca	Mg	Na	Σ солей, %	Плотный остаток, %
0—20	0	0,020 0,32	0,517 14,55	0,159 3,31	0,146 7,30	0,059 4,90	0,138 5,98	1,039	1,092
20—40	0	0,024 0,40	0,514 14,47	0,166 3,46	0,170 9,50	0,032 2,70	0,141 6,13	1,047	1,056
40—60	0	0,022 0,36	0,452 12,73	0,156 3,25	0,160 8,00	0,017 1,40	0,160 6,94	0,967	0,928
60—80	0	0,024 0,40	0,495 13,93	0,205 4,28	0,154 7,70	0,014 1,20	0,233 9,71	1,115	1,058
80—100	0	0,024 0,40	0,452 12,73	0,287 5,96	0,128 6,40	0,062 5,20	0,172 7,49	1,125	1,124
0—100	0	0,023 0,38	0,485 13,68	0,195 4,05	0,156 7,78	0,038 3,08	0,167 7,25	1,063	1,052

Промывка монолитов проводилась трехкратно. Опытные монолиты промывались сточной водой г. Баку с промывной нормой 5, 10 и 15 тыс. м<sup>3</sup>/га, контрольные — водой Самур-Апшеронского канала, с той же промывной нормой.

Промывка монолитов осуществлялась путем подачи сточной воды на поверхность монолитов, на которой постоянно сохранялся уровень воды около 10 см. После подачи промывной воды производился отбор проб почвы и фильтратов на глубине 0—20; 20—40; 40—60; 60—80; 80—100 см. До появления первых капель фильтрата подавалось 45—57,5 л воды. Первые пробы фильтрата имели наибольшую минерализацию воды (38,94—84,64 г/л). По мере увеличения подачи воды на промывку монолитов минерализация фильтрата постепенно снижается (табл. 2).

Таблица 2

Химический состав фильтратов в г/л  
(при промывной норме 15 тыс. м<sup>3</sup>/га)

Дата отбора проб	Кол-во подаваемой воды, л	СО <sub>2</sub>	HCO <sub>3</sub>	Cl	SO <sub>4</sub>	Плотный остаток	солей $\Sigma$
22. X 1982 г.	97,5	—	0,055	32,163	1,465	53,240	52,716
2. XI 1982 г.	117,5	—	0,073	9,727	2,279	19,160	18,620
5. XI 1982 г.	147,5	—	0,159	5,372	2,962	13,900	12,871
12. XI 1982 г.	170,5	—	0,146	2,961	2,057	7,330	7,805
22. XI 1982 г.	197,0	—	0,207	0,879	1,283	3,860	3,524
7. XII 1982 г.	286,5	—	0,238	0,355	0,889	2,040	2,173
14. XII 1982 г.	336,6	—	0,268	0,323	1,070	2,000	2,372
21. XII 1982 г.	375,0	—	0,262	0,323	0,740	1,660	1,945
6. I 1983 г.	—	—	0,110	0,144	0,428	0,700	0,993

В отдельных монолитах впитывание промывной воды происходило медленно и в связи с этим выделялись особо высокоминерализованные фильтраты. После подачи 5, 10, 15 тыс. м<sup>3</sup>/га сточной воды для промывки монолитов (4, 8, 16) плотный остаток фильтрата (на уровень 0—100 см) в среднем составил соответственно 0,229, 0,169 и 0,109 %. При промывке монолитов (2, 5, 13) водой Самур-Ашхеронского канала теми же промывными нормами плотный остаток фильтрата в среднем составил 0,287; 0,171 и 0,090 мг/л.

Таким образом, экспериментальная работа свидетельствует о целесообразности применения сточной воды г. Баку для промывки засоленных земель Ашхеронского полуострова.

С целью изучения степени загрязнения почвы и фильтратов из монолитов при промывке их сточной водой, проведены специальные санитарно-бактериологические и санитарно-химические исследования. Выявлено, что санитарно-бактериологические показатели в почве из монолитов изменились, с одной стороны, в зависимости от глубины отбора проб почвы и, с другой стороны, — от промывной нормы сточной воды (табл. 3). Однако наиболее загрязненными при всех взятых промывных нормах оказался слой почвы 0—20 см. При более высокой промывной норме в горизонтах 40—60 и 60—80 см количество почвенной микрофлоры не уменьшается и только в горизонтах 80—100 см общее количество бактерий в 1 г почвы снижается по сравнению с первоначальным (0—20; 20—40 см в 6—7 раз).

Как видно из табл. 3, в зависимости от глубины горизонта происходит снижение индексов БГКП, энтерококков, протеев, *cl. perfringens* и сальмонелл. При наибольшей же промывной нагрузке сточной воды индекс БГКП не изменился, оставаясь во всех горизонтах на одном уровне ( $96 \cdot 10^4$ ). Следует обратить внимание, что патогенные микроорганизмы определялись в основном в слое почвы 0—20 и 20—40 см при всех промывных нормах сточной водой.

Аналогичные результаты были получены и при исследовании фильтратов из монолитов, которые отбирались на той же глубине. Как и следовало ожидать, в фильтрате от менее глубокого горизонта к более глубокому наблюдалось постепенное снижение бактериального загрязнения и наименее обсемененный фильтрат отмечался на глубине 80—100 см (табл. 4). Вместе с тем, увеличение промывной нагрузки

Таблица 3

Санитарно-бактериологические показатели фильтрата из монолитов с различной глубиной при поливе сточной водой г. Баку

Показатели	Глубина отбора проб почвы, см				
	0—20	20—40	40—60	60—80	80—100
При промывной норме 5 тыс. м <sup>3</sup> /га					
Общее кол-во бактерий в 1 г почвы	202000	14500	5400	1400	100
Индекс БГКП	11·10 <sup>6</sup>	11·10 <sup>5</sup>	73·10 <sup>4</sup>	73·10 <sup>2</sup>	36·10 <sup>1</sup>
— энтерококков	190	73·10 <sup>2</sup>	36·10 <sup>2</sup>	190	—
— протеев	190	11·10 <sup>3</sup>	73·10 <sup>2</sup>	190	—
— <i>cl. perfringens</i>	—	73·10 <sup>4</sup>	11·10 <sup>3</sup>	36·10 <sup>2</sup>	—
— сальмонелл	—	10	отр.	отр.	отр.
При промывной норме 10 тыс. м <sup>3</sup> /га					
Общее кол-во бактерий в 1 г почвы	1136400	7730	5733	2200	1200
Индекс БГКП	11·10 <sup>6</sup>	73·10 <sup>5</sup>	11·10 <sup>4</sup>	73·10 <sup>2</sup>	190
— энтерококков	73·10 <sup>2</sup>	36·10 <sup>2</sup>	36·10 <sup>2</sup>	190	—
— протеев	1·10 <sup>3</sup>	73·10 <sup>2</sup>	36·10 <sup>2</sup>	—	—
— <i>cl. perfringens</i>	1·10 <sup>4</sup>	11·10 <sup>3</sup>	—	—	—
— сальмонелл	92	10	отр.	отр.	отр.
При промывной норме 15 тыс. м <sup>3</sup> /га					
Общее кол-во бактерий в 1 г почвы	2500000	1660000	1450000	1360000	219000
Индекс БГКП	96·10 <sup>4</sup>	96·10 <sup>4</sup>	96·10 <sup>4</sup>	96·10 <sup>4</sup>	96·10 <sup>4</sup>
— энтерококков	30	—	—	—	—
— протеев	—	—	—	—	11·10 <sup>1</sup>
— <i>cl. perfringens</i>	73	—	—	—	—
— сальмонелл	49,7 и выше	—	—	—	—
На монолитах					
сточной воды на монолиты обусловило наибольшую степень загрязнения фильтрата и на этой глубине. Если при нагрузке 5—10 тыс. м <sup>3</sup> /га на глубине 80—100 см в фильтрате снизилось общее количество бактерий в 1 мл в 490—1020 раз, то при нагрузке 15 тыс. м <sup>3</sup> /га — всего в 14 раз. В таком же порядке снижались индексы БГКП, энтерококков, протеев <i>cl. perfringens</i> .					
При промывной норме 5 тыс. м <sup>3</sup> /га индексы этих микроорганизмов в фильтрате с глубины 40—60 см были отрицательными, исключая индекс БГКП, который находился на уровне 36·10 <sup>2</sup> и 30 — при промывной норме 10 тыс. м <sup>3</sup> /га. В фильтратах из монолитов, имевших промывную нагрузку 15 тыс. м <sup>3</sup> /га, индекс БГКП снижался постепенно в зависимости от глубины отбора проб фильтрата, но на глубине 80—100 см показатель его оставался высоким — 23·10 <sup>5</sup> (в исходной сточной воде он составлял 11·10 <sup>6</sup> ). Индекс энтерококков в фильтрате с этой глубиной снизился с 23·5 до 11·10 <sup>3</sup> ; индекс протеев — с 43·10 <sup>5</sup> до 73; индекс <i>cl. perfringens</i> с 43·10 <sup>5</sup> до 73. Сальмонеллы были обнаружены только в фильтрате с глубины 0—20 см.					
Санитарно-химические показатели в фильтрате из монолитов также снижались в зависимости от глубины отбора проб. (табл. 5).					

Таблица 4

Санитарно-бактериологические показатели почвы из монолитов с различной глубиной при поливе сточной водой г. Баку.

Показатели	Исходная сточная вода	Глубины отбора проб воды, см			
		0—20	20—40	40—60	80—100
При промывной норме 5 тыс. м <sup>3</sup> /га					
Общее кол-во бактерий в 1 мл	2740000 24·10 <sup>8</sup>	59000000 24·10 <sup>10</sup>	240000 11·10 <sup>6</sup>	31500 46·10 <sup>4</sup>	5600 36·10 <sup>2</sup>
Индекс БГКП					
—“— энтерококков	11·10 <sup>5</sup>	11·10 <sup>5</sup>	36·10 <sup>2</sup>	отр.	—
—“— протеев	11·10 <sup>6</sup>	93·10 <sup>5</sup>	36·10 <sup>2</sup>	отр.	—
—“— Cl. perfringens	24·10 <sup>6</sup>	24·10 <sup>6</sup>	36·10 <sup>2</sup>	отр.	—
—“— сальмонелл	100	10	отр.	отр.	отр.
При промывной норме 10 тыс. м <sup>3</sup> /га					
Общее кол-во бактерий в 1 мл	5100000 24·10 <sup>10</sup>	1500000 24·10 <sup>8</sup>	485000 11·10 <sup>5</sup>	27000 11·10 <sup>3</sup>	5000 30
Индекс БГКП					
—“— энтерококков	43·10 <sup>6</sup>	43·10 <sup>5</sup>	36·10 <sup>2</sup>	—	—
—“— протеев	43·10 <sup>6</sup>	43·10 <sup>5</sup>	21·10 <sup>3</sup>	—	—
—“— Cl. perfringens	11·10 <sup>7</sup>	11·10 <sup>7</sup>	21·10 <sup>3</sup>	—	—
—“— сальмонелл	92	92	—	—	—
При промывной норме 15 тыс. м <sup>3</sup> /га					
Общее кол-во бактерий в 1 мл	5100000	3900000	3300000	1450000	350000
Индекс БГКП					
—“— энтерококков	11·10 <sup>9</sup>	23·10 <sup>8</sup>	23·10 <sup>8</sup>	23·10 <sup>7</sup>	23·10 <sup>5</sup>
—“— протеев	23·10 <sup>5</sup>	23·10 <sup>5</sup>	46·10 <sup>4</sup>	46·10 <sup>4</sup>	11·10 <sup>3</sup>
—“— Cl. perfringens	43·10 <sup>5</sup>	23·10 <sup>5</sup>	23·10 <sup>5</sup>	23·10 <sup>4</sup>	73
—“— сальмонелл	92	10	—	—	—

Исследования показали, что наиболее значительное снижение аммиака, фосфатов, СПАВ и нефтепродуктов в фильтрате отмечалось на глубине 40—60 и 60—100 см.

Таким образом, результаты проведенных исследований позволяют отметить, что для покрытия дефицита воды в условиях Апшеронского полуострова при промывке засоленных земель целесообразно использовать биологически очищенные и обезвреженные сточные воды г. Баку.

При внесении сточной воды на монолиты установлено, что загрязнение почвы и фильтратов находится в прямой зависимости от глубины отбора проб и от промывной нормы сточной воды.

Энтеропатогенные микроорганизмы (сальмонеллы) обнаружены в почве из монолитов при внесении различных норм сточной воды (5; 10 и 15 тыс. м<sup>3</sup>/га) только на глубинах 0—20 и 20—40 см.

Использование наибольшей промывной нормы сточной воды (15 тыс. м<sup>3</sup>/га) затрудняет процесс самоочищения почвы и фильтра в монолитах, поэтому они остаются сильно загрязненными на глубине 80—100 см.

Для охраны подземных вод от загрязнения сточными водами

Таблица 5

Результаты некоторых санитарно-химических показателей фильтрата из монолитов с различной глубиной при промывке их сточной водой г. Баку

Показатели мг/л	Исходная сточная вода	Глубина отбора проб воды, см			
		0—20	20—40	40—60	60—100
При промывной норме 10 тыс. м <sup>3</sup> /га					
Аммиак	43,0	0,70	0,33	0,004	0,007
Нитриты	0	0	0,002	0,004	0,080
Нитраты	0	0	0,20	0,60	20,0
Фосфаты	30,0	5,0	5,0	0,74	0,25
СПАВ	1,52	0,200	0,107	0,085	0,095
Нефтепродукты	12,6	2,6	1,0	3,0	3,0
При промывной норме 15 тыс. м <sup>3</sup> /га					
Аммиак	75,0	33,0	0,70	0,020	0,007
Нитриты	0	0	0,080	0,50	0,12
Нитраты	0	0	4,0	3,0	2,5
Фосфаты	17,5	7,5	2,5	3,0	1,0
СПАВ	0,280	0,276	0,205	0,15	0,087
Нефтепродукты	32,0	10,0	8,6	5,0	1,6

г. Баку промывку засоленных почв Апшерона рекомендуется проводить прерывисто с нормой не более 10 тыс. м<sup>3</sup>/га.

Для разработки гигиенических рекомендаций по охране подземных вод на Апшеронском полуострове от загрязнения сточными водами необходимо провести специальные санитарно-гигиенические и мелиоративные исследования подземных вод в зоне орошения сельскохозяйственных угодий.

Б. Ж. Ахундов, К. Ф. Ахундов, Т. В. Грекалова, А. А. Исмаилов,  
М. Ж. Эсадов, Т. А. Голубева

АБШЕРОН ЯРЫМАДАСЫНДА ШОРАН ТОРПАГЛАРЫН БАКЫ ШӘҢЭРИ  
ЧИРКАБ СУЛАРЫ ВАСИТЭСИЛЭ ЙУҮЛМАСЫНЫН ЕФФЕКТИВЛИЛИИ  
ВЭ ТОРПАГЫН, СУЗКЭЧ СУЗУН ЧИРКЛЭМЭ ДЭРЭЧЭСИНИН  
ЕКСПЕРИМЕНТАЛ ТӘДГИГИ

Мэгалаада көстәрилән тәдгигат шоран торпагларда кәсилмеш монолит моделләринде апарылышы дыр. Лаборатория анализләри учүн торпаг вэ сүзкәч су нүүмнәләр монолитләрдин 0—20; 20—40; 40—60; 60—80; 80—100 см дәрнүүликләрдән алымышы дыр.

Мә'лум олмушшур ки, Абшеронда шоран торпагларын јуулмасында биологиячи үсүл тәмизләнмиш вэ зәрәрсизләшдирилмиш Бакы шәңэри чиркаб сулардан истифадә ет мөк олар. Бу заман јералты суларын муһаффәзә мәсаләси тәшкил едилмәли, торпагын јуулмасы фасиләләрдә апарылмалы вэ јуулма нормасы нэректара 10 мин м<sup>3</sup>-дан артыг олмамалыдыр.

УДК: 577.15.615.777.11

Т. В. АЛИЕВ, Г. И. АХМЕДОВ, Т. Д. ГАНБОВ, Р. Ю. АЛИЕВА,  
С. Б. МИРИЕВА, Э. А. РЗАЕВА, Н. Г. КУРБАНОВ

## ВЛИЯНИЕ ЧЕТЫРЕХХЛОРИСТОГО УГЛЕРОДА НА АКТИВНОСТЬ АЛАНИН- и АСПАРТАМИНОТРАНСФЕРАЗЫ В РАЗЛИЧНЫХ ТКАНЯХ И ОРГАНАХ БЕЛЫХ КРЫС

АГУ им. С. М. Кирова

Исследовано хроническое влияние гепатотропного яда —  $\text{CCl}_4$  на активность АлАТ-азы и АспАТ-азы в крови и различных органах крыс. Установлено, что  $\text{CCl}_4$  вызывает резкие, порою необратимые изменения в их активности, создавая при этом предрасположенность тканей к неопластической трансформации.

Модель экспериментального канцерогенеза печени у животных, вызванного четыреххлористым углеродом ( $\text{CCl}_4$ ), широко используется для решения разнообразных вопросов, в том числе патогенеза заболеваний печени и других органов, определения эффективности многих физиологически активных и лекарственных веществ, изыскания новых методов лечения и др. [14—15].

Кроме того, исследование механизма гепатотропного действия  $\text{CCl}_4$  представляет практический интерес для вопросов профессиональной патологии в связи с возможностью возникновения случаев острых и хронических отравлений этим ядом как в производственных, так и в бытовых условиях [3, 16]. Возникающая при этом патология по многим показателям сходна с клиническими формами хронических гепатитов и циррозов печени у людей [9].

В основе механизма токсического действия  $\text{CCl}_4$ , как известно, лежит способность яда нарушить функционирование ферментов и снижать метаболизирующую активность печени [17—19].

Цель настоящей работы заключалась в выяснении вопроса влияния данного гепатотропного яда на характер изменений активности ферментов трансаминаз печени и других органов и тканей млекопитающих.

Как известно, трансаминазы являются сложными ферментами, которые катализируют важнейшую реакцию азотистого обмена. При их посредстве происходит реакция переаминирования, заключающаяся в переносе  $\alpha$ -аминогруппы на  $\alpha$ -кетокислоты без промежуточного образования амиака. Коферментом трансаминаз является фосфорилированное производное пиридоксина  $\alpha$ -фосфорпиридоксаль.

Транспортируя аминогруппы из одних аминокислот в кетокислоты, ферменты аминотрансферазы играют существенную роль в образовании новых аминокислот и тем самым принимают участие в регуляции функции органов путем восстановления синтеза белка, нарушающегося, по всей вероятности, и при интоксикации организма  $\text{CCl}_4$ .

Известно, что одним из действий  $\text{CCl}_4$  является повреждение белоксинтезирующего аппарата клеток печени. Показано, что при этом более повреждается глюконеогеноз, чем гликолиз [20].

Работа выполнена на 50 3—4-месячных безлинейных крысах самцах массой по 120—150 г.  $\text{CCl}_4$  вводили животным перентерально через день в виде 80%-ного масляного раствора, по 0,2 мл на 100 г массы тела.

Животные были разбиты на 6 подгрупп: I через день получили по 1,54 мл/кг  $\text{CCl}_4$ ; II — по 3,08 мл/кг; III — по 4,62 мл/кг; IV — по 6,16 мл/кг; V — по 7,70 мл/кг; VI — по 9,24 мл/кг веса животного.

Действие  $\text{CCl}_4$  на активность АлАТ-азы и АспАТ-азы в крови, печени, селезенке, почках и мозгу исследовали на разных стадиях развития патологии: на 1-, 5-, 10-, 15-, 20- и 30-е сутки от начала введения  $\text{CCl}_4$ .

Активность ферментов изучалась по методу Т. С. Пасхина [7] и выражалась в колориметрических единицах (КЕ). Полученные данные обработаны статистически по Рокицкому [8]. Различия между средними величинами расценивали как статистически достоверные при значении  $P < 0,05$ .

Представленные в табл. 1 и 2 и на рис. 1 и 2 данные демонстрируют, что через день после введения 0,2 мл  $\text{CCl}_4$  активность АспАТ-азы в крови увеличивается на 24,8% от контроля, через 5 дней от начала введения яда, суммарная доза которого была равна соответственно 0,6 мл, наблюдается обратная картина, т. е. активность фермента уменьшается на 13,7%, через 10 дней, наоборот, она возрастает на 86,3%. Уровень этот сохраняется на следующие дни исследования, хотя животные продолжают получать  $\text{CCl}_4$  в установленном порядке. На 15-е сутки общая концентрация гепатотоксического препарата, введенного в организм, составляла 0,8 мл. В следующие дни уровень активности АспАТ-азы падал ниже контрольного уровня на 50%, а на 30-е сутки опыта наблюдалась тенденция возврата к норме. Как это не парадоксально, на 30-й день исследования при насыщении организма  $\text{CCl}_4$  увеличение активности фермента по сравнению с контролем составляло всего 19%.

Как видно рис. 1, увеличение активности фермента на 10-е сутки от начала опыта достигает максимума, тогда как на 25-е сутки наблюдается уменьшение ее до минимального уровня.

Активность АспАТ-азы в головном мозгу во все дни исследования находилась ниже нормы. Так в 1-й день она составляла 76,2%, на 5-й день — 61,7%, на 30-й день — 64,7% от контрольного уровня. Самое минимальное уменьшение ее активности в исследованной ткани соответствует 20 суткам, тогда как самое максимальное уменьшение уровня данного фермента регистрируется на 10-е сутки от начала исследования.

Если в печени в 1 и 5-е дни исследования не наблюдается каких-либо существенных изменений в активности АспАТ-азы, то на 10-й день регистрируется высокодостоверное разрастание ее уровня, а начиная с 15-х суток активность снижается. Эта тенденция сохраняется в дальнейшие дни исследования.

Снижение активности фермента в почках обнаруживается начиная уже с 1-х суток исследования, она остается ниже контрольного уровня во весь период опытов. Максимум снижения уровня АспАТ-азы, составляющийся 35%, наблюдается на 10-й день опытов.

Следует отметить, что если сразу после введения  $\text{CCl}_4$  обнаружи-

Таблица 1  
Динамика изменения активности АсПАТ-азы в крови и различных органах белых крыс, получивших  $CCl_4$  (КЕ в 1 мин на 1 г сырой ткани) ( $M \pm m$ )

Исследованные ткани	Норма	1-й день	5-й день	10-й день	15-й день	20-й день	25-й день	30-й день
% Кровь р	100 $1,17 \pm 0,06$	124,8 $1,46 \pm 0,05$	86,3 $<0,05$	2,18 $\pm 0,06$ $<0,001$	182,9 $<0,001$	82,9 $<0,05$	50,4 $<0,01$	119,6 $1,4 \pm 0,06$ $>0,5$
% Головной мозг р	100 $4,7 \pm 0,3$	76,2 $3,58 \pm 0,18$	61,7 $<0,02$	2,9 $\pm 0,09$ $<0,001$	26,6 $<0,001$	39,1 $<0,001$	85,5 $<0,02$	61,7 $2,9 \pm 0,17$ $<0,001$
% Почки р	100 $6,5 \pm 0,26$	78,5 $5,1 \pm 0,31$	82,8 $<0,05$	5,38 $\pm 0,26$ $<0,001$	60,6 $<0,001$	4,61 $\pm 0,86$ $<0,001$	84,1 $<0,05$	66,1 $5,47 \pm 0,43$ $<0,001$
% Печень р	100 $3,6 \pm 0,15$	112,5 $3,92 \pm 0,27$	108,9 $<0,5$	5,42 $\pm 0,56$ $<0,001$	150,6 $<0,05$	3,48 $\pm 0,94$ $<0,001$	96,7 $>0,5$	83,9 $3,02 \pm 0,53$ $<0,01$
% Селезенка р	100 $1,8 \pm 0,07$	173,9 $3,13 \pm 0,19$	110,6 $<0,001$	1,99 $\pm 0,05$ $>0,5$	63,3 $<0,001$	180,6 $<0,001$	223,9 $3,25 \pm 0,9$ $<0,001$	300,6 $4,03 \pm 0,1$ $<0,001$

Исследование ткани	Норма	1-й день	5-й день	10-й день	15-й день	20-й день	25-й день	30-й день
% Кровь р	100 $3,66 \pm 0,16$	75,2 $2,42 \pm 0,05$	50,6 $<0,02$	1,63 $\pm 0,17$ $<0,001$	179,2 $<0,001$	5,77 $\pm 0,12$ $>0,5$	101,6 $>0,5$	89,1 $3,27 \pm 0,16$ $>0,5$
% Головной мозг р	100 $7,3 \pm 0,41$	133,8 $9,77 \pm 0,1$	141,8 $<0,02$	10,35 $\pm 0,39$ $<0,02$	106,8 $>0,5$	7,8 $\pm 0,41$ $>0,5$	92,9 $<0,001$	58,5 $6,78 \pm 0,99$ $<0,001$
% Почки р	100 $17,5 \pm 0,35$	85,0 $>0,5$	45,1 $<0,001$	79 $\pm 0,37$ $<0,001$	34,8 $<0,001$	12,6 $\pm 0,29$ $<0,001$	73,5 $<0,001$	90,7 $15,87 \pm 0,29$ $>0,5$
% Печень р	100 $11,7 \pm 0,47$	99,2 $11,1 \pm 0,42$	80,9 $<0,02$	9,47 $\pm 0,53$ $<0,001$	73,1 $<0,001$	61,1 $<0,001$	62,1 $7,18 \pm 0,99$ $<0,001$	107,9 $7,88 \pm 0,41$ $>0,5$
% Селезенка р	100 $2,27 \pm 0,08$	189,4 $4,14 \pm 0,25$	234,4 $<0,001$	5,23 $\pm 0,47$ $<0,001$	180,2 $<0,001$	4,09 $\pm 0,14$ $<0,001$	167,4 $<0,001$	82,8 $5,07 \pm 0,88$ $<0,001$

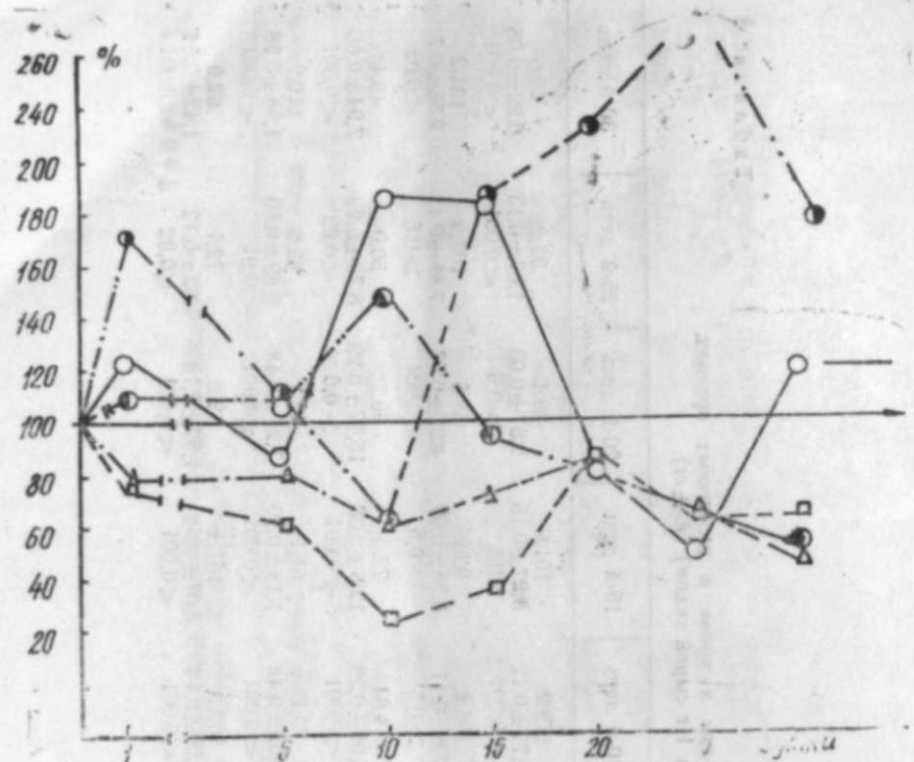


Рис. 1. Динамика изменений активности АспАТ-азы в крови и других тканях белых крыс, получивших  $\text{CCl}_4$ : 1 — кровь; 2 — селезенка; 3 — печень; 4 — почки; 5 — мозг.

вается резкое увеличение уровня АспАТ-азы в селезенке, то через 10 дней ее активность уменьшается, а на 15-й день наоборот, увеличивается и возрастающий уровень сохраняется до конца опытов.

Обобщая данные по АспАТ-азе, можно заключить, что наблюдаемые сдвиги в ее активности носят по направленности аналогичный характер в основном в головном мозгу, почках и относительно в печени, т. е. наблюдается достоверный спад, тогда как в селезенке и в крови, т. е. в кроветворной системе организма начиная с 1-го дня введения регистрируется значительное нарастание. Начиная с 10-го дня интенсивно повышается уровень данного фермента в селезенке. В крови, за исключением 20—25-х суток, когда наблюдается некоторое уменьшение, активность АспАТ-азы в основном остается повышенной.

Аналогичные изменения активности фермента трансаминазной группы глютамино-пировиноградной трансаминазы в печени белых крыс после трехкратного и 15-кратного введения  $\text{CCl}_4$  в дозе 0,15 мл/100 г получены Яхниной [13].

Таким образом, полученные данные по влиянию  $\text{CCl}_4$  на активность изученных нами ферментов трансаминаз демонстрируют, что введенный внутрибрюшинно гепатотропный яд как в острый, так и в хронических условиях опыта приводит к значительным изменениям активности данных ферментов, которые во многом зависит от вводимой дозы.

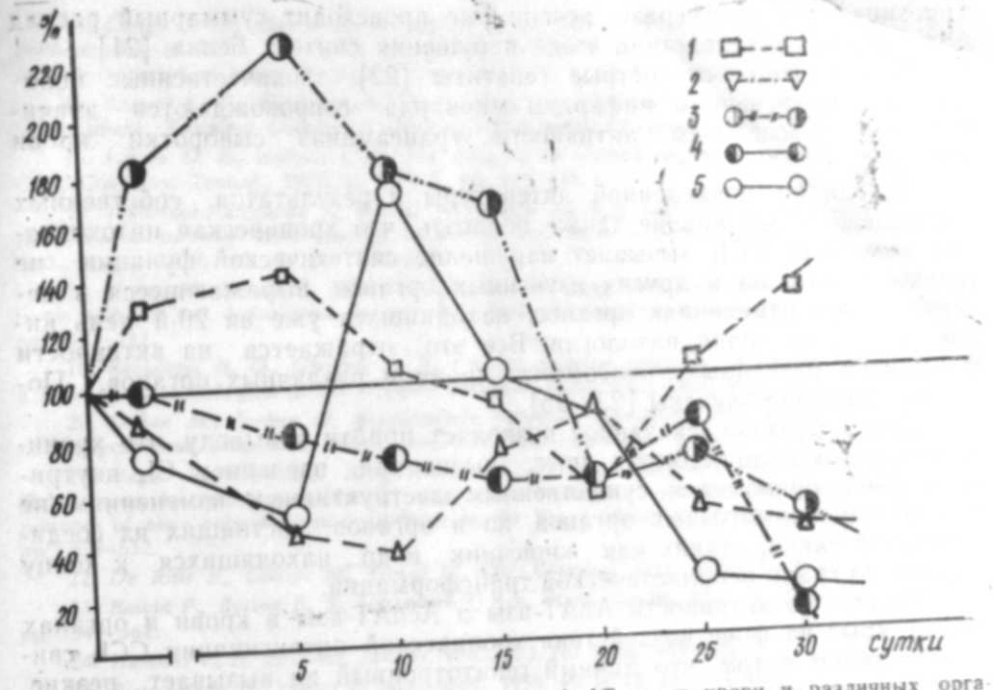


Рис. 2. Динамика изменений активности АлАТ-азы в крови и различных органах белых крыс, получивших  $\text{CCl}_4$ .

По данным [4, 9, 10, 12] парентеральное введение  $\text{CCl}_4$  вызывает белковую и жировую дистрофию гепатоцитов в центральных зонах долей печени. Иными словами, однократное введение яда приводит к гепатозу. Повторные введения вызывают ожирение гепатоцитов, происходит их альтерация, характеризующаяся колликационным и коагуляционным некрозом с выражением перифокальным воспалением, большим количеством лимфоцитов, нейтрофильных и эозинофильных гранулоцитов в клеточном инфильтрате, одним словом развивается гепатит.

В наших опытах эти явления к концу опытного периода наблюдались не только в печени, хотя  $\text{CCl}_4$  считается сильным гепатотропным ядом, но и в кишечнике.

По данным литературы [1, 2, 6], при введении данного яда в организм он расщепляется на свободные радикалы — трихлорметил и хлорин, которые блокируют SH-группы микросомальных ферментов. Метаболиты  $\text{CCl}_4$  ускоряют переокисление липидов в мембранах. Образующиеся при этом пероксиды ненасыщенных жирных кислот вызывают необратимые изменения в клетках печени [4, 9].

Полученные данные А. А. Косых [5] свидетельствуют о значительных нарушениях метаболизма соединительной ткани печени при экспериментально-хроническом гепатите и церрозе печени, об активном биосинтезе всех компонентов межклеточного вещества уже через неделю после начала введения  $\text{CCl}_4$ . Процессы новообразования коллагена преобладают над процессами катаболизма, о чем свидетельствуют избыточные отложения его в печени.

Введение  $\text{CCl}_4$  почти немедленно приводит к повышению уровня

7-гидроксина-микротрансферазы, печени, где происходит суммарный распад полирибосом и вследствие этого нарушения синтеза белка [21].

Установлено, что острые гепатиты [22], злокачественные новообразования печени и инфаркты миокарда сопровождаются значительным повышением активности трансаминаз сыворотки крови [23—25].

Исходя из приведенной литературы и результатов собственных исследований, мы вправе также полагать, что хроническая интоксикация животных  $CCl_4$  вызывает нарушение синтетической функции не только печени, но и других изученных органов, выражющееся в деструктивных изменениях органов, находящихся уже на 20-й день интоксикации на грани патологии. Все это отражается на активности ферментов изученных трансаминаз крови и различных органов. Подобные данные получены [23—25].

Таким образом, сказанное позволяет прийти к выводу, что хроническая интоксикация белых крыс, вызванная введением  $Cl_4$  внутрьбрюшинно, приводит к существенным деструктивным изменениям не только паренхиматозных органов, но и органов, состоящих из соединительной ткани, таких как кишечник и др., находящихся к концу опытов на грани неопластической трансформации.

Данные по активности АлАТ-азы и АспАТ-азы в крови и органах белых крыс на фоне воздействия хронической интоксикации  $CCl_4$  свидетельствуют о том, что данный гепатотропный яд вызывает резкие, необратимые изменения.

#### Литература

1. Арчаков А. И., Карузина И. И. Молекулярные механизмы взаимодействия четыреххлористого углерода с мембранными эндоплазматического ретикулума печени. — Рига, 1973, вып. 4.
2. Блюгер А. Ф., Майоре А. Я. Молекулярно-биологический этап изучения патологии. — Рига, 1973, вып. 4.
3. Гаркови П. Г. Некоторые вопросы механизма токсического действия четыреххлористого углерода и его гомологов. — Фармакол. и эксперимент. 1965, т. 29, № 1.
4. Калашникова М. М., Рубецкой Л. С. Электронно-микроскопическое исследование обратимости склеротических изменений печени. — Арх. патологии, 1974, № 3.
5. Косых А. А. Нарушение обмена коллагеновых белков и белков полисахаридных компонентов при развитии экспериментального гепатита и цирроза печени. В кн.: Экспериментальная патология печени. — Рига, Зиннате, 1983.
6. Кудрин А. И., Левшин Б. И., Мехтиев М. А. Фармакотерапия препаратами селена экспериментального гепатита. — Баку: Элм, 1982.
7. Пасхина Т. С. Методические письма, вып. III. — М., 1959.
8. Рокицкий Ф. П. Биологическая статистика. — Минск: Высшая школа, 1967.
9. Саркисов Д. С., Рубецкой Л. С. Пути восстановления цирротически измененной печени. — М., 1956.
10. Серов В. В. Соединительная ткань (функциональная морфология и общая патология). — М., 1982.
11. Шиманко И. И., Лужников Е. А., Зимина Л. Н. Печеночная недостаточность при острых отравлениях. Острые отравления. Диагностика, клиника и лечение. — М., 1970.
12. Физиология и экспериментальная патология печени. — Будапешт, 1961.
13. Яхнина Д. Н. Активность глутамино-пировиноградной трансаминазы в печени крыс при отравлении четыреххлористым углеродом. Вопросы организации ферментативных процессов в тканях. Сб. трудов кафедры биохимии Таджик. ин-та. — Душанбе, 1962, т. 52.
14. Castzo J. A., Cignoli B. V., Castro C. R., Fenos O. H., Saseme H., Gillette J. R. Prevention of  $CCl_4$ -induced necrosis by inhibitors of drug metabolism: further studies of their mechanism of action. Biochem. Pharmacol., 1974, v. 23, N 2, p. 295-302.
15. Raquel K. Z., Kampnausen. The carbon tetrachloride hepatotoxicity as a model of liver damage. Longtime biochemical change. Acta hepato-gastroenter., 1975, v. 22, N 2, 84-88.
16. Lauria D. B., Bodgen J. D. The dangers from limited exposure to carbon tetrachloride CRC. Crit. Rev. Toxicol., 1980, v. 7, N 2, pp. 177-188.
17. Jablonska-Kaszewska J., Gorski M. Zelarz surowicy krwi, a ktywnosc aminotransferasi sklad bialek surowicy krwi waznym doswadczalnym zatruciu czteochlorkiem meglu. Pol. arch. med. wew., 1970, 45, 4, pp. 531-539.
18. Vorne M., Arvela P. Effect of  $SSl_4$  induced progressive liver damage on drug metabolizing enzymes and cyclockronic in rat liver. Acta pharmacol et toxicol., 1971, v. 29, N 5-6, pp. 417-427.
19. Recknagel R. O., Gbosbol A. K. On the chemical reactivity of carbon tetrachloride as a basis of its toxicological action. Progres. Biochem. Pharmacol., 1967, v. 3, part 2, p. 450-461.
20. Serban M., Serban N. Relationships between glycolysis and gluconeogenesis during  $CCl_4$  experimental acute liver intoxication. Rev. roum. biochem., 1973, v. 10, N 1, p. 69-79.
21. Magu Raymond D., King Stefan W., Phillips Mary W., Carlane Matthe W. F. Enhancement by carbon tetrachloride treatment of hepatic tyrosine aminotransferase in the presence of net polyribosome breakdown in the Eta - Biochem., Pharmacol., 1972, 21, N 4, pp. 525-532.
22. De Ritis F., Coltorti M., Grusti G. Clin. Chemical Acta, 1959, N 4, p. 213-217.
23. Boivin P., Besson R. S., Hartmann J. Rev. Frans. Etudes, Clin. et Biol., 1959, 4, No 4, pp. 349-362.
24. Hammer C. H. Biochem. Zeitscr., 1961, 333, No 9, pp. 489-498.
25. Pietschmann H., Vienez Z. Inner Med., 1959, 40, N 12, pp. 455-460.

Т. В. Элијев, Г. И. Энмэдов, Т. Д. Гајбов, Р. Ј. Элијева, С. Б. Миријева,  
Е. А. Рајева, Г. Н. Гурбанов

#### ДӨРДХЛОРЛУ КАРБОНУН АГ СИЧОВУЛЛАРЫН БӘЗИ ОРГАН ВӘ ТОХУМЛАРЫНДА АЛАНИН ВӘ АСПАРТАМИНОТРАНСФЕРАЗНЫН ФӘАЛЛЫГЫНА ТӘ'СИРИ

Мәгәләдә хроники тәчүбә шәрәнтиңдә дөрдхлорлу карбонун 85%-ли яғлы мәһнүлүүнүн аг сичовулларын гарын бошлугуна јерицилмәси јолу ила заңарламаси фонунда трансаминаза ферментләринин фәаллыйнын тадиг олумасындан бәс олунур.

Сүбүт едилишидир ки, гарачијәр учүн заңар саýлан  $CCl_4$  Алатаза вә АспАТ-аза ферментләринин фәаллыйында кәсқин, бәзин кери деңишилликләр терәтмәкә барабар, тәчүбәларин сонуна яхын орган вә тохумаларын бәдхассали шиша чөврилмак месдилүүнин артырыр.

УДК 576.858.75.093.35.06

Т. А. АСАДУЛЛАЕВ, З. А. ЛАЗЫМОВА, И. И. АБДУЛЛАЕВ

АНТИВИРУСНАЯ АКТИВНОСТЬ СЕЛЕНИТА НАТРИЯ  
ПРИ ЭКСПЕРИМЕНТАЛЬНОЙ ГРИППОЗНОЙ ИНФЕКЦИИ  
(сообщение 2)

Азерб. ОТКЗ НИИ вирусологии, микробиологии и гигиены

В статье излагаются результаты излучения биологического действия селенита натрия на инфекцию, вызванную вирусом гриппа типа А штамм WSN (H0N1) в куриных эмбрионах и в организме мышей.

В опытах с куриными эмбрионами селенит натрия ингибировал гемагглютинирующую и инфекционную активность вируса. Ингибирующий эффект проявлялся при введении препарата в ранние сроки инфекции. В экспериментах на мышах слепен обеспечивал защитный эффект равный 20–25%.

С каждым годом число работ, посвященных изучению биологического действия селена и его соединений, увеличивается. В литературе имеются данные о влиянии сelenосодержащих соединений на процессы генетического аппарата в норме и при злокачественных новообразованиях [1, 2, 4, 10].

О блокировании сelenоцистамином активности вирусной РНК-полимеразы [7, 8] и урожая инфекционного потомства вирусов гриппа A<sub>1</sub>, A<sub>2</sub> и B(6), а также об ингибировании селенитом натрия репродукции некоторых РНК-содержащих онкогенных вирусов [5] сообщалось в ряде работ.

Ранее нами было показано подавление селенитом натрия гемагглютинирующей активности вируса гриппа в зараженных клетках фибробластов куриных эмбрионов [3].

В настоящем сообщении представлены данные о биологическом действии селенита натрия на репродукцию вируса гриппа в развивающихся куриных эмбрионах и в организме лабораторных мышей.

В работе использован аллантоисный вирус гриппа типа А штамм WSN (H0N1) с инфекционным титром 6,5 Ig ЭИД<sub>50</sub> и титром гемагглютининов 1280 ГАЕ/мл. Вирус пассировали на 9–10-дневных куриных эмбрионах. Для этого в аллантоисную полость вводили по 0,2 мл вируса, эмбрионы инкубировали при 37°C в течение 48 часов. Инфекционный титр вируса определяли титрованием аллантоисной жидкости методом Рида и Менча [9]. Гемагглютинирующую активность вируса определяли в реакции гемагглютинации с 1%ными куриными эритроцитами.

Для заражения животных использовали вирус, адаптированный к легким мышей. Животных заражали интраназально 10%-ной легочной супензией в объеме 0,05 мл под легким эфирным наркозом в разведении, обеспечивающем 70–80% гибели животных.

Антивирусную активность селенита натрия изучали на белых мышах массой 10–12 г. Животные были разбиты на контрольную и

опытную группы было по 20 мышей. Наблюдение проводили в течение 15 дней после заражения. Об эффективности препарата судили по разнице в средней продолжительности жизни животных опытной и контрольной групп.

В опытах с куриными эмбрионами селенит натрия вводили в аллантоисную полость в концентрациях 250, 125 и 50 мкг/эмб. Эмбрионы вскрывали, собирали аллантоисную жидкость и определяли гемагглютинирующую и инфекционную активность вируса. Схема введения препарата в куриные эмбрионы: 1 — за 24 часа по инфицированию; 2 — за 24 часа до инфицирования и в момент заражения; 3 — за 1 час до инфицирования и одновременно с вирусом; 4 — одновременно с вирусом.

В экспериментах на животных селенит натрия добавляли в питьевую воду в дозе 20 мг/л. Лечение животных начинали за 7 дней до инфицирования и продолжали в течение 15 дней.

Прежде чем приступить к изучению антигриппозной активности селена, изучено эмбриотоксическое действие препарата в отношении куриных эмбрионов. Установлено, что введение селена в аллантоисную полость эмбрионов в концентрации 1 мг/эмб. приводит к 50%-ной гибели эмбрионов. Причем гибель эмбрионов обнаруживается после 24-часовой инкубации при 37°C. За максимальную переносимую концентрацию селенита натрия принимали 250 мкг/эмб., т. е.  $\frac{1}{4}$  LD<sub>50</sub>. Антивирусную активность препарата изучали в концентрации, соответствующей максимально переносимой и ниже.

В табл. 1 и 2 представлены результаты изучения влияния различных концентраций сelenопрепарата на размножение вируса гриппа в зависимости от инфицирующей дозы вируса.

Как следует из табл. 1, концентрация селенита натрия 250 мкг/эмб. при инфицирующей дозе вируса 1 и 10 ЭИД приводит к полному подавлению ГА-активности в случае одновременного введения с вирусом. Инфекционность вируса в этом случае снижается на 2,5 Ig. Аналогичная картина наблюдается при исследовании концентраций препарата равных 125 и 50 мкг/эмб. Инфекционный титр вируса при 1,10 и 100 ЭИД под влиянием селена снижается на 2,0 и 1,5 Ig соответственно.

В данном случае полная нейтрализация ГА-активности вируса происходит лишь при 1 и 10 ЭИД. При увеличении заражающей дозы до 100 ЭИД титр гемагглютининов составляет 1:64 и 1:128 для концентраций 125 и 50 мкг/эмб. соответственно.

При заражении эмбрионов дозами вируса — 1000 и 10000 ЭИД существенных различий в гемагглютинирующей и инфекционной активности вируса между контролем и опытом выявить не удается.

Зависимость антивирусной активности сelenосоединения от инфицирующей дозы вируса более наглядно представлена в табл. 2. Из таблицы видно, что введение селена в аллантоисную полость в концентрации 50 мкг/эмб. при 1000 ЭИД и одновременном введении препарата с вирусом сокращает количество инфицированных эмбрионов в 50 и 60 раз. Заражение эмбрионов большой дозой вируса (100 ЭИД) снижает количество зараженных эмбрионов лишь в 4,3 раза.

После выявления антивирусной активности у селенита натрия

Таблица 1

Влияние различных концентраций селенита натрия на титр гемагглютининов и инфекционность в куриных эмбрионах, зараженных вирусом группы типа А

Конц. препарата, мг/эмб.	Инфекцион. титр вируса, в ЭИД, заражен. 10 ЭИД	Титр ГА при введении в эмбрионы вируса в дозе (ЭИД)		
		1	10	100
Контроль	7,0	1 : 1024	1 : 1024	1 : 1024
0,250	4,5	0	0	0
0,125	5,0	0	0	1 : 64
0,05	5,5	0	0	1 : 128

Таблица 2

Зависимость антивирусной активности селенита натрия от инфицирующей дозы вируса

Показатели	Колич. ЭИД, введенного в эмбрионы		
	1	10	100
% зараженных эмбрионов: в присутствии селенита натрия в дозе 50 мкг/эмб. (опыт)	—	—	20
в присутствии физиологического раствора (контроль)	50	60	85

представляло интерес выявить временный период в репродукции вируса, чувствительный к препарату (табл. 3).

Таблица 3

Влияние схемы введения селенита натрия в куриные эмбрионы на репродукцию вируса

Схема	Инфекционный титр, Ig ЭИД <sub>50</sub>
Контроль	65±0,4
За 2 ч до инфицирования	5,9±0,32
За 24 ч до инфицирования +	
За 1 ч до заражения и + одновременно с вирусом	5,0±0,2
Одновременно с вирусом	5,0±0,12
Через 1 ч после заражения	6,1±0,3

Примечание: инфицирующая доза вируса составляет 10 ЭИД, концентрация селенита натрия — 50 мкг/эмб.

Результаты экспериментов позволили установить, что введение селеносоединения (концентрация 50 мкг/эмб) по профилактической (за 2 часа до инфицирования) и лечебной (через 1 час после инфицирования) схемам при использовании 10 ЭИД не приводит к подавлению репродукции вируса. Наибольшая активность препарата наблю-

дается при введении его по смешанной схеме, включающей двухкратное введение (за 24 часа и 1 час до инфицирования и одновременно с вирусом) и однократное введение одновременно с вирусом. В обоих случаях инфекционность вируса снижается на 1,5 Ig. Эти результаты наводят на мысль, что селенит натрия ингибирует ранние вирусспецифические синтезы.

Исходя из того, что куриные эмбрионы, по оценке противовирусной активности химических веществ, ближе к опытам на животных, однако не являются моделью *in vivo*, было целесообразно определить активность селенита натрия при экспериментальной гриппозной инфекции мышей. Результаты опытов показали, что добавление препарата в питьевую воду мышей в концентрации 20 мг/л за неделю до инфицирования и в течение всего периода наблюдения обеспечивало защитный эффект, составляющий 20—25%. Гибель животных в контрольной группе отмечалась на 4-й день после инфицирования и завершалась к 9-му дню. Средняя продолжительность жизни животных этой группы составляла 8,3 дня. Однако гибель в группе животных, получавших селенит натрия, начиналась с 8-го дня после инфицирования, средняя продолжительность жизни составляла 14 дней.

Таким образом, получены сведения, согласно которым селенит натрия в концентрациях от 50 до 250 мкг/эмб подавляет репродукцию вируса гриппа А в куриных эмбрионах и обеспечивает защитный эффект при экспериментальной гриппозной инфекции, составляющий 20—25%.

Дальнейшее продолжение работ будет в плане выявления механизма ингибирующего эффекта селенита натрия.

#### Литература

1. Абдуллаев Г. Б., Мехтиев М. А., Рагимов Р. Н. и др. В кн.: Селен и биология. Материалы 2-ой научной конференции. — Баку, 27—29 мая 1975.
2. Абдуллаев Г. Б., Абдуллаев Ф. И. — Биохимия, 1980, т. 45, вып. I.
3. Ахундов В. Ю., Абдуллаев Т. А., Абдуллаев Ф. И. и др. — ДАН Азерб. ССР, 1984, № 5.
4. Ермаков В. В., Ковалский В. В. — В кн.: Биологическое значение селена. — М., 1974.
5. Balansky R. M., Argirova R. M. — Experimentia, v. 37, 11, p. 1194—1195, 1981.
6. Mansoor H., Nada L. — J. Med. Virol., v. 6, 2, p. 169—174, 1980.
7. Oxford G. S. — J. Gen. Virol., v. 18, 1, p. 11—19, 1973.
8. Oxford G. S. — Chemotherapy, v. 6, p. 203—208, 1976.
9. Reed L. J., Muench H. — Amer. J. Hyg., v. 27, p. 493—497, 1938.
10. Schrader G. N., Israel D. — Ann. clin. Lab. Sci., v. 2, p. 441—445, 1974.

Т. А. Эседуллаев, З. А. Лазымова, Н. И. Абдуллаев

#### НАТРИУМ СЕЛЕНИТИН ЕКСПЕРИМЕНТАЛ ГРИП ИНФЕКСИЯСЫНА ТЭСИРИ (2-чи маңумат)

Мәгәләдә натриум селенитини инсанларда грип хәсталиғи амәлдә көтиән вируса тәсиринин өјөрнілмәсі нәтижәләре экс етдирилмишdir. Тәчрүбеләр тојут рушејмләре вә сичанлар үзәрінде апарылыштырып. Тојут рушејмләрінде апарылан тәчрүбеләре асасан селен грип вирусунан ертроситләрі немагләйттисеңде етмәк габилиттесін вә жолухду-селен грип вирусунан ашагы салыр. Натриум селенитин антивирус хассаси хәсталиғин илк мәр-ручу хассасләрінде ашагы салыр. Сичанлар үзәрінде апарылан тәчрүбеләре көре селен наәләләрінде мұшанида олунур. Сичанлар үзәрінде апарылан тәчрүбеләре көре селен наәвнларын гриплә жолухмасыны контрола нисбәтән 20—25% ашагы салыр.

МУНДАРИЧАТ

Э. Э. Марданов, Н. Б. Вазирова. Азотла гидаланма шәрәнтиндән асылы олараг балгабаг биткисинде калиум ва кальциум пајланмасы	3
А. И. Майлар, В. В. Атамов, З. А. Гафарова, С. Я. Маммадов. Гобустаны шијавлыг фитосенозунун узви күтләснини, азотунун, күт елементларинин кичик биологи дөврәнди вә јерусту күтләдә енержинин мигдары	9
А. Д. Багырова, Е. А. Аршава. Кумарин глукозид сеселозидин чобаничәй биткисинин пресинтетик фазасынын мухталиф дөврәларина тә'сири	15
И. Ш. Искандаров, В. Э. Маммадов. Бејүк Гафазын шимал-шаргында яјылмыш гәһвәи даг-меша вә даг-шабалыды торпагларын ирибојду түссаларинин минераложи тәркиби	19
С. И. Нусейнов. Фототермик шәрәнтиләрниң с-гаралакалы совканын инкишашына тә'сири	23
А. И. Ханмамедов, Ф. А. Сафарова. Аг вә тара лејләин Азәрбайҹанда биолокијасына даир материаллар	28
С. И. Ибадова. Абшеронда алма уилу ястычасы ( <i>Phenacoccus mespili</i> Sign.) ва онун ентомофаглары	32
Г. С. Аббасов, М. М. Сеид-Рзаев, Х. М. Эскерова. Мингечавир ва Варвара су анбарларында вәтәкә әһәмијәттө олан көрпә балыгларын несаба аlyнымыс вә яјылмасы	37
Т. Р. Элијев, Ф. Р. Ганиев. Азәрбайҹанда чәл күрзәнини ( <i>Vipera ursini</i> Bonaparte 1853) яјылмасы ва морфо-екология хүсусијәтләри	44
М. О. Элијев. Мухталиф плойди тут биткисинин репродуктив ва вегетатив органларынын дајишилмәсина кимҗәви маддаларин тә'сири	51
Ш. К. Тагиев, А. А. Исмаилов. Харичи мүнитин гејри-специфик тә'сири заманы гыгырдаглы балыглarda гоху соганагын вә арха бејнин электрофизиологи тәдгиги	59
Р. Э. Садыхзадә, Р. А. Баబаев, К. Ш. Эһмәдова, Т. А. Гулијев, М. И. Чаббаров. Организмә бәзи физиологи фәзәл маддалар јеридилдикә интакт вә шүаланымыш һејванларын ган зәрдәбы зүлләларынын иммуно-электрофоретик көстәричиләри	67
М. Ф. Йұмбетов. Күр өзекиси, Аг амур вә Алабәзәк галыналын төрәдичиләринин нипофизар инъексија вә јетишмәләри учүн оптималь температур шәрәнтинин мүәјжәнлашдирilmасы	70
Л. М. Калинина, Р. А. Арабаев, Г. Л. Свистунова, К. М. Искандарова. — Токоферолун вә редуксијалашмыш плаутатионун антимутакен тә'сиринин мүгајисасы	75
М. Ч. Саплов. Тут инәкгурду тыртылымнын тохумлугларында аlyнан галәви ДНК-аза ферментинин аlyнымыссы, тәмизләнмәси вә электрофоретик анализи	81
И. М. Исмаилов. 2-метилнафталин маддәснини <i>Candida guilliermondii</i> көбәләји тарафиндән трансформация олуимасына мухталиф амилләри тә'сири	88
Ф. И. Кәrimov. Хәзәр дәнисинин азотмәнисәйән микроорганизмләrinин нефт вә нефт мәңсулларынын оксидләшdirmeasi	94
В. Я. Ахундов, К. Ф. Ахундов, Т. В. Грекалова, А. А. Исмаилов, М. Я. Эсадов, Т. А. Голубева. Абшерон јарымадасында шоран торпагларын Бакы шәһәри чиркаб сулары васитасыла јуулмасынын эффективилији вә торпагын сүзәк суји чиркләнмә дәрәҗәснин экспериментал тәдгиги	101
Т. В. Элијев, Г. И. Эһмадов, Т. Д. Гайбов, Р. Ю. Элијева, С. Б. Миријева, Е. А. Рзајева, Г. Н. Гурбанов. Дерххlorлу карбонун аг си-човулларын бәзи орган вә тохумларында аlyнан вә аспартатаминонтрansferezazынын фәаллышына тә'сири	107
Т. А. Эседуллајев, З. А. Лазымова, Ы. И. Абдуллајев. Натрий селенитин экспериментал грип инфексијасына тә'сири (2-чи мә'лumat)	115

СОДЕРЖАНИЕ

А. А. Марданов, Н. Б. Везирова. Распределение калия и кальция в растениях тыквы в зависимости от условий азотного питания	3
А. И. Майлар, В. В. Атамов, З. А. Гафарова, С. Я. Маммадов. Малый биологический круговорот органической массы, азота, зольных элементов и количество энергии в подземной массе копыльных фитоценозов Кобыстыана	9
А. З. Багирова, Е. А. Аршава. Влияние кумаринового глюкозида сеселозида на различные периоды пре-интитической казы <i>Grifis capillaris</i> L.	15
И. Ш. Искандаров, В. А. Мамедов. Минералогический состав крупнодисперской фракции коричневых горно-лесных и горно-каштановых почв северо-восточной части Большого Кавказа	19
С. И. Нусейнов. Влияние фототермических условий на развитие совки С-черное	23
А. И. Ханмамедов, Ф. А. Сафарова. Материалы по биологии белого и черного аистов в Азербайджане	28
С. И. Ибадова. Яблоневый мужчистый червец <i>Phenacoccus mespili</i> Sign. и его энтомофаги на Апшероне	32
Г. С. Аббасов, М. М. Сеид-Рзаев, Х. М. Эскерова. Учет и распределение молоди промысловых рыб в Мингечавурском и Варваринском водохранилищах	37
Т. Р. Алиев, Ф. Р. Ганиев. Распространение и экологоморфологические особенности степной гадюки — <i>Vipera ursini</i> Bonaparte, 1835 в Азербайджане	44
М. О. Алиев. Действие химических веществ на изменчивость репродуктивных и вегетативных органов разнопloidной шелковицы	51
Ш. К. Тагиев, А. А. Исмаилов. Электрофизиологические исследования функции обонятельной луковицы и конечного мозга хрящевых ганондов в условиях действия неспецифических факторов среди	59
Р. А. Садыхзаде, Р. А. Бабаев, Г. Ш. Ахмедова, Т. А. Кулев, М. И. Джабаров. Иммунозлектрофоретические показатели белков сыворотки крови при введении в организм некоторых физиологических активных веществ у интактных и облученных животных	67
М. Ф. Гумбатов. Выявление оптимальных температурных условий для гипофизарных инъекций и созревания производителей белого амура, пестрого толстолобика и куришского сазана	70
Л. М. Калинина, Р. А. Арабаев, Г. Л. Свистунова, И. М. Искандерова. Сравнительная оценка антимутагенного действия α-токоферола и глутатиона восстановленного	75
М. Д. Саплов. Шелочная ДНК-аза семенников гусениц тутового шелкопряда. I. Выделение. Очистка и электрофоретический анализ фермента	81
Н. М. Исмаилов. Влияние условий культивирования на накопление продуктов трансформации 2-метилнафталина у <i>Candida Cilliiermondii</i>	88
Ф. И. Кәrimov. Окисление нефти и нефтепродуктов азотфиксирующими микроорганизмами Қаспия	94
В. Ю. Ахундов, К. Ф. Ахундов, Т. В. Грекалова, А. А. Исмаилов, М. Я. Асадов, Т. А. Голубева. Экспериментальное изучение эффективности промывки засоленных земель Апшеронского полуострова сточной водой г. Баку и степени загрязненности почвы и фильтратов	101
Т. В. Алиев, Г. И. Ахмедов, Т. Д. Гайбов, Р. Ю. Алиева, С. Б. Мириева, Э. А. Рзаева, Н. Г. Гурбанов. Влияние четыреххлористого углерода на активность аланин и аспартатаминонтрansferezazы в различных тканях и органах белых крыс	107
Т. А. Асадуллаев, З. А. Лазымова, И. И. Абдуллаев. Антивирусная активность селенита натрия при экспериментальной гриппозной инфекции (сообщение 2)	115